La topologie algébrique $\mbox{UJF Grenoble - Hiver } 2010/2011$

Manuscrit Personnel

Stilianos Louca

$11~{\rm janvier}~2011$

Table des matières

Table des matieres							
1	Pré			5			
	1.1	Qu'est	-ce ce?	5			
2	Le	groupe	fondamental	5			
	2.1	Rappe	ls de topologie	5			
		2.1.1	Definition: Espace connexe	5			
		2.1.2	Definition: Chemin	5			
		2.1.3	Definition: Espace connexe par arcs	5			
	2.2	Homot	topies & Contractions	5			
		2.2.1	Definition: Homotopie	5			
		2.2.2	Caractérisation des nul-homotopies sur S^n	6			
		2.2.3	Definition: Chemins strictement homotopes	7			
		2.2.4	Definition: Chemin contractile	7			
		2.2.5	Lemme : Caractérisation de contractilité	7			
		2.2.6	Definition: Espace simplement connexe	8			
		2.2.7	Definition: Espace contractile	8			
		2.2.8	Caractérisation des espaces contractiles	8			
		2.2.9	Lemme : Connexité des espaces contractiles	9			
		2.2.10	Definition: Equivalence d'homotopie	9			
		2.2.11	Definition: Rétracte	9			
	2.3	Le gro	upe fondamental	10			
		2.3.1	Definition: Chemin inverse	10			
		2.3.2	Definition: Composition de chemins	10			
		2.3.3	Definition: Le groupe fondamental	11			
		2.3.4	Théorème : Invariance du groupe fondamental	11			
		2.3.5	Lemme : Groupes fondamentaux triviales	12			
		2.3.6	Lemme : Homomorphismes entre groupes fondamentaux	12			
		2.3.7	Lemme: Homotopies et groupes fondamentaux	13			
		2.3.8	Théorème : Groupes fondamentaux des espaces homotopiquement équivalents	13			
		2.3.9		13			
	2.4	Le gro		14			
		2.4.1		14			
		2.4.2	Théorème : Relèvement d'une homotopie dans S^1	14			
		2.4.3	Definition: Degré	15			
		2.4.4	Lemme : Le degré comme un morphisme	15			
		2.4.5	Lemme : Le degré sur le groupe fondamental de S^1	16			
		2.4.6	Corollaire : Le groupe fondamental de S^1	16			
		2.4.7	Lemme : Le groupe fondamental de S^2	17			
		2.4.8	Lemme : Le groupe fondamental de S^2 avec deux trous $\ldots \ldots \ldots \ldots \ldots$	17			
		2.4.0	Cavallaine . Théanàna du point fue de Prouven				

3	\mathbf{Rev}	rêteme	
	3.1	Revête	ements et relèvements
		3.1.1	Definition: Revêtement
		3.1.2	Definition: Revêtements équivalents
		3.1.3	Lemme sur revêtements et rétractes
		3.1.4	Lemme: Topologie des espaces étales
		3.1.5	Definition: Relèvement des applications
		3.1.6	Lemme : Unicité des relèvements des applications
		3.1.7	Théorème : Relèvements des chemins
		3.1.8	Corollaire sur la cardinalité des fibres
		3.1.9	Definition: Fibration
			Lemme sur trivialisants et homotopies
			Théorème : Relèvement des homotopies
			Corollaire: Relèvements des homotopies de chemins
	3.2		du groupe fondamental sur le fibre
	3.2		
		3.2.1	Théorème : Revêtements comme homomorphismes injectifs
		3.2.2	Definition: Action de monodromie du groupe fondamental sur fibres
		3.2.3	Lemme : Propriétés de la monodromie
		3.2.4	Corollaire sur la cardinalité des fibres
		3.2.5	Lemme: Classes de conjugaison dans le groupe fondamental
	3.3		norphismes de revêtements
		3.3.1	Théorème de relèvements principal
		3.3.2	Definition: Groupe des automorphismes d'un revêtement
		3.3.3	Lemme sur automorphismes des revêtements
		3.3.4	Lemme : Commutativité des automorphismes avec la monodromie
		3.3.5	Lemme : Unicité des automorphismes d'un revêtement
		3.3.6	Théorème : Existence d'automorphismes de revêtements
		3.3.7	Lemme : Classes d'équivalence de revêtements
		3.3.8	Théorème : Automorphismes comme permutations des fibres
		3.3.9	Théorème : Structure du groupe des automorphismes
	3.4		ements galoisiens
		3.4.1	Definition: Revêtement galoisien
		3.4.2	Théorème : Caractérisation de revêtements galoisiens
		3.4.3	Corollaire: Structure des revêtements galoisiens
		3.4.4	Corollaire sur fibres de cardinal 2
		3.4.5	Lemme : Actions de groupes proprement discontinues
		3.4.6	Lemme: Discontinuité propre des automorphismes
		3.4.0 $3.4.7$	
			Théorème : Représentation de l'espace base
	0.5	3.4.8	Definition: Action du groupe fondamental sur l'espace total
	3.5		orème de van Kampen
		3.5.1	Definition: Produit libre de deux groupes
		3.5.2	Représentation du produit libre
		3.5.3	Definition: Pushout de morphismes
		3.5.4	Definition: Produit libre amalgamé
		3.5.5	Lemme: Représentation du produit libre amalgamé
		3.5.6	Théorème de Van Kampen
	3.6	Revête	ements universels
		3.6.1	Definition: Revêtement universel
		3.6.2	Théorème : Caractérisation des revêtements simplement connexes
		3.6.3	Théorème : Universalité du revêtement universel
		3.6.4	Lemme : Unicité du revêtement universel
		3.6.5	Lemme sur revêtements universels et chemins
		3.6.6	Definition: Relativement simplement connexe
		3.6.7	Théorème : Existence des revêtements universelles
	3.7		ions
	0.1	3.7.1	Équivalence d'homotopie de fibres
		3.7.2	Théorème: Propriété principale de fibrations

		3.7.3	Definition: Fibré localement triviale
	3.8	Exemp	$_{ m bles}$
		3.8.1	L'espace projectif réel
		3.8.2	Les revêtements de S^1
		3.8.3	Fonctions de degré $2 \operatorname{sur} S^1 \dots \dots$
		3.8.4	Le lemniscate de Bernoulli
		3.8.5	Exemple: Groupe fondamental du tore avec un trou
		3.8.6	Théorème de la boule chevelue
4	La	cohome	ologie de de Rham 51
	4.1	Compl	lexes de cochaînes
		4.1.1	Definition : Complexe de cochaînes
		4.1.2	Definition: Suite exacte
		4.1.3	Formule de sommation des dimensions pour suites exactes
		4.1.4	Lemme des cinq
		4.1.5	Definition: Application de cochaînes
		4.1.6	Definition: Suite exacte d'applications de cochaînes
		4.1.7	Théorème : Prolongation de suites exactes d'applications de cochaînes
		4.1.8	Produit directe de complexes de cochaînes
	4.2		s différentielles sur variétés
	4.2	4.2.1	Definition: k-forme
		4.2.1	Definition: Dérivée extérieure
		4.2.2	Definition: k-forme pullback
		4.2.3	Definition: Variété orientable
	4.9		
	4.3		nomologie de de Rham
		4.3.1	Definition: La cohomologie de de Rham
		4.3.2	Definition: La cohomologie à support compact
		4.3.3	Lemme de Poincaré
		4.3.4	Definition: Groupe abélianisé
		4.3.5	Théorème : La cohomologie de de Rham et le groupe fondamentale
		4.3.6	Corollaire sur variétés simplement connexes
	4.4		ance de la cohomologie de de Rham
		4.4.1	Definition: Variétés homotopiquement équivalentes
		4.4.2	Théorème : Invariance topologique de la cohomologie de de Rham
		4.4.3	Lemme : Applications de cohomologies de de Rham
		4.4.4	Lemme de Poincaré sur homotopies et la cohomologie de de Rham 60
		4.4.5	Corollaire : Invariance homotopique de la cohomologie de de Rham
	4.5	Le thé	orème de Mayer-Vietoris
		4.5.1	Théorème de Mayer-Vietoris
		4.5.2	Théorème de Mayer-Vietoris sur formes de support compact 61
		4.5.3	Definition: Bon recouvrement
		4.5.4	Théorème : Recouvrement bon de variétés
		4.5.5	Théorème : Dimension finie de la cohomologie de de Rham 61
	4.6	Cas sp	péciaux de cohomologies de de Rham
		4.6.1	Lemme: Intégration de formes exactes
		4.6.2	Lemme : Cohomologies de compositions de variétés
		4.6.3	Théorème : L'espace $H^n_{\mathrm{dR}}(M)$ pour variétés non-compactes $\ldots \ldots \ldots$
		4.6.4	Théorème : L'espace $H_c^n(M)$
		4.6.5	Théorème : Dualité de Poincaré
		4.6.6	Corollaire de la dualité de Poincaré
		4.6.7	Corollaire sur variétés contractiles
		4.6.8	Théorème de Künneth : Produit de variétés
		4.6.9	Definition: Degré d'une application
		4.6.10	Théorème sur le degré des applications
	4.7		actéristique d'Euler
	2.1	4.7.1	Definition: Nombre de Betti et la caractéristique d'Euler
		4.7.2	La caractéristique d'Euler pour variétés composés
		4.7.2 $4.7.3$	Théorème sur CW-complexes
		1.1.0	<u> </u>

		4.7.4	Théorème de Poincaré-Hopf	66
	4.8	Exemp	oles	66
		4.8.1	Exemple : Les groupes de cohomologie de S^n	66
		4.8.2	Exemple : La cohomologie de $S^2 \times S^2$	
		4.8.3	Exemple: La cohomologie du tore T^2	
		4.8.4	Exemple : La cohomologie de $\mathbb{R}P^2$ et $\mathbb{R}P^3$	
		4.8.5	Definition: L'espace projective complexe	
		4.8.6	Exemple : La cohomologie de $\mathbb{C}P^2$	
		4.8.7	Corollaire : Homéomorphie de la boule S^4	
A	Anı	iexe		72
		A.0.8	Lemme de Lebesgue sur espaces compactes	72
			Lemme : Fonctions sur S^1	
			Lemme sur la continuité de fonctions	
			Lemme sur recouvrements des espaces produits	
			Definition: Topologie quotient	
			Lemme : Caractérisation de bases des topologies	
			Lemme : Caractérisation de groupes quotients	
Ъ	C	1 1		 4
	Syn		& Abréviations	74

1 Préface

1.1 Qu'est-ce ce?

Le suivent est un manuscrit personnel du cours de la topologie algébrique, offert par Prof. V. Sergiescu à l'UJF l'année 2010/2011.

2 Le groupe fondamental

2.1 Rappels de topologie

2.1.1 Definition: Espace connexe

Un espace topologique X est dit **connexe** ssi il n'est pas la réunion de deux ouverts non-vides disjoints. Il est dit **localement connexe** si pour tout point $x \in X$ et voisinage $U \ni x$, il existe un voisinage $x \in V \subseteq U$ tel que V est connexe.

2.1.2 Definition: Chemin

Soit X un espace topologique, $x, y \in X$. On appelle **chemin d'origine** x **et d'extrémité** y toute application continue $\gamma : [a, b] \to X$ ($a < b \in \mathbb{R}$) telle que $\gamma(a) = x$ et $\gamma(b) = y$. On dit que x et y sont **reliés** ssi il existe un chemin d'origine x et d'extrémité y.

On dit γ un **chemin fermé** (ou **lacet**) ssi x = y. En ce cas on dit que γ est **basé** en x et appelle x le **point** base de γ .

Remarque : On peut regarder tout chemin fermé $\gamma: I \to X$ comme une application continue $S^1 \to X$ et vice versa.

2.1.3 Definition: Espace connexe par arcs

Un espace topologique X et dit **connexe par arcs** 1 ssi tout couple $x, y \in X$ est relié par un chemin. Un espace topologique X est dit **localement connexe par arcs** ssi pour tout $x \in X$ et voisinage $U \subseteq X$ de x, il existe un voisinage $x \in V \subseteq U$ tel que V est connexe par arcs.

Remarques:

- (i) Si X, Y sont espaces topologiques, X connexe (par arcs) et $f: X \to Y$ continue, alors f(Y) est connexe (par arcs).
- (ii) Tout espace topologique connexe par arcs (localement connexe par arcs) est connexe (localement connexe).
- (iii) Tout produit d'espaces connexes (par arcs) est aussi connexe (par arcs).
- (iv) Tout espace connexe et localement connexe par arcs est connexe par arcs[3].

2.2 Homotopies & Contractions

2.2.1 Definition: Homotopie

Soient X, Y espaces topologiques et $f, g: X \to Y$ deux applications continues. Une application $H: X \times [0, 1] \to Y$ continue par rapport à la topologie produit de $X \times [0, 1]$ est dit une **homotopie entre** f **et** g ssi $H(\cdot, 0) = f$ et $H(\cdot, 1) = g$.

Si en plus $A \subseteq X$ est tel que $H(x,t) = f(x) = g(x) \ \forall x \in A, \ t \in [0,1]$, alors H est dit homotopie **relative** à A. On dit que f,g sont **homotopes** ssi il existe une homotopie entre eux. Si $g(X) = \{x_0\}$ pour un point $x_0 \in X$, on dit l'homotopie **nul-homotopie** et la fonction f **nul-homotope** (à x_0).

^{1.} Anglais: Path connected.

Exemples:

(i) Soit Y un espace topologique et $y_0, y_1 \in Y$ deux points reliés par le chemin $\gamma : [0,1] \to Y$. Alors, pour tout espace topologique $X \neq \emptyset$ l'application

$$H: X \times [0,1] \to Y$$
 , $\Gamma(x,t) := \gamma(t)$

est un homotopie entre les constantes $h_0 \equiv y_0$ et $h_1 \equiv y_1$.

D'autre part, si $z_0, z_1 \in Y$ sont homotopes par n'importante quelle homotopie $F: X \times [0,1] \to Y$, c'est à dire $F(\cdot,0) \equiv z_0$ et $F(\cdot,1) \equiv z_1$, alors z_0, z_1 sont reliés. En fait, $F(x,\cdot): [0,1] \to X$ est un chemin entre eux.

(ii) Soit $S^2 \subseteq \mathbb{R}^3$ la surface de la boule unité dans \mathbb{R}^3 et $R(\alpha) \in SO(3)$ la rotation dans \mathbb{R}^3 autour une certaine axe par l'angle α . Alors, l'application

$$H: S^2 \times [0,1] \to S^2$$
 , $H(\cdot,t) := R(t\pi)|_{S^2}$

est une homotopie entre l'identité Id_{S^2} et la transformation $R(\pi)|_{S^2}$.

Remarques:

- (i) L'homotopie est une relation d'équivalence sur les fonctions continues $X \to Y$, noté \sim_h . Les classes d'équivalence induites s'appellent classes d'homotopie. On note $[f]_h$ la classe d'homotopie de $f: X \to Y$.
- (ii) Soient $X, (Y_i)_{i \in I}$ espaces topologiques et $F_i : X \times [0,1] \to Y_i$ n'importante quelles. Soit $Y := \underset{i \in I}{\times} Y_i$ l'espace produit des Y_i . Alors, l'application $F : X \times [0,1] \to Y$ définie par

$$F(x,t) := (F_i(x,t))_{i \in I} , x \in X, t \in [0,1]$$

est une homotopie ssi tout F_i est une homotopie. Si $f_i: X \to Y_i$ sont continues, alors la classe d'homotopie de $(f_i)_{i \in I}$ est donnée par

$$[(f_i)_{i \in I}]_h = \underset{i \in I}{\times} [f_i]_h .$$

En particulier, une continue $f: X \to Y$ est nul-homotope ssi ses composants $f_i: X \to Y_i$ sont nul-homotopes.

(iii) Soient X, Y deux espaces topologiques, $y, y' \in Y$ et $f: X \to Y$ continue, nul-homotope à y. Alors f est aussi nul-homotope à y' soi y et y' sont reliés. Cela suit d'exemple 2.2.1(i).

2.2.2 Caractérisation des nul-homotopies sur S^n

Soit X un espace topologique. Soit B^{n+1} la boule unité dans \mathbb{R}^{n+1} , $S^n = \partial B^{n+1}$ et $f: S^n \to X$ continue. Alors, f est nul-homotope ssi il peut être prolongée à une fonction continue $\widetilde{f}: B^{n+1} \to X$, c.a.d. $\widetilde{f}|_{S^n} = f$.

Preuve:

Direction \Rightarrow : Soit $H: S^n \times [0,1] \to X$ une nul-homotopie de f. Alors l'application $\widetilde{f}: B^{n+1} \to X$ définie par

$$\widetilde{f}(x) := \begin{cases} H(x/\|x\|, 1 - \|x\|) & : x \neq 0 \\ H(\cdot, 1) & : x = 0 \end{cases}$$

est continue sur B^{n+1} et une prolongée de f.

Direction \Leftarrow : Soit $\widetilde{f}: B^{n+1} \to X$ continue et une prolongation de f. Alors, l'application $H: S^n \times [0,1] \to X$ définie comme $H(x,t) := \widetilde{f}(x \cdot (1-t))$ est une nul-homotopie de f.

2.2.3 Definition: Chemins strictement homotopes

Deux chemins $\gamma_0, \gamma_1 : [a, b] \to X$ dans un espace topologique X sont dit **strictement homotopes** ssi il y a une application $\Gamma : [a, b] \times [0, 1] \to X$ continue telle que Γ est une homotopie entre γ_0 et γ_1 et en plus $\Gamma(a, t) = \gamma_0(a)$, $\Gamma(b, t) = \gamma_0(b)$ pour tout $t \in [0, 1]$. Autrement dit, tout $\Gamma(\cdot, t)$ est un chemin entre les mêmes points. On dit Γ une **homotopie de chemins stricte** et on note $\gamma_0 \sim_{bs} \gamma_1$.

Remarques

- (i) L'homotopie stricte \sim_{hs} entre chemins est une relation d'équivalence. Ses classes d'équivalence $[\cdot]_{hs}$ sont dites classes d'homotopie stricte.
- (ii) Soient $(Y_i)_{i\in I}$ espaces topologiques et $\gamma_{0i}, \gamma_{1i} : [0,1] \to Y_i, i \in I$ chemins. Alors, $(\gamma_{0i})_{i\in I} : [0,1] \to (Y_i)_{i\in I}$ est strictement homotope à $(\gamma_{1i})_{i\in I}$ ssi tout γ_{0i} est strictement homotope à γ_{1i} .

2.2.4 Definition: Chemin contractile

Soit X un espace vectoriel. Alors, un chemin $\gamma: S^1 \to X$ fermé est dit **contractile** (à x_0) si il est nul-homotope, c.a.d. il existe une homotopie $\Gamma: S^1 \times [0,1] \to X$ telle que $\Gamma(\cdot,0) = \gamma$ et $\Gamma(\cdot,1) \equiv x_0$ pour un $x_0 \in X$. On dit que $\gamma: S^1 \to X$ est **strictement contractile** à $x_0 \in \gamma(S^1)$, si pour un $s_0 \in S^1$ on a $\Gamma(s_0,t) = x_0 \ \forall t \in [0,1]$,

c'est à dire l'homotopie est stricte. On note $[x_0]_{hs}$ la classe d'homotopie stricte des lacets strictement contractiles à x_0 .

Note que par 2.2.5 tout chemin est contractile ssi il est strictement contractile.

2.2.5 Lemme : Caractérisation de contractilité

Soit X un espace vectoriel, $x \in X$ n'importante quel et $\gamma: S^1 \to X$ un lacet basé en $y \in X$. Alors, le suivants sont équivalents :

- 1. Le lacet $\gamma: S^1 \to X$ est contractile à x.
- 2. Les points x et y sont reliés et γ est contractile a y.
- 3. Les points x et y sont reliés et γ est strictement contractile a y.
- 4. Le lacet γ peut être prolongé en une fonction continue $\widetilde{\gamma}: B^2 \to X$, où B^2 est la boule unité (fermée) dans \mathbb{R}^2 et $\widetilde{\gamma}(0) = x$.

Preuve:

- $1 \Rightarrow 2$: Soit $\gamma(s_0) = y$ pour un $s_0 \in S^1$. Soit $\Gamma: S^1 \times [0,1] \to X$ une nul-homotopie entre γ et x. Alors $\Gamma(s_0, \cdot): [0,1] \to X$ est un chemin entre y et x. Par remarque 2.2.1(iii), γ est nul-homotope à y.
- $2 \Rightarrow 1$: Suit de remarque 2.2.1(iii).
- $2\Rightarrow 3$: On considère le lacet comme $\gamma:[0,1]\to X$ et suppose $\gamma(0)=\gamma(1)=y$. Soit $\Gamma:[0,1]\times[0,1]\to X$ une homotopie entre γ et y, telle que $\Gamma(0,t)=\Gamma(1,t) \ \ \forall \ t\in[0,1]$. Alors, l'application $\widetilde{\Gamma}:[0,1]\times[0,1]\to X$ définie comme

$$\widetilde{\Gamma}(s,t) := \begin{cases} \Gamma(0,4st) & : 0 \le s \le \frac{1}{4} \\ \Gamma\left(2s - \frac{1}{2}, t\right) & : \frac{1}{4} \le s \le \frac{3}{4} \\ \Gamma\left(0, t + (1-t)(4s - 3)\right) & : \frac{3}{4} \le s \le 1 \end{cases}$$

est une homotopie stricte entre γ et y, c'est à dire satisfait $\widetilde{\Gamma}(0,t)=y \ \forall \ t \in [0,1].$

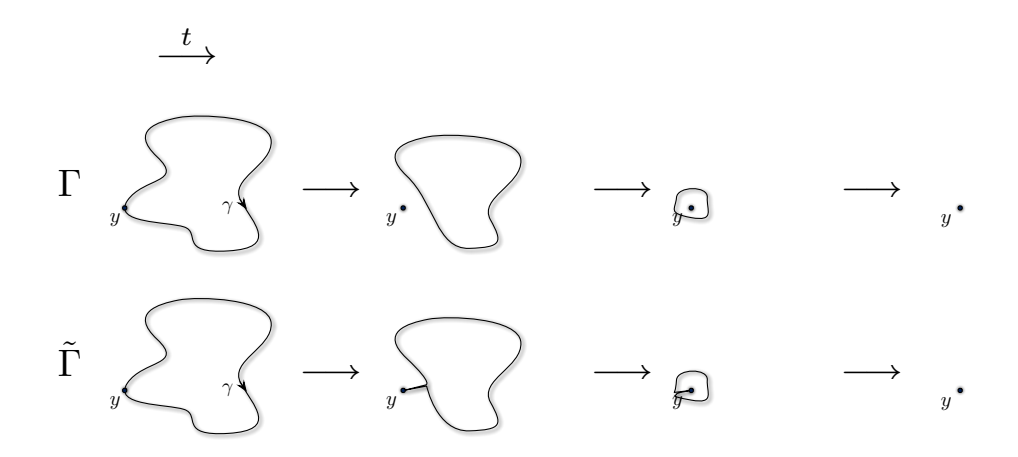


FIGURE 1: Sur la contractilité d'un chemin à un point y dans son image, qui est équivalente à sa contractilité stricte.

 $3 \Rightarrow 2$: Trivial.

 $1 \Leftrightarrow 4$: Implication de 2.2.2.

2.2.6 Definition: Espace simplement connexe

Un espace topologique X connexe par arcs est dit **simplement connexe** ssi tout chemin fermé sur X est contractile.

Remarque: La connexité simple est une invariante d'homeomorphie.

2.2.7 Definition: Espace contractile

Un espace topologique X est dit **contractile** (à x_0) ssi l'identité $\mathrm{Id}: X \to X$ est homotope à une constante $x_0 \in X$. On dit une homotopie $H: X \times [0,1] \to X$ entre Id et x_0 une **contraction** de X à x_0 . Si X est une variété lisse, on dit que X est **lisse contractile** si H peut être choisie lisse.

Exemple : Soit E un espace normé, $C \subseteq E$ une convexe et $x_0 \in C$. Alors l'application $H: C \times [0,1] \to C$ définie comme

$$H(x,t) := (1-t) \cdot x + t \cdot x_0$$

et une homotopie entre l'identité Id: $C \to C$ et la constante $C \to \{x_0\}$. Donc, C est contractile.

2.2.8 Caractérisation des espaces contractiles

Un espace topologique X est contractile ssi toute application continue $f:Y\to X$ d'un espace topologique Y dans X est nul-homotope.

Preuve:

 \Rightarrow : Soit X contractile, $H: X \times [0,1] \to X$ une nul-homotopie de l'identité Id_X et $f: Y \to X$ continue. Alors l'application $F: Y \times [0,1] \to X$ définie comme $F(y,t) := H(f(y),t), \ y \in Y, \ t \in [0,1]$ est une nul-homotopie de f.

 \Leftarrow : Trivial.

2.2.9 Lemme : Connexité des espaces contractiles

Tout espace topologique X contractile est simplement connexe.

Preuve : Soit $H: X \to X$ une homotopie entre Id_X et un point $x_0 \in X$. Soient $x, y \in X$ n'importante quels. Défini les chemins $\gamma_x, \gamma_y : [0, 1] \to X$ comme

$$\gamma_x(t) := H(x,t) , \gamma_y(t) := H(y,1-t) .$$

Alors l'application $\gamma:[0,2]\to X$ définie comme

$$\gamma(t) := \begin{cases} \gamma_x(t) &: 0 \le t \le 1\\ \gamma_y(t) &: 1 \le t \le 2 \end{cases}$$

et un chemin entre x et y. Par conséquence, X est connexe par arcs.

Soit $\gamma:S^1\to X$ un chemin fermé. Alors l'application $\Gamma:S^1\times [0,1]\to X$ définie comme

$$\Gamma(\varphi,t):=H(\gamma(s),t)\ ,\ \varphi\in S^1,\ t\in[0,1]$$

est une homotopie entre γ et le point x_0 .

Exemples:

- (i) L'espace $\mathbb{C} \setminus \{0\}$ n'est pas contractile, car le lacet $\gamma : [0, 2\pi] \to \mathbb{C} \setminus \{0\}$ défini par $\gamma(t) := e^{i2\pi t}$ n'est pas contractile.
- (ii) Par 2.4.7, la surface S^2 est simplement connexe. Cependant, elle n'est pas contractile.

2.2.10 Definition: Equivalence d'homotopie

On dit deux espaces topologiques X, Y homotopiquement équivalents ssi il existe deux fonctions continues $f: X \to Y$ et $g: Y \to X$ telles que $g \circ f \sim_h \operatorname{Id}_X$ et $f \circ g \sim_h \operatorname{Id}_Y$. Quelquefois les applications f, g sont appelées équivalences d'homotopie entre X et Y.

Remarque: L'équivalence d'homotopie est une relation d'équivalence entre les espaces topologiques.

Exemple : Deux espaces topologiques homéomorphes sont homotopiquement équivalents. Le réciproque est généralement faux.

2.2.11 Definition: Rétracte

Soit X un espace topologique et $A \subseteq X$. Une **rétraction** de X dans A est une application continue $r: X \to A$ telle que $r\big|_A = \operatorname{Id}_A$. Une partie $A \subseteq X$ est dit **rétracte** 2 de X, ssi il existe une rétraction $r: X \to A$ de X dans A. Si en plus $\operatorname{Id}_X \sim_h (i \circ r)$ où $i: A \hookrightarrow X$ est l'inclusion de A dans X, on appelle r une **rétraction** par déformation et A une **rétracte par déformation**. On appelle toute homotopie entre Id_X et $(i \circ r)$ une homotopie de la rétracte A.

Remarques:

- (i) Un point $x_0 \in X$ est une rétracte par déformation ssi X est contractile à x_0 .
- (ii) Si A est une rétracte par déformation dans l'espace topologique X, alors A et X sont homotopiquement équivalentes. En fait, soit $r: X \to A$ une rétraction par déformation et $i: A \hookrightarrow X$ l'inclusion de A dans X. Alors $i \circ r \sim_h \operatorname{Id}_X$ et $r \circ i = \operatorname{Id}_A$.

^{2.} Anglais: Retract.

Exemple: La surface $S^n \subseteq X := \mathbb{R}^{n+1} \setminus \{0\}$ est une rétracte par déformation dans X, par rapport à la rétraction

 $r(x) := \frac{x}{\|x\|} \quad , \quad x \in X \quad .$

En fait, l'application $R: X \times [0,1] \to X$ donnée par

$$R(x,t) := t \cdot x + (1-t) \cdot \frac{x}{\|x\|}$$

est une homotopie entre $i \circ r$ et Id_X , où $i: S^n \hookrightarrow X$ est l'inclusion de S^n dans X.

2.3 Le groupe fondamental

2.3.1 Definition: Chemin inverse

Soit X un espace topologique et $\gamma:[a,b]\to X$ un chemin. On définit le **chemin inverse** $\overline{\gamma}$ de γ comme

$$\overline{\gamma}: [a,b] \to X \quad , \quad \overline{\gamma}(t):=\gamma \left(t \cdot a + (1-t) \cdot b\right) \quad .$$

Remarques : Deux chemins sont strictement homotopes ssi leurs inverses sont strictement homotopes. On écrit donc souvent $[\gamma]_{hs}^{-1}$ au lieu de $[\overline{\gamma}]_{hs}$.

2.3.2 Definition: Composition de chemins

Soit X un espace topologique et $\gamma_i : [a_i, b_i] \to X$ deux chemins tels que $\gamma_1(b_1) = \gamma_2(a_2)$. Alors, on définit leur **composition** $(\gamma_1 \otimes \gamma_2) : [0, 1] \to X$ comme le chemin donné par

$$(\gamma_1 \otimes \gamma_2)(t) := \begin{cases} \gamma_1(a_1 + 2t(b_1 - a_1)) & : 0 \le t \le 1/2 \\ \gamma_2(a_2 + (2t - 1)(b_2 - a_2)) & : 1/2 \le t \le 1 \end{cases}.$$

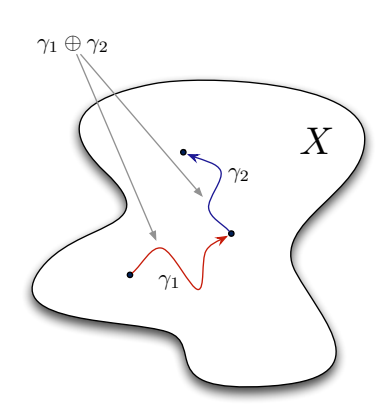


FIGURE 2: Sur la composition des chemins.

Remarques:

- (i) La composition des chemins préserve les classes d'homotopie stricte, c'est à dire, si $\gamma_1 \sim_{hs} \gamma_1'$ et $\gamma_2 \sim_{hs} \gamma_2'$, alors $\gamma_1 \otimes \gamma_2 \sim_{hs} \gamma_1' \otimes \gamma_2'$. On peut donc écrire $[\gamma_1]_{hs} \otimes [\gamma_2]_{hs}$ au lieu de $[\gamma_1 \otimes \gamma_2]_{hs}$.
- (ii) La composition de chemins n'est pas associative ni commutative.
- (iii) L'associativité est donnée si on regarde seulement des classes d'homotopie stricte : Soient $\gamma_1, \gamma_2, \gamma_3 : [0, 1] \to X$ trois chemins tels que $\gamma_1(1) = \gamma_2(0)$ et $\gamma_2(1) = \gamma_3(0)$. Alors l'homotopie stricte $\Gamma : [0, 1] \times [0, 1] \to X$ donnée par

$$\Gamma(s,t) := \begin{cases} \gamma_1 \left(\frac{4s}{t+1} \right) &: 0 \le s \le \frac{t+1}{4} \\ \gamma_2 (4s - 1 - t) &: \frac{t+1}{4} \le s \le \frac{t+2}{4} \\ \gamma_3 \left(\frac{-2 - t + 4s}{2 - t} \right) &: \frac{t+2}{4} \le s \le 1 \end{cases}$$

satisfait $(\gamma_1 \otimes \gamma_2) \otimes \gamma_3 = \Gamma(\cdot, 0)$ et $\gamma_1 \otimes (\gamma_2 \otimes \gamma_3) = \Gamma(\cdot, 1)$ et donc

$$(\gamma_1 \otimes \gamma_2) \otimes \gamma_3 \sim_{hs} \gamma_1 \otimes (\gamma_2 \otimes \gamma_3)$$
.

En particulier

$$([\gamma_1]_{hs} \otimes [\gamma_2]_{hs}) \otimes [\gamma_3]_{hs} = [\gamma_1]_{hs} \otimes ([\gamma_2]_{hs} \otimes [\gamma_3]_{hs}) .$$

- (iv) La composition d'un chemin γ avec un lacet contractile l préserve la classe d'homotopie, c'est à dire $[\gamma]_{hs} \otimes [l]_{hs} = [\gamma]_{hs}$.
- (v) La composition d'un chemin $\gamma:[0,1]\to X$ avec son inverse $\overline{\gamma}$ donné un lacet contractile, c'est-à-dire $[\gamma]_{hs}\otimes[\gamma]_{hs}^{-1}=[\gamma(0)]_{hs}$.

2.3.3 Definition: Le groupe fondamental

Soit X un espace topologique et $x_0 \in X$ fixé. Le **groupe fondamental de** X basé en x_0 , noté $\Pi_1(X, x_0)$, est l'ensemble des classes d'homotopie stricte $[\gamma]_{hs}$ (vois 2.2.1) des lacets $\gamma:[0,1]\to X$ basé en x_0 . Sa loi de composition est donnée par

$$[\gamma_1]_{hs} \otimes [\gamma_2]_{hs} := [\gamma_1 \otimes \gamma_2]_{hs} , [\gamma_1]_{hs}, [\gamma_2]_{h} \in \Pi_1(X, x_0)$$
 (2.3.3.1)

avec l'élément unité le chemin constante $[x_0]_{hs}$ et l'inversion $[\gamma]_{hs}^{-1}=[\overline{\gamma}]_{hs}$

Remarques:

- (i) D'après remarque 2.3.2(i), la loi de composition (2.3.3.1) est bien défini, c'est à dire indépendant des représentants γ_1, γ_2 .
- (ii) D'après remarque 2.3.2(iii), la loi de composition (2.3.3.1) est vraiment associative. Donc, $\Pi_1(X, x_0)$ est vraiment un groupe.
- (iii) Le groupe fondamental n'est pas impérativement abélien.

2.3.4 Théorème : Invariance du groupe fondamental

Soit X un espace topologique connexe par arcs et $x_0, y_0 \in X$ n'importante quels. Alors $\Pi_1(X, x_0) \cong \Pi_2(X, y_0)$.

Preuve : Soit $\gamma:[0,1]\to X$ un chemin d'origine x_0 et d'extrémité y_0 . Alors, l'application $\Pi_1(X,x_0)\to\Pi_2(X,y_0)$ donnée par

$$[\beta]_{hs} \mapsto [\overline{\gamma} \otimes \beta \otimes \gamma]_{hs} \quad , \quad [\beta]_{hs} \in \Pi_1(X, x_0)$$
 (2.3.4.1)

est par remarque 2.3.2(i) bien défini. De plus, elle est un isomorphisme entre les deux groupes fondamentaux.

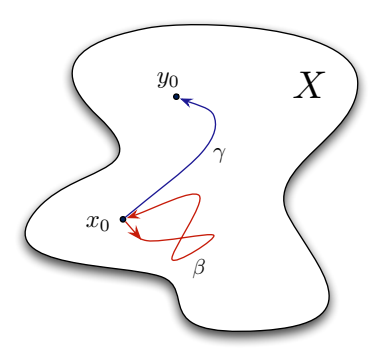


FIGURE 3: Sur l'invariance du groupe fondamentaux des espaces connexes par arcs.

Remarques:

- (i) Si X est connexe par arcs, on dénote $\Pi_1(X)$ la classe d'isomorphismes des groupes fondamentaux de X.
- (ii) L'isomorphisme (2.3.4.1), défini en utilisant un chemin γ entre x et y, est par remarque 2.3.2(i) le même pour tout chemin choisi de la classe d'homotopie $[\gamma]_{hs}$. Autrement dit, si $\gamma' \sim_{hs} \gamma$, alors

$$\overline{\gamma}' \otimes \beta \otimes \gamma' \sim_{hs} \overline{\gamma} \otimes \beta \otimes \gamma$$

pour tout lacet β basé en x_0 . Noter qu'en général, l'affirmation ne reste plus vraie si γ' et γ ne sont pas strictement homotopes.

2.3.5 Lemme: Groupes fondamentaux triviales

Soit X un espace topologique connexe par arcs et $x_0 \in X$ quelconque. Alors, il y a équivalence entre :

- 1. Le groupe fondamental $\Pi_1(X)$ est trivial.
- 2. L'espace est simplement connexe.
- 3. Tous chemins $\gamma_0, \gamma_1 : [0,1] \to X$ d'origine x_0 tels que $\gamma_0(1) = \gamma_1(1)$ sont strictement homotopes.

Preuve:

- $1 \Leftrightarrow 2$: Conséquence directe du lemme 2.2.5.
- $2 \Rightarrow 3$: Le lacet $\gamma_0 \otimes \gamma_1^{-1}$ basé en $x := \gamma_0(0)$ est par supposition et 2.2.5 strictement homotope à x par une homotopie stricte $H: [0,1] \times [0,1] \to X$. L'application $\widetilde{H}: [0,1] \times [0,1] \to X$ définie par

$$\widetilde{H}(t,s) := \begin{cases} H(2t,s) & : 0 \le t \le \frac{1}{2}, \ 0 \le s \le \frac{1}{2} \\ H\left[2t(2-2s), \frac{1}{2}\right] & : 0 \le t \le \frac{1}{2}, \ \frac{1}{2} \le s \le 1 \\ H(2-2t,1-s) & : \frac{1}{2} \le t \le 1, \ 0 \le s \le \frac{1}{2} \\ H\left[(2-2t)(2-2s), \frac{1}{2}\right] & : \frac{1}{2} \le t \le 1, \ \frac{1}{2} \le s \le 1 \end{cases}$$

est une homotopie stricte entre γ_0, γ_1 (vois figure 4).

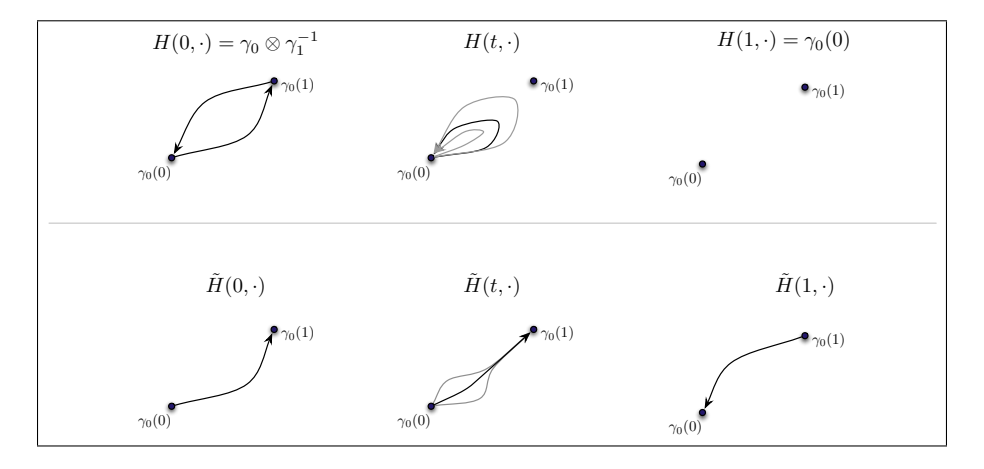


FIGURE 4: Sur la preuve de 2.3.5, direction $2 \Rightarrow 3$.

 $3 \Rightarrow 2$: Par cette supposition, tout lacet est strictement homotope au point constant. Donc $\Pi_1(X, x_0) = \{0\}$.

2.3.6 Lemme: Homomorphismes entre groupes fondamentaux

Soient X, Y espaces topologiques, $\varphi: X \to Y$ continue et $x_0 \in X$. Alors, l'application

$$\varphi_*: \Pi_1(X, x_0) \to \Pi_2(Y, \varphi(x_0)) , [\beta]_{hs} \stackrel{\varphi_*}{\mapsto} [\varphi(\beta)]_{hs}$$

est bien définie et un homomorphisme de groupes.

Remarques

(i) Même si φ est injective, le morphisme φ_* n'est pas nécessairement injectif. Comme exemple, considérer l'inclusion $i: \mathbb{C}^{\times} \hookrightarrow \mathbb{C}$. Alors, même si $\Pi_1(\mathbb{C}^{\times}) \neq 0$, l'image $i_* [\Pi_1(\mathbb{C}^{\times})]$ dans $\Pi_1(\mathbb{C})$ est trivial.

2.3.7 Lemme: Homotopies et groupes fondamentaux

Soient X_1, X_2, Y espaces topologiques, $\Phi: X_1 \times X_2 \to Y$ continue et $(x_1, x_2) \in X_1 \times X_2$. On suppose que X_1 est simplement connexe. Soit $\Phi_2: X_2 \times Y$ la restriction $\Phi_2(\cdot) := \Phi(x_1, \cdot)$. Alors

$$\Phi_{2*}\left[\Pi_1(X_2, x_2)\right] = \Phi_*\left[\Pi_1(X_1 \times X_2, (x_1, x_2))\right] . \tag{2.3.7.1}$$

Preuve : On considère l'inclusion $i: X_2 \hookrightarrow X_1 \times X_2$ donnée par $i: x \mapsto (x_1, x)$. Alors, car $\Phi_2 = \Phi \circ i$, c'est-à-dire $\Phi_{2*} = \Phi_* \circ i_*$, il suffit à montrer que $i_* [\Pi_1(X_2, x_2)] = \Pi_1(X_1 \times X_2, (x_1, x_2))$. L'inclusion " \subseteq " est triviale. Soit inversement $\gamma := (\gamma_1, \gamma_2) : [0, 1] \to X_1 \times X_2$ un lacet basé en (x_1, x_2) . Car X_1 est simplement connexe, γ_1 est strictement homotope au point x_1 . Par remarque 2.2.3(ii) γ est strictement homotope à (x_1, γ_2) . Évidement $(x_1, \gamma_2) \in i_* [\Pi_1(X_2, x_2)]$.

Conséquence : Si $H: X \times [0,1] \to Y$ est une homotopie, alors

$$H(\cdot, t_0)_* [\Pi_1(X, x_0)] = H_* [\Pi_1(X \times [0, 1], (x_0, t_0))]$$

pour tout $t_0 \in [0,1]$ et $x_0 \in X$.

2.3.8 Théorème: Groupes fondamentaux des espaces homotopiquement équivalents

Soient X, Y espaces topologiques, $\varphi : X \to Y$ une équivalence d'homotopie et $x_0 \in X$. Alors l'homomorphisme $\varphi_* : \Pi_1(X, x_0) \to \Pi_1(Y, \varphi(x_0))$ défini dans lemme 2.3.6 est un isomorphisme.

Exemple: Soit A une rétracte par déformation dans l'espace topologique X, avec rétraction par déformation $r: X \to A$. Alors, par remarque 2.2.11(ii) et lemme 2.3.8 le groupe fondamental $\Pi_1(X, x_0)$ à $x_0 \in X$ est isomorphe au groupe fondamental $\Pi_1(A, r(x_0))$.

2.3.9 Lemme: Produits de groupes fondamentaux

Soient $(X_i)_{i\in I}$ espaces topologiques, $X:=\underset{i\in I}{\times}X_i$ leur espace topologique produit, $x_i\in X_i$ et $x:=(x_i)_{i\in I}$. Alors

$$\Pi_1(X, x) \cong \underset{i \in I}{\times} \Pi_1(X_i, x_i)$$
.

Preuve : L'application $\Phi: \underset{i=1}{\overset{n}{\times}} \Pi_1(X_i, x_i) \to \Pi_1(X, x)$ définie par

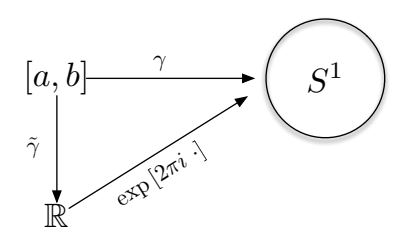
$$\Phi: ([\gamma_i]_{hs})_{i \in I} \mapsto [(\gamma_i)_{i \in I}]_{hs}$$

est d'après remarque 2.2.3(ii) bien définie. De plus, elle est un isomorphisme des groupes.

2.4 Le groupe fondamental de S^1 et S^2

2.4.1 Lemme : Relèvements de chemins dans S^1

Soit $\gamma:[a,b]\to S_1\subseteq\mathbb{C}$ un chemin. Alors, il existe une $\widetilde{\gamma}:[a,b]\to\mathbb{R}$ continue telle que $\gamma(t)=\exp{[2\pi i\cdot\widetilde{\gamma}(t)]}$, appelée **relèvement** de γ dans \mathbb{R} . Tous relèvements de γ sont égales modulo \mathbb{Z} , c'est à dire, $\widetilde{\gamma}':[a,b]\to\mathbb{R}$ est aussi un relèvement de γ ssi $\widetilde{\gamma}'=\widetilde{\gamma}+n$ pour un $n\in\mathbb{Z}$.



 ${\bf Figure}$ 5: Sur les relèvements des chemins. Le diagramme commute.

Cette affirmation et sa preuve est un cas spécial du théorème 3.1.7 ci-dessous.

Preuve d'existence : On suppose que $\gamma(a) = 1$. Soit $\mathcal{E} : \mathbb{R} \to \mathbb{C}$ donnée par $\mathcal{E}(t) := \exp(2\pi i t)$. On pose $U^1 := S^1 \setminus \{1\}$ et $U^2 := S^1 \setminus \{-1\}$, alors

$$\mathcal{E}^{-1}(U^1) = \biguplus_{m \in \mathbb{Z}} \underbrace{(m-1,m)}_{=:I_m^1} \ , \ \mathcal{E}^{-1}(U^2) = \biguplus_{m \in \mathbb{Z}} \underbrace{(m-\frac{1}{2},m+\frac{1}{2})}_{=:I_m^2} \ .$$

D'après Lebesgue A.0.8, il existe un $\varepsilon > 0$ tel que

$$\forall s \in [a,b] : \exists j \in \{1,2\} : B_{\varepsilon}(s) \cap [a,b] \subseteq \gamma^{-1}(U^j) .$$

On choisit $a = s_1 < s_2 < \dots < s_n = b$ tels que $|s_k - s_{k-1}| < \varepsilon \ \forall k$, donc pour tout $1 \le k \le n$ il y a un $j \in \{1,2\}$ tel que $\gamma([s_{k-1},s_k]) \subseteq U^j$. Pose $\widetilde{\gamma}(a) := 0$ et suppose par récurrence que $\widetilde{\gamma}: [a,s_{k-1}] \to \mathbb{R}$ est déjà donnée et en particulier satisfait $\gamma|_{[a,s_{k-1}]} = \mathcal{E} \circ \widetilde{\gamma}|_{[a,s_{k-1}]}$.

Soit $\gamma([s_{k-1}, s_k]) \subseteq U^j$ pour quelque $j \in \{1, 2\}$, alors $\widetilde{\gamma}(s_{k-1}) \in \mathcal{E}^{-1}(U^j)$ et il existe un $m \in \mathbb{Z}$ tel que $\widetilde{\gamma}(s_{k-1}) \in I_m^j$. D'autre part on a $U^j = \mathcal{E}(I_m^j)$ et l'application $\mathcal{E}|_{I_m^j} : I_m^j \to U^j$ est un homéomorphisme. Donc on peut poser

$$\widetilde{\gamma}|_{[s_{k-1},s_k]} := \mathcal{E}|_{I_m^j}^{-1} \circ \gamma|_{[s_{k-1},s_k]}$$
 (2.4.1.1)

Note que (2.4.1.1) préserve la valeur dernière de $\widetilde{\gamma}(s_{k-1})$, donc $\widetilde{\gamma}|_{[a,s_k]}$ est défini et continue. On peut continuer comme cela jusqu'à tout $\widetilde{\gamma}|_{[a,b]}$ est obtenu.

Preuve d'unicité : Soient $\widetilde{\gamma}, \widetilde{\gamma}' : [a, b] \to \mathbb{R}$ deux relèvements du chemin $\gamma : [a, b] \to S^1$. Alors par définition

$$\exp \left[2\pi i \widetilde{\gamma}(t)\right] = \exp \left[2\pi i \widetilde{\gamma}'(t)\right] \quad \forall \ t \in [a, b]$$

et donc l'application $\varkappa(t) := \widetilde{\gamma}'(t) - \widetilde{\gamma}(t)$ satisfait $\varkappa(t) \in \mathbb{Z} \ \forall \ t \in [a,b]$. Mais $\varkappa : [a,b] \to \mathbb{R}$ est continue, donc $\varkappa \equiv \mathrm{const.}$

2.4.2 Théorème : Relèvement d'une homotopie dans S^1

Soit $\Gamma:[a,b]\times[0,1]\to S^1\subseteq\mathbb{C}$ une homotopie. Alors, il existe une $\widetilde{\Gamma}:[a,b]\times[0,1]\to\mathbb{R}$ continue telle que $\Gamma=\exp\left[2\pi i\cdot\widetilde{\Gamma}\right]$, appelée **relèvement** de Γ . Tous relèvements de Γ sont égales modulo \mathbb{Z} , c'est à dire, $\widetilde{\Gamma}':[a,b]\times[0,1]\to\mathbb{R}$ est aussi un relèvement de Γ ssi $\widetilde{\Gamma}'=\widetilde{\Gamma}+n$ pour un $n\in\mathbb{Z}$.

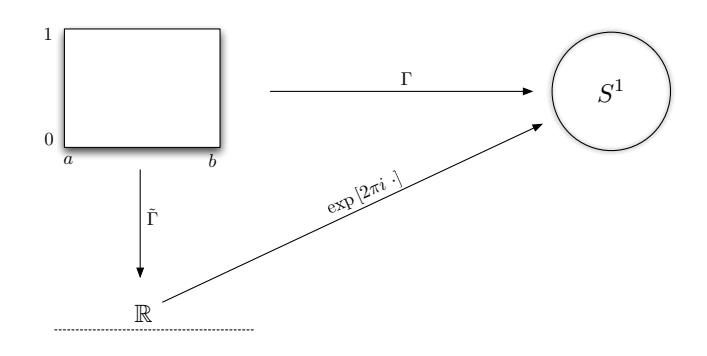


FIGURE 6: Sur le relèvement de la homotopie $\Gamma:[a,b]\times [0,1]\to S^1.$

Preuve d'existence : Sera prouvé par théorème 3.1.12.

Preuve d'unicité : Soient $\widetilde{\Gamma}, \widetilde{\Gamma}' : [a, b] \times [0, 1] \to \mathbb{R}$ deux relèvements de l'homotopie $\Gamma : [a, b] \times [0, 1] \to S^1$. Alors par définition

$$\exp\left[2\pi i\widetilde{\Gamma}(s,t)\right] = \exp\left[2\pi i\widetilde{\Gamma}'(s,t)\right] \ \forall \ (s,t) \in [a,b] \times [0,1]$$

et donc l'application $\varkappa := \widetilde{\Gamma}' - \widetilde{\Gamma}$ satisfait $\varkappa(s,t) \in \mathbb{Z} \ \forall \ (s,t) \in [a,b] \times [0,1]$. Mais $\varkappa : [a,b] \times [0,1] \to \mathbb{R}$ est continue, donc $\varkappa \equiv \text{const.}$

Remarques : Soit $\Gamma:[a,b]\times[0,1]\to S^1$ une homotopie avec relèvement $\widetilde{\Gamma}:[a,b]\times[0,1]\to\mathbb{R}$. Alors :

- (i) Pour tout $t \in [0,1]$, la fonction $\widetilde{\Gamma}(\cdot,t)$ est un relèvement du chemin $\Gamma(\cdot,t):[a,b]\to S^1$.
- (ii) L'homotopie Γ est stricte ssi le relèvement $\widetilde{\Gamma}$ est une homotopie stricte. Pour voir la direction " \Rightarrow ", on peut supposer que $\Gamma(a,\cdot) \equiv 1 + 0 \cdot i$, donc $\widetilde{\Gamma}(a,\cdot) : [0,1] \to \mathbb{Z}$. Mais $\widetilde{\Gamma}(a,\cdot)$ est continue, donc constante. De même pour $\widetilde{\Gamma}(b,\cdot)$. La direction " \Leftarrow " est claire.

2.4.3 Definition: Degré

Soit $\gamma:[a,b]\to S^1$ continue avec relèvement $\widetilde{\gamma}:[a,b]\to\mathbb{R}$ défini comme dans 2.4.1. Alors la valeur

$$dg(\gamma) := \widetilde{\gamma}(b) - \widetilde{\gamma}(a)$$

est d'après 2.4.1 bien définie et s'appelle **degré** de γ . Pour continue $f:S^1\to S^1$ on définit le degré

$$\mathrm{dg}(f) := \mathrm{dg}(\underbrace{f \circ \exp(2\pi i \; \cdot)}_{[0,1] \to S^1}) \ .$$

Pour homotopie stricte $\Gamma: [a,b] \times [0,1] \to S^1$ on pose

$$dg(\Gamma) := dg(\Gamma(\cdot, 0))$$
.

Noter que selon 2.4.2(ii) on a $dg(\Gamma) = dg(\Gamma(\cdot, t))$ pour tout $t \in [0, 1]$.

2.4.4 Lemme : Le degré comme un morphisme

Soient $\gamma_1, \gamma_2 : [0,1] \to S^1$ deux chemins tels que $\gamma_1(1) = \gamma_2(0)$. Alors

$$dg(\gamma_1 \otimes \gamma_2) = dg(\gamma_1) + dg(\gamma_2) .$$

et $dg(\overline{\gamma}) = -dg(\gamma)$.

Preuve : Soient $\widetilde{\gamma}_1, \widetilde{\gamma}_2 : [0,1] \to \mathbb{R}$ des relèvements des γ_1, γ_2 . On peut supposer que $\widetilde{\gamma}_1(1) = \widetilde{\gamma}_2(0)$. Alors, la composition $\widetilde{\gamma} := \widetilde{\gamma}_1 \otimes \widetilde{\gamma}_2$ est un relèvement de $\gamma_1 \otimes \gamma_2$ et donc

$$dg(\gamma_1 \otimes \gamma_2) = \widetilde{\gamma}(1) - \widetilde{\gamma}(0) = \widetilde{\gamma}_2(1) - \widetilde{\gamma}_1(0) = dg(\gamma_1) + dg(\gamma_2) .$$

De plus, $\overline{\widetilde{\gamma}}_1$ est un relèvement de $\overline{\gamma}_1$ et donc

$$dg(\overline{\gamma}_1) = \overline{\widetilde{\gamma}}_1(1) - \overline{\widetilde{\gamma}}_1(0) = \widetilde{\gamma}_1(0) - \widetilde{\gamma}_1(1) = -dg(\gamma_1)$$

Conséquence : Si $\beta:[0,1]\to S^1$ est un lacet basé en $x_0\in S^1$ et $\gamma:[0,1]\to S^1$ un chemin d'origine x_0 et d'extrémité $y_0\in S^1$, alors

$$dg(\overline{\gamma} \otimes \beta \otimes \gamma) = dg(\beta) .$$

2.4.5 Lemme : Le degré sur le groupe fondamental de S^1

Soit $x_0 \in S^1$. Le degré dg : $\Pi_1(S^1, x_0) \to (\mathbb{Z}, +)$, donné par

$$dg: [\gamma]_{h_s} \mapsto dg(\gamma) \quad , \quad [\gamma]_{h_s} \in \Pi_1(S^1, x_0)$$

$$(2.4.5.1)$$

est bien défini et un isomorphisme de groupes.

Preuve : Par remarque 2.4.2(ii) on sait que deux chemins strictement homotopes ont même degré, donc (2.4.5.1) est bien défini. Par lemme 2.4.4, dg est un homomorphisme. Le lacet $[0,1] \to S^1$ avec relèvement

$$\widetilde{\gamma}(s) := n \cdot s + \arg(x_0)/2\pi$$
 , $n \in \mathbb{Z}$,

est de degré n, donc de set surjective. Soient γ_0, γ_1 des lacets basé en x_0 avec les relèvements $\widetilde{\gamma}_0, \widetilde{\gamma}_1$ et même degré. On suppose $\widetilde{\gamma}_0(0) = \widetilde{\gamma}_1(0)$ (et donc $\widetilde{\gamma}_0(1) = \widetilde{\gamma}_1(1)$) et trouve que

$$\widetilde{\Gamma}(\cdot,t) := \widetilde{\gamma}_0 + t \cdot \left[\widetilde{\gamma}_1 - \widetilde{\gamma}_0\right]$$

est un relèvement d'une homotopie stricte entre γ_0 et γ_1 . Alors dg : $\Pi_1(S^1, x_0) \to \mathbb{Z}$ est bijective.

2.4.6 Corollaire : Le groupe fondamental de S^1

Par 2.4.5, le groupe fondamental $\Pi_1(S^1)$ est isomorphe à $(\mathbb{Z}, +)$. D'après la conséquence de 2.4.4, l'isomorphisme (2.3.4.1) qui connecte deux n'importante quelles $\Pi_1(S^1, x)$, $\Pi_1(S^1, y)$, préserve le degré, c'est-à-dire le diagramme ci-dessous commute.

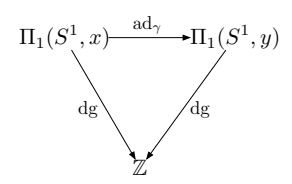


FIGURE 7: Sur la préservation du degré sur S^1 par transport entre groupes fondamentaux basés en deux points x, y, reliés par un chemin γ . Le diagramme commute.

Conséquence : Le 2-tore possède le groupe fondamental $\Pi_1(S^1 \times S^1) \cong \Pi_1(S^1) \times \Pi_1(S^1) \cong \mathbb{Z} \times \mathbb{Z}$.

2.4.7 Lemme : Le groupe fondamental de S^2

Le surface S^2 et simplement connexe. Par conséquence, d'après 2.3.5 son groupe fondamental $\Pi_1(S^2)$ est trivial. En fait, l'assertion reste vrai si on supprime un point de S^2 .

Preuve : Bien sûr S^2 est connexe par arcs. Soit $\gamma:[0,1]\to S^2$ un chemin et $x_0\in S^2\setminus\gamma([0,1])$. Alors, il existe un homéomorphisme $f:S^2\setminus x_0\to \mathbb{C}$ (projection stéréographique). Car $S^2\setminus x_0$ est simplement connexe, $f\circ\gamma$ et donc γ et homotope à un point. Alors S^2 est aussi simplement connexe.

2.4.8 Lemme : Le groupe fondamental de S^2 avec deux trous

Les groupes fondamentaux du cylindre infini $\mathbb{R} \times S^1$, de $\mathbb{R}^2 \setminus \{0\}$, du disque ouvert avec un trou $\{z \in \mathbb{C} : 0 < |z| < 1\}$ et de S^2 avec deux trous, sont tous isomorphes à $(\mathbb{Z}, +)$.

Preuve : Les quatre espaces sont homéomorphes, donc possèdent le même groupe fondamental. Par 2.3.9 et 2.4.6 on a $\Pi_1(\mathbb{R} \times S^1) \cong \Pi_1(\mathbb{R}) \times \Pi_1(S^1) \cong \mathbb{Z}$.

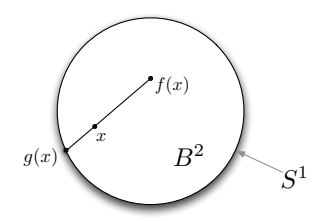


FIGURE 8: Sur lemme 2.4.8: Tous les espaces topologiques montrés sont homéomorphes et possède le groupe fondamental \mathbb{Z} .

2.4.9 Corollaire : Théorème du point fixe de Brouwer

Toute fonction continue $f: B^2 \to B^2$ sur la boule unité fermée de \mathbb{R}^2 admet au moins un point fixe.

Preuve : Supposons que f n'a pas de points fixes, c'est à dire $f(x) \neq x$ pour tout $x \in B^2$. On va construire une rétraction par déformation $r: B^2 \to S^1 = \partial B^2$. Pour $x \in B^2$ et $t \in [0,1]$ pose $H(x,t) := t \cdot g(x) + (1-t) \cdot x$, où $g(x) \in S^1$ est l'intersection unique de la prolongation (au droite) du segment [f(x), x] jusqu'à un point du cercle S^1 . Alors, car $g: B^2 \to S^1$ est bien définie et continue, constante sur S^1 , on a trouvé une homotopie entre Id_{B^2} et la rétraction $H(\cdot, 1): B^2 \to S^1$.



 ${\bf Figure}$ 9: Sur la preuve du théorème du point fixe de Brouwer.

Donc S^1 est une rétracte par déformation de B^2 et par 2.3.8 il faut $\Pi_1(B^2) \cong \Pi_1(S^1) \cong \mathbb{Z}$. Mais B^2 est simplement connexe, donc on a trouvé une contradiction!

3 Revêtements

3.1 Revêtements et relèvements

3.1.1 Definition: Revêtement

Soient C, X espaces topologiques et $p: C \to X$ continue, surjective. Alors, p s'appelle **revêtement** 3 de la **base** X par l'**espace total** (ou **espace étalé**) C, ssi pour tout $x \in X$ il existe une ouverte $V \ni x$ telle que $p^{-1}(V) = \biguplus_{i \in I} U_i$ est une union des ouvertes U_i disjointes et $p\big|_{U_i}: U_i \to V$ est un homéomorphisme $\forall i \in I$. Souvent on dit aussi la paire (C, p) revêtement de X.

Les ouvertes U_i s'appellent feuillets ⁴ sur le trivialisant ⁵ V. On appelle fibre ⁶ au-dessus du point x le sous-espace (discret) $p^{-1}(x) \subseteq C$.

Si on peut prendre V = X, on dit le revêtement **trivial**.

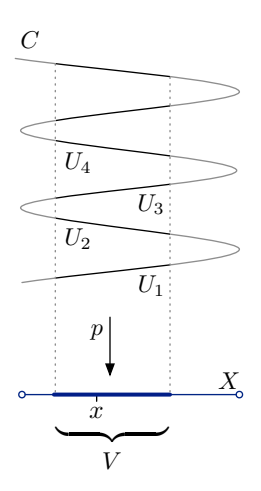


FIGURE 10: Revêtement d'un intervalle réel ouvert par projection p d'une courbe C dans \mathbb{R}^2 .

Remarques:

- (i) Soit V un trivialisant du revêtement $p:C\to X$. Alors, tout sous-ouvert $\emptyset\neq V'\subseteq V$ est aussi un trivialisant.
- (ii) De (i) on déduit que les ouverts trivialisants de X forment une base de sa topologie.
- (iii) Soit $p: C \to X$ un revêtement de $X, X_0 \subseteq X$ n'importante quel et $C_0 := p^{-1}(X_0)$. Alors, la restriction $p|_{C_0}: C_0 \to X_0$ est un revêtement de X_0 .

Exemples:

- (i) $\exp [2\pi i \cdot] : \mathbb{R} \to S^1 \subseteq \mathbb{C}$ est un revêtement de S^1 .
- (ii) $(z \mapsto z^n): S^1 \to S^1$ est un revêtement de S^1 .
- (iii) Si X est un espace topologique et F un espace topologique discret, alors la projection $p: F \times X \to X$ est un revêtement trivial de X par $F \times X$.
- (iv) L'application $\exp : \mathbb{C} \to \mathbb{C} \setminus \{0\}$ est un revêtement.
- (v) L'application $\mathbb{R}^2 \to S^1 \times S^1$ donnée par $(x,y) \mapsto (e^{2\pi i x}, e^{2\pi i y})$ est un revêtement.
- (vi) Soit G un groupe qui agit via homéomorphismes sur l'espace topologique X. Alors l'opération $G \times X \to X$ est en fait un revêtement de X par $G \times X$, où G est munit de la topologie discrète.
- (vii) Si G est un groupe qui agit proprement discontinûment via homéomorphismes sur l'espace topologique X, alors l'application quotient $X \to X/G$ est un revêtement de X/G. Voir 3.4.5 pour plus d'informations.

^{3.} Anglais: Covering.

^{4.} Anglais : Sheets.

^{5.} Anglais: Evenly-covered neighborhood.

^{6.} Anglais: Fiber.

3.1.2 Definition: Revêtements équivalents

Soit Y un espace topologique. Alors, deux revêtements (C_0, p_0) , (C_1, p_1) de Y sont dit **équivalents** ssi il existe un homéomorphisme $h: C_0 \to C_1$ tel que $p_0 = p_1 \circ h$. En ce cas, on note $(C_0, p_0) \cong (C_1, p_1)$.

Remarque : L'équivalence de revêtements de Y est une relation d'équivalence.

3.1.3 Lemme sur revêtements et rétractes

Soit Y un espace topologique et (C, p) un revêtement de Y. Soit $Y_0 \subseteq Y$ tel que $C_0 := p^{-1}(Y_0)$ est une rétracte de C par déformation(vois 2.2.11). On suppose qu'il existe une homotopie $\widetilde{H}: C \times [0, 1] \to C$ de la rétracte C_0 satisfaisant $p[\widetilde{H}(c_1, \cdot)] = p[\widetilde{H}(c_2, \cdot)]$ pour tous $c_1, c_2 \in C$ dans le même fibre. Alors, Y_0 est une rétracte de Y par déformation.

Preuve : Pour $t \in [0,1]$ et $y \in Y$ pose $H(y,t) := p\big[\widetilde{H}(c,t)\big]$ où $c \in p^{-1}(y)$ est n'importante quel. Alors, par hypothèse l'application $H: Y \times [0,1] \to Y$ est bien définie. On va montrer que H est une homotopie de la rétracte Y_0 . Évidement $H(\cdot,0) = \operatorname{Id}_Y$. De plus, $H(Y,1) \subseteq Y_0$ et $H(y_0,1) = y_0$ pour tout $y_0 \in Y_0$. Il reste donc à montrer que H est continue. Par A.0.10 il suffit de montrer que $H\big|_{V \times [0,1]}: V \times [0,1] \to C$ est continue pour tout ouvert trivialisant $V \subseteq Y$. En fait, si $U \subseteq C$ est un feuillet de V par rapport à p, alors par définition $H\big|_{V \times [0,1]}$ possède la forme

$$H\big|_{V \times [0,1]} = p \circ \widetilde{H}\left[p\big|_{U}^{-1}(\cdot), \cdot\right]$$

et est évidement continue.

3.1.4 Lemme : Topologie des espaces étales

Soit Y un espace topologique et (C, p) un revêtement de Y. Alors :

- 1. Y est localement connexe ssi C est également.
- 2. Y est localement connexe par arcs ssi C est également.

Preuve : Suit du fait que $p: C \to Y$ est localement un homéomorphisme.

3.1.5 Definition: Relèvement des applications

Soient X, Y espaces topologiques, (C, p) un revêtement de Y et $f: X \to Y$ continue. Si $\widetilde{f}: X \to C$ est continue telle que $f = p \circ \widetilde{f}$, alors \widetilde{f} est dit un **relèvement** \widetilde{f} de f par p. On dit f la **projection** de \widetilde{f} sur Y. Si $x_0 \in X$, $c_0 \in C$ sont points tells que $\widetilde{f}(x_0) = c_0$, on note souvent $\widetilde{f}: (X, x_0) \to (C, c_0)$.

3.1.6 Lemme : Unicité des relèvements des applications

Soient X, Y espaces topologiques, X connexe et (C, p) un revêtement de Y. Soient $f_0, f_1 : X \to C$ continues tels que $p \circ f_0 = p \circ f_1$ et $f_0(x_0) = f_1(x_0)$ pour quelqu'un $x_0 \in X$. Alors $f_0 = f_1$.

^{7.} Anglais: Lift.

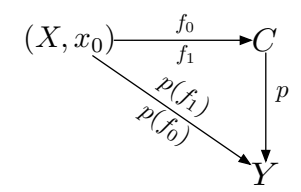


FIGURE 11: Sur l'unicité des relèvements. Si $f_1, f_2: (X, x_0) \to (C, c_0)$ relèvent la même application $X \to Y$, alors $f_1 = f_2$.

Preuve : Soit $\mathcal{X}:=\{x\in X\mid f_0(x)=f_1(x)\}$ et $x\in \mathcal{X}$ n'importante quel. Soit $V\subseteq Y$ un voisinage trivialisant de $p(f_0(x))$ et $U\subseteq C$ un feuillet de V contenant $f_0(x)$. Alors, pour $x'\in f_0^{-1}(U)\cap f_1^{-1}(U)$ on a $p\big|_U(f_0(x'))=p\big|_U(f_1(x'))$ et donc $f_0(x')=f_1(x')$ car $p\big|_U:U\to V$ est bijective. Alors

$$x \in \overbrace{f_0^{-1}(U) \cap f_1^{-1}(U)}^{\text{ouvert}} \subseteq \mathcal{X}$$

et par conséquence, \mathcal{X} est ouvert. D'autre part, soit $x \in \mathcal{X}^c := X \setminus \mathcal{X}$ et V un trivialisant de $p(f_0(x)) = p(f_1(x))$ et U_0, U_1 des feuillets de V qui contenant $f_0(x)$ et $f_1(x)$ respectivement. Alors car $f_1(x) \neq f_2(x)$, par la même argumentation comme ci-dessus, il faut $U_1 \neq U_2$ et donc $U_1 \cap U_2 = \emptyset$. Par conséquence

$$x \in f_0^{-1}(U_0) \cap f_1^{-1}(U_1) \subseteq X \setminus \mathcal{X}$$
,

donc \mathcal{X}^c est ouvert aussi. Car $x_0 \in \mathcal{X} \neq \emptyset$ et $X = \mathcal{X} \cup \mathcal{X}^c$ est connexe, alors $\mathcal{X} = X$.

3.1.7 Théorème : Relèvements des chemins

Soit Y un espace topologique et (C,p) un revêtement de Y. Soit $c_0 \in C$ et $\gamma:[a,b] \to Y$ un chemin d'origine $p(c_0)$. Alors, il existe un chemin unique $\widetilde{\gamma}:[a,b] \to C$ d'origine c_0 et tel que $\gamma=p\circ\widetilde{\gamma}$. On appelle $\widetilde{\gamma}$ le relèvement de γ par p d'origine c_0 .

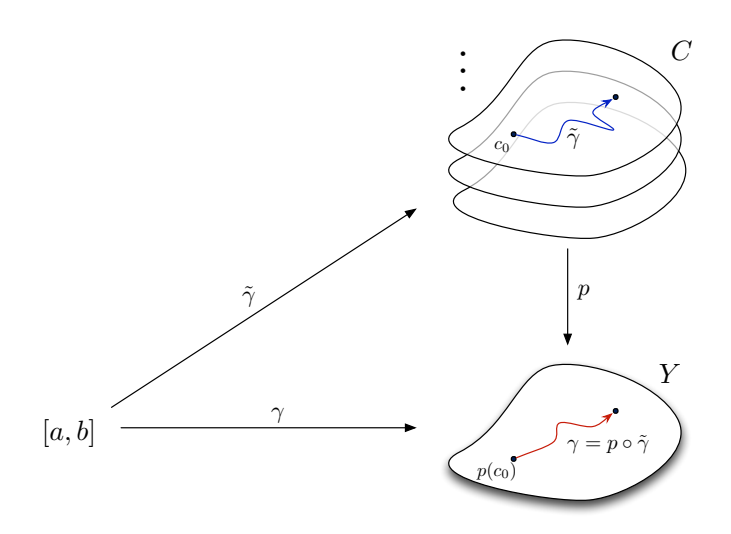


FIGURE 12: Sur le relèvement $\widetilde{\gamma}$ d'un chemin γ par un revêtement (C,p). L'origine du relèvement détermine tout le relèvement. Le diagramme commute.

Preuve : L'unicité suit de lemme 3.1.6, donc il suffit de montrer l'existence. Soit $(V^j)_{j\in J}$ un recouvrement de Y par ouverts trivialisants. Pour tout $j\in J$ soient $(U^j_i)_{i\in I^j}$ les feuillets de V_i , c.a.d.

$$p^{-1}(V^j) = \biguplus_{i \in I^j} \underbrace{U^j_i}_{\text{ouvert}} .$$

Car $\{\gamma^{-1}(V^j) \mid j \in J\}$ est un recouvrement ouvert de [a,b], d'après Lebesgue A.0.8, il existe un $\varepsilon > 0$ tel que

$$\forall s \in [a,b] : \exists j \in J : B_{\varepsilon}(s) \cap [a,b] \subseteq \gamma^{-1}(V^j)$$
.

On choisit $a = s_1 < s_2 < \dots < s_n = b$ tels que $|s_k - s_{k-1}| < \varepsilon \ \forall k$, donc pour tout $1 \le k \le n$ il y a un $j \in J$ tel que $\gamma([s_{k-1}, s_k]) \subseteq V^j$. Pose $\widetilde{\gamma}(a) := c_0$ et suppose par récurrence que $\widetilde{\gamma} : [a, s_{k-1}] \to \mathbb{R}$ est déjà donnée et en particulier satisfait $\gamma|_{[a, s_{k-1}]} = p \circ \widetilde{\gamma}|_{[a, s_{k-1}]}$.

Soit $\gamma([s_{k-1},s_k]) \subseteq V^j$ pour quelqu'un $j \in J$, alors $\widetilde{\gamma}(s_{k-1}) \in p^{-1}(V^j)$ et il existe un $i \in I^j$ tel que $\widetilde{\gamma}(s_{k-1}) \in U_i^j$. D'autre part on a $V^j = p(U_i^j)$ et l'application $p|_{U_i^j} : U_i^j \to V^j$ est un homéomorphisme. Donc on peut poser

$$\widetilde{\gamma}|_{[s_{k-1},s_k]} := p|_{U_i^j}^{-1} \circ \gamma|_{[s_{k-1},s_k]}$$
 (3.1.7.1)

Noter que (3.1.7.1) préserve la valeur dernière de $\widetilde{\gamma}(s_{k-1})$, donc $\widetilde{\gamma}\big|_{[a,s_k]}$ est définie et continue. On peut continuer comme cela jusqu'à tout $\widetilde{\gamma}\big|_{[a,b]}$ est obtenu.

Interprétation : Soit $\gamma:[0,1]\to Y$ un chemin tel que $\gamma(0)=y_0$. Alors, le fibre $p^{-1}(y_0)\subseteq C$ est en bijection avec les relèvements $\widetilde{\gamma}$ de γ via l'application $\widetilde{\gamma}\mapsto \widetilde{\gamma}(0)$.

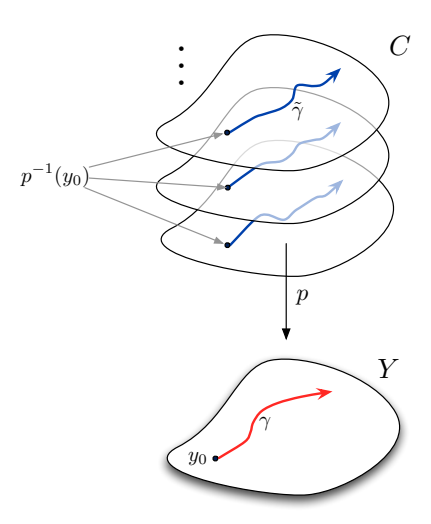


FIGURE 13: Sur la bijection entre fibres et relèvements de chemins.

3.1.8 Corollaire sur la cardinalité des fibres

Soit Y un espace topologique, (C, p) un revêtement de Y et $y_0, y_1 \in Y$ reliés. Alors, les deux fibres $p^{-1}(y_0), p^{-1}(y_1)$ ont même cardinal.

Preuve : Soit $\gamma:[0,1] \to Y$ un chemin d'origine y_0 et extrémité y_1 . Les relèvements de γ sont en bijection avec les relèvements de l'inverse $\overline{\gamma}$. D'après 3.1.7, les fibres $p^{-1}(y_0)$ et $p^{-1}(y_1)$ sont en bijection avec les relèvements de γ et $\overline{\gamma}$ respectivement, donc ont même cardinal. En fait, les points de $p^{-1}(y_0)$ sont liées un à un aux points de $p^{-1}(y_1)$ via les relèvements de γ .

3.1.9 Definition: Fibration

Soient C, X, Y espaces topologiques et $p: C \to Y$ continue, telle que :

Pour homotopie $H: X \times [0,1] \to Y$ et continue $\widetilde{h}_0: X \to C$ telle que $H(\cdot,0) = p \circ \widetilde{h}_0$, il existe continue $\widetilde{H}: X \times [0,1] \to C$ telle que $\widetilde{H}(\cdot,0) = \widetilde{h}_0$ et $H = p \circ \widetilde{H}$.

Alors, on dit que p satisfait la propriété de **relèvements des homotopies par rapport** à X. Si p satisfait cette propriété pour tout espace topologique X, on appelle p une **fibration** ou (C,p) un **espace de fibre de Hurewicz**. Pour $y \in Y$ on dit $p^{-1}(y)$ le **fibre** au dessus de p par rapport à p. On appelle l'espace p la **base** et p l'espace total de la fibration.

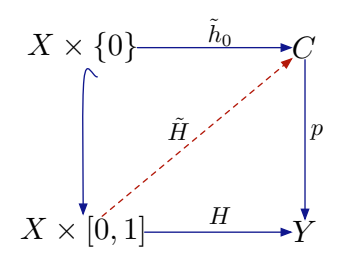


FIGURE 14: Sur la définition d'une fibration $p:C\to Y$. Si le diagramme bleu commute, alors il existe un \widetilde{H} tel que tout le diagramme commute.

Remarques

- (i) L'existence d'un relèvement \widetilde{H} dit rien sur son unicité.
- (ii) L'existence du relèvement $\widetilde{h}_0: X \to C$ de $H(0,\cdot)$ est en général indispensable pour l'existence d'un relèvement \widetilde{H} de H.

Exemples

(i) Soient Y, F espaces topologiques n'importante quels. Alors, la projection $P_Y : F \times Y \to Y$ est une fibration. En effet, si X, H et h_0 sont comme dans 3.1.9, alors le relèvement

$$\widetilde{H}: X \times [0,1] \to F \times Y \ , \ \widetilde{H}(x,t) := \left\lceil P_F \widetilde{h}_0(x), H(x,t) \right\rceil$$

satisfait les affirmations, où P_F est la projection $F \times Y \to F$.

(ii) Par théorème 3.1.11, tout revêtement est une fibration.

3.1.10 Lemme sur trivialisants et homotopies

Soient X, Y espaces topologiques, (C, p) un revêtement de Y et $H: X \times [0, 1] \to Y$ une homotopie. Alors, pour tout $x \in X$ il existe un ouvert $x \in W \subseteq X$ et valeurs $0 = t_0 < t_1 < \dots < t_n = 1$ tels que, pour tout $1 \le k \le n$ il existe un trivialisant $V \subseteq Y$ de p tel que $H(W \times [t_{k-1}, t_k]) \subseteq V$.

Preuve : Soit $(V_i)_{i \in I}$ un recouvrement de Y par trivialisants. Alors, les $U_i := H^{-1}(V_i), \ i \in I$ forment un recouvrement de $X \times [0,1]$. Par A.0.11 et remarque 3.1.1(i) on peut trouver un recouvrement $(\widetilde{U}_j)_{j \in J}$ de $X \times [0,1]$ tel que :

- Les \widetilde{U}_j sont de la forme $\widetilde{U}_j = W_j \times T_j$, où $W_i \in X, T_i \in [0,1]$ sont ouverts.
- Tout $H(U_i)$ est contient dans un trivialisant.

Soient $\pi_I: X \times [0,1] \to [0,1]$ et $\pi_X: X \times [0,1] \to X$ les projections dans [0,1] et X respectivement. Soit $x \in X$ n'importante quel et considère seulement les \widetilde{U}_j qui contient au moins un point de $\{x\} \times [0,1]$. Par A.0.8 on peut choisir $\varepsilon > 0$ tel que pour tout $t \in [0,1]$, $B_{\varepsilon}(t)$ est contient dans un $\pi_I(\widetilde{U}_j)$. En particulier, on peut trouver $0 = t_0 < t_1 < \dots < t_n = 1$ tels que $[t_{k-1}, t_k] \subseteq \pi_I(\widetilde{U}_{j_k})$ pour quelqu'un \widetilde{U}_{j_k} . Pose $W := \bigcap_{k=1}^n \pi_X(\widetilde{U}_{j_k})$, alors $W \ni x$ est ouvert et $W \times [t_{k-1}, t_k]$ est contient dans \widetilde{U}_{j_k} .

Théorème : Relèvement des homotopies 3.1.11

Soient X,Y espaces topologiques et (C,p) un revêtement de Y. Soit $H:X\times [0,1]\to Y$ une homotopie et $\widetilde{h}_0: X \to C$ continue telle que $H(\cdot,0) = p \circ \widetilde{h}_0$. Alors, il existe un relèvement unique $\widetilde{H}: X \times [0,1] \to C$ de Htel que $\widetilde{H}(\cdot,0) = \widetilde{h}_0$. En particulier, $p: C \to Y$ est une fibration.

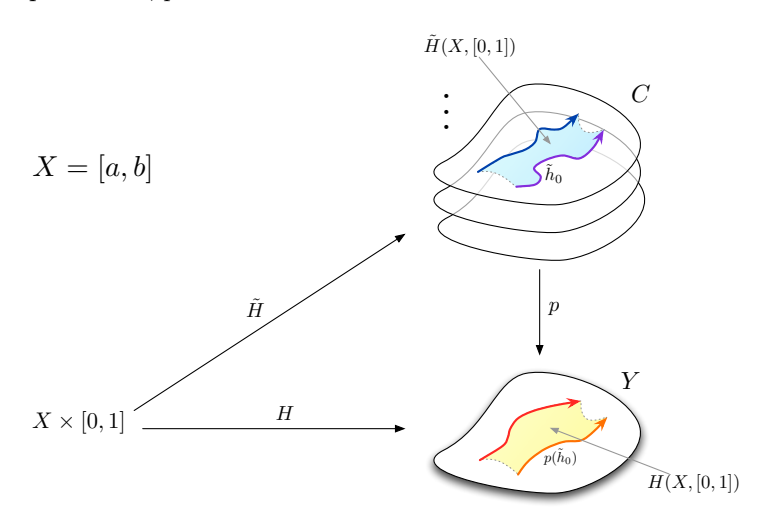


FIGURE 15: Sur les relèvements des homotopies par revêtements. Ici, montré le relèvement d'une homotopie H de chemins. Le diagramme commute.

Preuve : Unicité suit de lemme 3.1.6 car tout $\widetilde{H}(x,\cdot)$ est un relèvement du chemin $H(x,\cdot)$ qui satisfait à la condition $H(x,0) = h_0(x)$.

L'existence (sans continuité) suit de théorème 3.1.7 sur relèvements des chemins : Pour chaque $x \in X$, pose $\widetilde{H}(x,\cdot):[0,1]\to C$ comme le relèvement du chemin $H(x,\cdot):[0,1]\to Y$ qui satisfait $\widetilde{H}(x,0)=\widetilde{h}_0(x)$. Donc il reste à montrer la continuité de cette construction.

Soit $(V^j)_{j\in J}$ un recouvrement de Y par ouverts trivialisants. Pour tout $j\in J$ soient $(U^j_i)_{i\in I^j}$ les feuillets sur V_i , c.a.d.

$$p^{-1}(V^j) = \biguplus_{i \in I^j} \underbrace{U_i^j}_{\text{ouvert}} .$$

Soit $x \in X$ n'importante quel. On va démontrer que \widetilde{H} est continue sur $W_x \times [0,1]$ pour quelqu'un voisinage $W_x \subseteq X \text{ de } x.$

• Par 3.1.10 on peut trouver un voisinage $W_x \ni x$ et valeurs $0 = t_0 < t_1 < \cdots < t_n = 1$ tels que

$$\forall 1 \leq k \leq n : \exists j \in J : H(W_x, [t_{k-1}, t_k]) \subseteq V_i$$
.

- Pose $\widetilde{h}|_{W_x \times \{0\}} := \widetilde{h}_0|_{W_x}$.
- Suppose que h est donnée pour $W_x \times [0, t_{k-1}]$ et satisfait

$$p \circ \widetilde{h}\big|_{W_x \times [0, t_{k-1}]} = H\big|_{W_x \times [0, t_{k-1}]} .$$

Suit $j \in J$ tel que $H(W_x, [t_{k-1}, t_k]) \subseteq V^j$, alors $\widetilde{h}(x, t_{k-1}) \in p^{-1}(V^j)$. Soit U_i^j le feuillet de V^j qui contient $\widetilde{h}(x, t_{k-1})$. On peut suppose 8 que $\widetilde{h}(W_x \times \{t_{k-1}\}) \subseteq U_i^j$. Alors $p|_{U_i^j} : U_i^j \to V^j$ est un homéomorphisme et on peut pose

$$\widetilde{h}\big|_{W_x\times[t_{k-1},t_k]}:=p\big|_{U_i^j}^{-1}\circ H\big|_{W_x\times[t_{k-1},t_k]}\ .$$

Comme ça, on a prolongé $\widetilde{h}\big|_{W_x \times [0,t_{k-1}]}$ au $W_x \times [0,t_k]$ continûment, où le voisinage W_x est peut être plus petit que l'original.

$$H\left(W_b, [t_{k-1}, t_k]\right) \subseteq V$$

 $H\left(W_b, [t_{k-1}, t_k]\right) \subseteq V$ 8. Sinon remplace W_x par $W_x \cap \pi_X(\widetilde{h}|_{W_x \times \{t_{k-1}\}}^{-1}(U_i^j))$ où $\pi_X : X \times [0, 1] \to X$ est la projection dans X. Alors W_x est encore ouvert et contient x.

• En continuant comme ça, on construit $\widetilde{h}: W_x \times [0,1] \to C$ comme relèvement de $H|_{W_x \times [0,1]}$ qui satisfait $\widetilde{h}|_{W_x \times \{0\}} = \widetilde{h}_0|_{W_x}$.

Par 3.1.6 le relèvement $\widetilde{h}(x,\cdot)$ du chemin $H(x,\cdot)$ avec $\widetilde{h}(x,0) = \widetilde{h}_0(x)$ est unique, donc $\widetilde{H}(x,\cdot) = \widetilde{h}(x,\cdot)$ pour tout $x \in W_x$. Autrement dit $\widetilde{h}\big|_{W_x \times [0,1]} = \widetilde{H}\big|_{W_x \times [0,1]}$, donc \widetilde{H} est continue sur $W_x \times [0,1]$. Donc, on a trouvé un recouvrement ouvert $(W_x \times [0,1])_{x \in X}$ de $X \times [0,1]$ tel que $\widetilde{H}\big|_{W_x \times [0,1]}$ est toujours continue. D'après A.0.10, ça implique la continuité de $\widetilde{H}: X \times [0,1] \to Y$.

3.1.12 Corollaire : Relèvements des homotopies de chemins

Soit (C,p) un revêtement de l'espace topologique Y et $H:[a,b]\times[0,1]\to Y$ une homotopie de chemins. Soit $c_0\in C$ tel que $p(c_0)=H(a,0)$. Alors, il existe un relèvement $\widetilde{H}:[a,b]\times[0,1]\to C$ de H unique tel que $\widetilde{H}(a,0)=c_0$. Si de plus H est stricte, alors \widetilde{H} est aussi stricte.

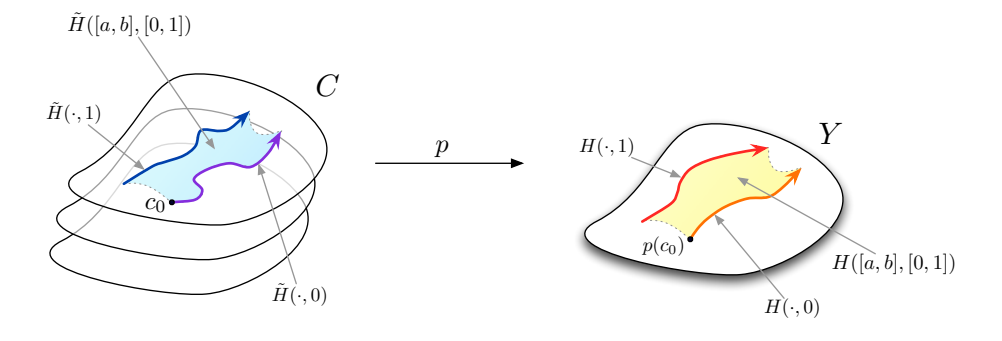


FIGURE 16: Sur les relèvements des homotopies de chemins.

Preuve : L'unicité suit de lemme 3.1.6. Pose $\widetilde{h}_0:[a,b]\to C$ comme le relèvement du chemin $H(\cdot,0):[a,b]\to Y$ qui satisfait $\widetilde{h}_0(a)=c_0$ (vois 3.1.7). Par théorème 3.1.11, il existe un relèvement $\widetilde{H}:[a,b]\times[0,1]\to C$ de H tel que $\widetilde{H}(\cdot,0)=\widetilde{h}_0$.

Soit de plus H stricte, alors le chemin $H(a,\cdot)$ est un point constant. Donc, il permet un unique relèvement $\widetilde{h}:[0,1]\to C$ qui satisfait $\widetilde{h}(0)=\widetilde{H}(a,0)$, à savoir exactement $\widetilde{H}(a,\cdot)$ et le constant $\widetilde{h}\equiv\widetilde{H}(a,0)$, donc $\widetilde{H}(a,\cdot)\equiv\widetilde{H}(a,0)$. De même pour $\widetilde{H}(b,\cdot)$. Bilan, \widetilde{H} est aussi stricte.

3.2 Action du groupe fondamental sur le fibre

3.2.1 Théorème : Revêtements comme homomorphismes injectifs

Soit Y un espace topologique, (C, p) un revêtement de Y et $c_0 \in C$. Alors :

- 1. Pour deux chemins $\widetilde{\gamma}_0, \widetilde{\gamma}_1 : [0,1] \to C$ de même origine tels que $p(\widetilde{\gamma}_0) \sim_{hs} p(\widetilde{\gamma}_1)$, il faut $\widetilde{\gamma}_0 \sim_{hs} \widetilde{\gamma}_1$.
- 2. L'homomorphisme $p_*: \Pi_1(C, c_0) \to \Pi_1(Y, p(c_0))$ induit par p et défini dans 2.3.6 est injectif.
- 3. Soit $\widetilde{\gamma}_0:[0,1]\to C$ un chemin tel que $p(\widetilde{\gamma}_0)\sim_{hs}\gamma_1$ pour un autre chemin $\gamma_1:[0,1]\to Y$ quelconque. Alors, il existe un chemin $\widetilde{\gamma}_1\in \left[\widetilde{\gamma}_0\right]_{hs}$ tel que $p(\widetilde{\gamma}_1)=\gamma_1$. Par conséquence :

$$[p(\widetilde{\gamma}_0)]_{hs} = p([\widetilde{\gamma}_0]_{hs})$$
.

Preuve:

1. Par 3.1.12 tout homotopie stricte $H:[0,1]\times[0,1]\to Y$ entre les chemins $p(\widetilde{\gamma}_0)$ et $p(\widetilde{\gamma}_1)$ se relève à une homotopie stricte $\widetilde{H}:[0,1]\times[0,1]\to C$ qui satisfait $\widetilde{H}(0,0)=\widetilde{\gamma}_0(0)$. Par unicité, le relèvement $\widetilde{H}(\cdot,0)$ de

 $p(\widetilde{\gamma}_0)$ est égal $\widetilde{\gamma}_0$. Car \widetilde{H} est stricte, on a aussi $\widetilde{H}(0,1) = \widetilde{H}(0,0) = \widetilde{\gamma}_0(0) = \widetilde{\gamma}_1(0)$. Donc par unicité on aussi $\widetilde{H}(\cdot,1) = \widetilde{\gamma}_1$. Donc, \widetilde{H} est une homotopie stricte entre $\widetilde{\gamma}_0,\widetilde{\gamma}_1$.

- 2. Suit de proposition (1).
- 3. Soit $H:[0,1]\times[0,1]\to Y$ une homotopie stricte entre $p(\widetilde{\gamma_0})$ et γ_1 . Alors d'après 3.1.12, elle se relève à une homotopie stricte $\widetilde{H}:[0,1]\times[0,1]\to C$ qui satisfait $\widetilde{H}(0,0)=\widetilde{\gamma}_0(0)$. Pose $\widetilde{\gamma}_1:=\widetilde{H}(\cdot,1)$, alors $\widetilde{\gamma}_0(0)=\widetilde{\gamma}_1(0)$ et $p(\widetilde{\gamma}_0)\sim_{hs}p(\widetilde{\gamma}_1)$. Par assertion (1) il faut $\widetilde{\gamma}_0\sim_{hs}\widetilde{\gamma}_1$.

Remarques:

- 1. Tout lacet $l:[0,1] \to C$ basé en $c_0 \in C$ est envoyé à un lacet p(l) dans Y. Mais le réciproque est généralement faux : Dans la plupart des cas, il existe lacets dans Y basés en $p(c_0)$, dont les relèves ne sont pas lacets dans C. Comme exemple, considère le revêtement $c \mapsto \exp[2\pi i \cdot c]$ de S^1 par \mathbb{R} et le chemin $\gamma(s) := \exp[2\pi i \cdot s]$, $s \in [0,1]$.
- 2. Soient $\widetilde{\gamma}_0, \widetilde{\gamma}_1 : [0,1] \to C$ chemins d'origine $c_0 \in C$ tels que leurs projections $p(\widetilde{\gamma}_0), p(\widetilde{\gamma}_1)$ sont lacets strictement homotopes basés en $p(c_0)$. Alors, d'après affirmation (2), il faut que $\widetilde{\gamma}_0 \sim_{hs} \widetilde{\gamma}_1$ et en particulier $\widetilde{\gamma}_0(1) = \widetilde{\gamma}_1(1) \in p^{-1}(p(c_0))$.
- 3. Affirmation (3) dit que, si $[\gamma]_{hs} \in \Pi_1(Y, p(c_0))$ et $[\widetilde{\gamma}]_{hs} \in \Pi_1(C, c_0)$ sont tels que $[\gamma]_{hs} = p_* [\widetilde{\gamma}]_{hs}$, on peut supposer que $\gamma = p(\widetilde{\gamma})$.

3.2.2 Definition: Action de monodromie du groupe fondamental sur fibres

Soit Y un espace topologique et (C, p) un revêtement de Y. Soit $y_0 \in Y$, $c_0 \in p^{-1}(y_0)$, $\gamma : [0, 1] \to Y$ un chemin d'origine y_0 et $[\gamma]_{hs}$ sa classe d'homotopie stricte. Soit $\widetilde{\gamma}$ son relèvement unique dans C d'origine c_0 . On note

$$c_0 \cdot [\gamma]_{hs} := \widetilde{\gamma}(1) \quad . \tag{3.2.2.1}$$

D'après remarque 3.2.1(2), (3.2.2.1) est bien défini, c'est à dire $c \cdot [\gamma]_{hs}$ ne dépend pas du représentant γ de la classe d'homotopie stricte $[\gamma]_{hs}$. Car c_0 et $c_0 \cdot [\gamma]$ sont dans le même fibre ssi $[\gamma]_{hs} \in \Pi_1(Y, y_0)$, on a défini une application

$$p^{-1}(y_0) \times \Pi_1(Y, y_0) \to p^{-1}(y_0)$$
 , $(c, [\gamma]_{hs}) \mapsto c \cdot [\gamma]_{hs}$

sur le produit du fibre $p^{-1}(y_0)$ et le groupe fondamental $\Pi_1(Y, y_0)$.

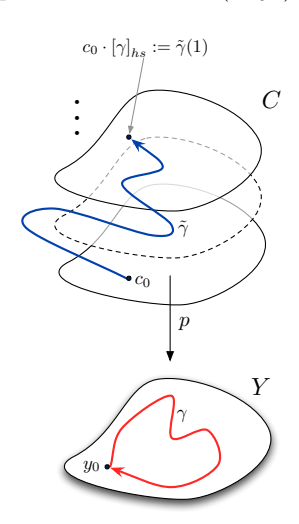


FIGURE 17: Sur la définition de l'action de monodromie de $\Pi_1(Y, y_0)$ sur le fibre $p^{-1}(y_0)$.

Propriétés:

- a) Pour tout $c \in p^{-1}(y_0)$ on a $c \cdot [y_0]_{hs} = c$. **Preuve :** Évident.
- b) Pour $[\beta]_{hs}$, $[\gamma]_{hs} \in \Pi_1(Y, y_0)$ on a

$$(c \cdot [\beta]_{hs}) \cdot [\gamma]_{hs} = c \cdot ([\beta]_{hs} \otimes [\gamma]_{hs}) .$$

Preuve : Soient $\widetilde{\beta}$, $\widetilde{\gamma}$ les relèvements de β et γ d'origines c et $\widetilde{\beta}(1) = c \cdot [\beta]_{hs}$ respectivement. Alors, $\widetilde{\beta} \otimes \widetilde{\gamma}$ est le relèvement de $\beta \otimes \gamma$ d'origine c. Donc

$$(c \cdot [\beta]_{hs}) \cdot [\gamma]_{hs} = \widetilde{\beta}(1) \cdot [\gamma]_{hs} = \widetilde{\gamma}(1) = c \cdot [\beta \otimes \gamma]_{hs} = c \cdot ([\beta]_{hs} \otimes [\gamma]_{hs}) .$$

On dit que le groupe $\Pi_1(Y, y_0)$ agit du droit sur le fibre $p^{-1}(y_0)$. Cette action est dit action de monodromie de $\Pi_1(Y, y_0)$ sur le fibre et la bijection sur le fibre $p^{-1}(y_0)$ induit par un élément $[\gamma]_{hs} \in \Pi_1(Y, y_0)$ monodromie.

3.2.3 Lemme : Propriétés de la monodromie

Soit Y un espace topologique, (C, p) un revêtement de Y et $y_0 \in Y$. On considère la monodromie de $\Pi_1(Y, y_0)$ sur le fibre $p^{-1}(y_0)$. Alors :

- 1. Soit $c_0 \in p^{-1}(y_0)$. Alors, son stabilisateur est $\operatorname{St}_{\Pi_1}(c_0) = p_* [\Pi_1(C, c_0)]$.
- 2. On suppose que C est connexe par arcs. Alors, le groupe $\Pi_1(Y, y_0)$ agit transitivement sur le fibre $p^{-1}(y_0)$.
- 3. On suppose que C est connexe par arcs. Soit $c_0 \in p^{-1}(y_0)$, alors, l'application

$$\underbrace{p_* \left[\Pi_1(C, c_0)\right] \setminus \Pi_1(Y, y_0)}_{\text{co-ensembles à droite}} \to p^{-1}(y_0) \quad , \quad p_* \left[\Pi_1(C, c_0)\right] \otimes \left[\gamma\right]_{hs} \mapsto c_0 \cdot \left[\gamma\right]_{hs}$$

est bien définie et bijective. En particulier

$$\underbrace{\left|p^{-1}(y_0)\right|}_{\text{cardinalité}} = \underbrace{\left|\Pi_1(Y, y_0) : p_* \left[\Pi_1(C, c_0)\right]\right|}_{\text{index du sous-groupe}} .$$
(3.2.3.1)

Preuve:

- 1. C'est évident que $p_*[\Pi_1(C,c_0)] \subseteq \operatorname{St}_{\Pi_1}(c_0)$. D'autre part, soit $[\gamma]_{hs} \in \operatorname{St}_{\Pi_1}(c_0)$, c'est à dire le relèvement $\widetilde{\gamma}$ du γ d'origine c_0 est un lacet. Alors, $[\widetilde{\gamma}]_{hs} \in \Pi_1(C,c_0)$ et donc $[\gamma]_{hs} = p_*[\widetilde{\gamma}]_{hs} \in p_*[\Pi_1(C,c_0)]$.
- 2. Soient $c_0, c_1 \in p^{-1}(y_0)$ et $\widetilde{\gamma} : [0, 1] \to C$ un chemin d'origine c_0 et extrémité c_1 . Alors $p(\widetilde{\gamma})$ est un lacet basé en y_0 et $c_0 \cdot [p(\widetilde{\gamma})]_{hs} = c_1$.
- 3. D'après propriété (1), $p_*[\Pi_1(C, c_0)]$ est le stabilisateur de c_0 . D'après (2), le fibre $p^{-1}(y_0)$ est l'orbite de c_0 . L'affirmation est une propriété générale d'actions de groupes.

3.2.4 Corollaire sur la cardinalité des fibres

Soit Y un espace topologique et (C, p) un revêtement de Y. Si $y_0 \in Y$, alors :

- 1. Si C est connexe par arcs, alors le cardinal du fibre $p^{-1}(y_0)$ est égal au index de $p_*[\Pi_1(C,c_0)]$ dans $\Pi_1(Y,y_0)$.
- 2. Si C est simplement connexe, alors le cardinal du fibre $p^{-1}(y_0)$ est l'ordre de $\Pi_1(Y,y_0)$.

Preuve:

- 1. Suit de 3.2.3(3).
- 2. Par 2.3.5 le groupe fondamental $\Pi_1(C, c_0)$ est trivial. L'affirmation suit de 3.2.3(3).

3.2.5 Lemme: Classes de conjugaison dans le groupe fondamental

Soit Y un espace topologique, (C, p) un revêtement de Y et $y_0 \in Y$. Alors, pour $[\gamma]_{hs} \in \Pi_1(Y, y_0)$ on a

$$p_* [\Pi_1(C, c_0 \cdot [\gamma]_{hs})] = [\gamma]_{hs}^{-1} \otimes p_* [\Pi_1(C, c_0)] \otimes [\gamma]_{hs} \quad \forall c_0 \in p^{-1}(y_0)$$
.

Preuve : Par 3.2.3(1) on sait que $p_*[\Pi_1(C, c_0 \cdot [\gamma]_{hs})]$ et le stabilisateur de $c_0 \cdot [\gamma]_{hs}$. L'affirmation est un fait général d'actions de groupes.

Remarques:

(i) On suppose que C est connexe par arcs. D'après 3.2.3(2) $\Pi_1(Y, y_0)$ agit transitivement sur le fibre $p^{-1}(y_0)$. Alors, les conjugués de $p_*[\Pi_1(C, c_0)]$ dans $\Pi_1(Y, y_0)$ sont exactement du type $p_*[\Pi_1(C, c_1)]$ avec $c_1 \in p^{-1}(y_0)$. Autrement dit, la famille

$$\{p_* [\Pi_1(C, c_0)] : c_0 \in p^{-1}(y_0)\}$$

forme une classe de conjugaison. On peut donc parler de la classe de conjugaison d'un fibre.

3.3 Automorphismes de revêtements

3.3.1 Théorème de relèvements principal

Soit Y un espace topologique et (C,p) un revêtement de Y. Soit X un espace topologique connexe par arcs et localement connexe par arcs. Soit $f:X\to Y$ continue et $x_0\in X,\ c_0\in C$ tels que $p(c_0)=f(x_0)$. Alors, le suivants sont équivalents :

- 1. Il existe un relèvement $\widetilde{f}:(X,x_0)\to(C,c_0)$ de f par p.
- 2. On a $f_*[\Pi_1(X, x_0)] \leq p_*[\Pi_1(C, c_0)]$.

En tout cas, le relèvement \tilde{f} est par 3.1.6 unique.

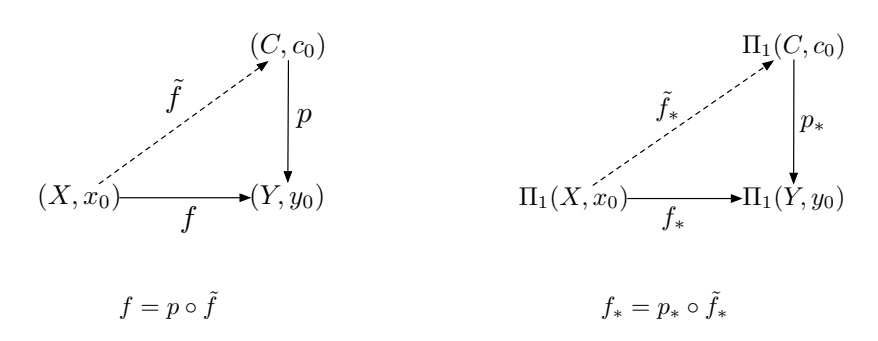


FIGURE 18: Sur les relèvements de fonctions $f: X \to Y$ par le revêtement p. Les diagrammes commutent.

Preuve:

 $1 \Rightarrow 2$: Car $f_* = p_* \circ \widetilde{f}_*$, cette direction est triviale.

 $2 \Rightarrow 1$: Car X est connexe par arcs, f(X) est également. Pour $x \in X$ soit $\gamma : [0,1] \to Y$ un chemin d'origine $f(x_0)$ et extrémité f(x) et $\widetilde{\gamma} : ([0,1],0) \to (C,c_0)$ le relèvement unique de γ qui satisfait $\widetilde{\gamma}(0) = c_0$ (vois 3.1.7). Pose $\widetilde{f}(x) := \widetilde{\gamma}(1)$. Alors, $\widetilde{f}(x)$ est bien défini :

Si $\beta:[0,1]\to Y$ est aussi un chemin entre $f(x_0)$ et f(x) avec relèvement $\widetilde{\beta}:([0,1],0)\to(C,c_0)$, alors $\lambda:=\gamma\otimes\overline{\beta}$ est un lacet basé en $f(x_0)$ et

$$[\lambda]_{h_s} \in f_* [\Pi_1(X, x_0)] \subseteq p_* [\Pi_1(C, c_0)]$$
.

Donc, par remarque 3.2.1(3) il existe un lacet $\widetilde{\lambda}:[0,1]\to C$ basé en c_0 , tel que $p(\widetilde{\lambda})=\lambda$. Pose

$$\widetilde{\gamma}'(s) := \widetilde{\lambda}\left(\frac{s}{2}\right) , \quad \widetilde{\beta}'(s) := \widetilde{\lambda}\left(\frac{2-s}{2}\right)$$

alors $\widetilde{\gamma}'$ et $\widetilde{\beta}'$ sont relèvements de γ et β qui satisfont $\widetilde{\gamma}'(0) = c_0$ et $\widetilde{\beta}'(0) = c_0$. Par unicité (vois 3.1.7) des relèvements il faut $\widetilde{\gamma} = \widetilde{\gamma}'$ et $\widetilde{\beta} = \widetilde{\beta}'$. Donc $\widetilde{\gamma}(1) = \widetilde{\lambda}(1/2) = \widetilde{\beta}(1)$.

Donc, on a construit une function $\widetilde{f}: X \to C$ telle que $f = p \circ \widetilde{f}$ et $\widetilde{f}(x_0) = c_0$.

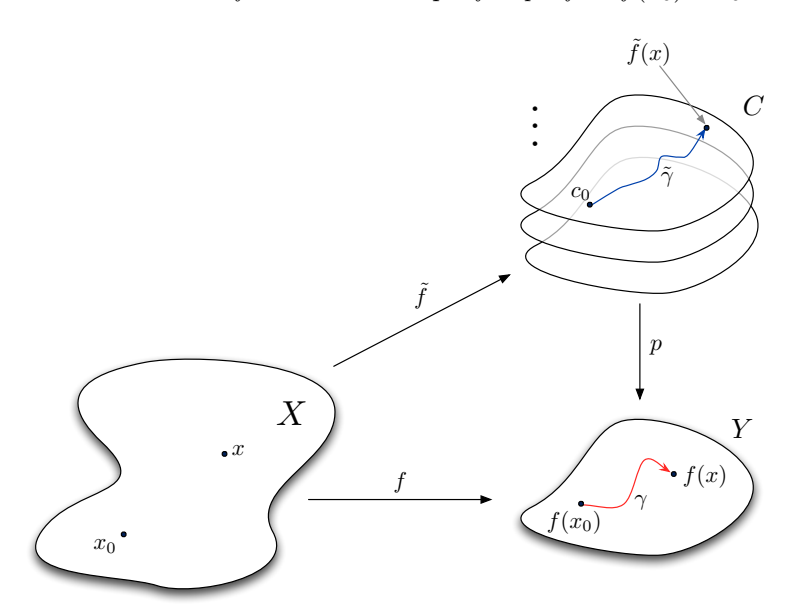


FIGURE 19: Sur la construction du relèvement $\widetilde{f}:X\to C$ de $f:X\to Y.$ Le diagramme commute.

Il reste à montrer que \widetilde{f} est vraiment continue. Car X est localement connexe par arcs, il existe pour tout $x \in X$ un voisinage W de x connexe par arcs tel que f(W) est contient dans un ouvert trivialisant V de Y⁹. Soit $U \subseteq C$ le feuillet de V contenant $\widetilde{f}(x)$, alors $p|_{U}: U \to V$ est homéomorphe. Car f(W) est connexe par arcs, il faut $\widetilde{f}(W) \subseteq U$:

Car $p|_U: U \to V$ est homéomorphe, tout chemin d'origine f(x) dans V a son unique relèvement d'origine $\widetilde{f}(x)$ dans U. Pour $x' \in W$ on peut choisit un chemin $\gamma \otimes \gamma'$ entre x_0 et x', tel que γ connecte x_0 à x et γ' connecte x à x'. Soient $\widetilde{\gamma}$ et $\widetilde{\gamma}'$ leurs relèves uniques (déterminé par $\widetilde{\gamma}(0) = c_0$), alors par construction $\widetilde{\gamma}'(0) = \widetilde{\gamma}(1) = \widetilde{f}(x)$, donc $\widetilde{\gamma}'([0,1]) \subseteq U$. Par conséquence $\widetilde{f}(x') \stackrel{\text{def}}{=} \widetilde{\gamma}(1) \in U$.

En particulier, la restriction $\widetilde{f}|_W = p|_U^{-1} \circ f|_W$ est continue. Par A.0.10, tout $\widetilde{f}: X \to C$ est continue.

3.3.2 Definition: Groupe des automorphismes d'un revêtement

Soient C, X espaces topologiques et (C, p) un revêtement de X. On note

$$\operatorname{Aut}(p) := \{ f : C \to C \text{ hom\'eomorphisme} \mid p \circ f = p \}$$

le groupe des homéomorphismes sur C (par rapport à la composition) qui préservent p à droite ¹⁰. On appelle les éléments de Aut(p) automorphismes du revêtement p.

^{9.} Choisit V un trivialisant contient f(x). Choisit un ouvert W connexe par arcs tel que $x \in W \subseteq f^{-1}(V)$. Alors $f(W) \subseteq V$.

^{10.} Anglais: Deck transformation group.

Remarques:

- (i) L'ensemble Aut(p) est vraiment un groupe.
- (ii) Soit $y_0 \in Y$. Alors, pour $c_0 \in p^{-1}(y_0)$ il faut $p(c_0) = p(f(c_0))$ et donc $f(c_0) \in p^{-1}(y_0)$. Autrement dit, tout fibre est un invariant de tout automorphisme de p. Par conséquence, automorphismes des revêtements opèrent sur fibres comme permutations. En particulier, Aut(p) agit sur tout fibre par restriction.

3.3.3 Lemme sur automorphismes des revêtements

Soit Y un espace topologique et (C, p) un revêtement de Y. On suppose que C est localement connexe. Soit $y_0 \in Y$ et $W \subseteq Y$ un voisinage de y_0 . Alors, il existe un voisinage trivialisant $V \subseteq W$ de y_0 tel que, si U_0 est le feuillet de V contenant $c_0 \in p^{-1}(y_0)$, alors $f(U_0)$ est le feuillet contenant $f(c_0)$ pour tout $f \in \text{Aut}(p)$.

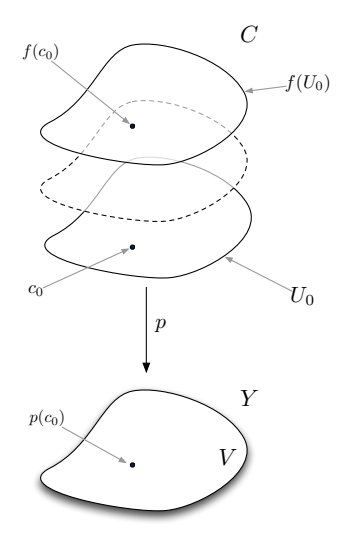


FIGURE 20: Sur les images des feuillets par automorphismes du revêtement.

Preuve : Soit $c_0 \in p^{-1}(y_0)$ quelconque et $W \subseteq Y$ un voisinage de y_0 . Car C est localement connexe, on peut choisir le trivialisant $V \subseteq W$ de y_0 tel que tout son feuillet est connexe 11 .

Soit U_0 le feuillet contenant c_0 . Soit $f \in \text{Aut}(p)$ et U_1 le feuillet de V contenant $f(c_0)$. On va montrer que $f(U_0) = U_1$.

Soit $x_0 \in U_0$ quelconque. On sait que $f(x_0)$ est dans le même fibre que x_0 , donc il existe un feuillet \widetilde{U}_1 de V qui contient $f(x_0)$. En particulier, $f(U_0) \subseteq p^{-1}(V)$. Si $f(U_0) \nsubseteq U_1$, alors $f(U_0)$ est union des ouverts non-vides disjointes, une contradiction car $f(U_0)$ est aussi connexe. Donc il faut $f(U_0) \subseteq U_1$.

D'autre part, on sait que $f^{-1} \in \operatorname{Aut}(p)$ est tel que $f^{-1}(f(c_0)) = c_0 \in U_0$. Donc, de même on trouve $f^{-1}(U_1) \subseteq U_0$.

Interprétation : Tout point $y_0 \in Y$ possède un voisinage trivialisant, tel que tout automorphisme $f \in \text{Aut}(p)$ permute les feuillets de V.

^{11.} Car tout trivialisant dans Y est homéomorphe à une ouverte dans C, il est aussi localement connexe. Soit V un voisinage de y_0 trivialisant contenant dans W. Choisit voisinage $y_0 \in \widetilde{V} \subseteq V$ connexe. Alors, \widetilde{V} est aussi un trivialisant. Car il est homéomorphe à tous ses feuillet, ils sont aussi connexes.

3.3.4 Lemme: Commutativité des automorphismes avec la monodromie

Soit Y un espace topologique et (C, p) un revêtement de Y. Soient $y_0 \in Y$, $f \in \operatorname{Aut}(p)$ et $\gamma : [0, 1] \to Y$ un chemin d'origine y_0 . Alors, on a

$$f(c_0 \cdot [\gamma]_{hs}) = f(c_0) \cdot [\gamma]_{hs} \quad \forall c_0 \in p^{-1}(y_0)$$
.

En particulier, les actions des groupes $\operatorname{Aut}(p)$ et $\Pi_1(Y, y_0)$ sur le fibre $p^{-1}(y_0)$ commutent.

Preuve : Si $\tilde{\gamma}$ est le relèvement de γ d'origine c_0 , alors $f(\tilde{\gamma})$ est le relèvement de γ d'origine $f(c_0)$.

3.3.5 Lemme: Unicité des automorphismes d'un revêtement

Soit Y un espace topologique et (C, p) un revêtement de Y. On suppose que C est connexe. Si $c_0, c_1 \in C$, alors il existe au plus un $f \in \text{Aut}(p)$ tel que $f(c_0) = c_1$.

Preuve : Soit $\widetilde{f} \in \text{Aut}(p)$ tel que $\widetilde{f}(c_0) = c_1$. Pose $(X, x_0) := (C, c_0)$ et $f := p \circ \widetilde{f}$. Alors $\widetilde{f} : (X, x_0) \to (C, c_1)$ est un relèvement de $f : (X, x_0) \to (Y, p(c_1))$ par p lui même, et par 3.1.6 unique.

Remarques:

- (i) Soit Y connexe par arcs. Alors, par 3.1.8 tous fibres du revêtement ont même cardinalité. D'après 3.3.5, Aut(p) est au plus de même cardinal que tout fibre.
- (ii) Un automorphisme du revêtement p est l'identité ssi il possède un point fixe. Autrement dit, le groupe $\operatorname{Aut}(p)$ agit librement sur C.

3.3.6 Théorème : Existence d'automorphismes de revêtements

Soit Y un espace topologique et (C_0, p_0) , (C_1, p_1) deux revêtement de Y. On suppose que C_0, C_1 sont connexes par arcs et localement connexes par arcs. Soient $c_0 \in C_0$, $c_1 \in C_1$ tels que $p_0(c_0) = p_1(c_1)$. Alors, le deux affirmations sont équivalentes :

- 1. $p_{0*}(\Pi_1(C_0, c_0)) = p_{1*}(\Pi_1(C_1, c_1)).$
- 2. Il existe un homéomorphisme $\widetilde{f}:(C_0,c_0)\to (C_1,c_1)$ tel que $p_0=p_1\circ\widetilde{f}.$

En tout cas, d'après 3.1.6 \widetilde{f} est unique.

Preuve:

 $1 \Rightarrow 2$: Pose $(X, x_0) := (C_0, c_0)$ et $f := p_0 : (X, x_0) \to (Y, p_1(c_1))$. D'après les hypothèses on a

$$f_*(\Pi_1(X,x_0)) \subseteq p_{1*}(\Pi_1(C_1,c_1))$$
.

Donc, par théorème 3.3.1 il existe un relèvement $\widetilde{f}:(X,x_0)\to (C_1,c_1)$ unique de f par p_1 , c'est à dire une $\widetilde{f}:(C_0,c_0)\to (C_1,c_1)$ continue qui satisfait $p_1\circ\widetilde{f}=p_0$. Mais de même façon, on peut trouver une $\widetilde{g}:(C_1,c_1)\to (C_0,c_0)$ continue telle que $p_0\circ\widetilde{g}=p_1$. Donc $p_1\circ\widetilde{f}\circ\widetilde{g}=p_1$ et $\widetilde{f}\circ\widetilde{g}(c_1)=c_1$. Par remarque 3.3.5(ii) il faut $\widetilde{f}\circ\widetilde{g}=\mathrm{Id}$. De même on retrouve $\widetilde{g}\circ\widetilde{f}=\mathrm{Id}$, donc \widetilde{f} est un homéomorphisme avec inverse \widetilde{g} .

 $2 \Rightarrow 1 : \text{ Par symétrie, il suffit de montrer l'inclusion } p_{0*} \left(\Pi_1(C_0, c_0)\right) \subseteq p_{1*} \left(\Pi_1(C_1, c_1)\right). \text{ Soit } [\gamma]_{hs} \in p_{0*} \left[\Pi_1(C_0, c_0)\right],$ c'est-à-dire le relèvement $\widetilde{\gamma}$ de γ par p_0 d'origine c_0 est un lacet. Alors, par les hypothèses $f(\widetilde{\gamma})$ est un (le) relèvement de γ par p_1 d'origine c_1 et évidement fermé. Donc $[\gamma]_{hs} \in p_{1*} \left[\Pi_1(C_1, c_1)\right].$

Remarque : En appliquant le théorème au cas $(C_0, p_0) = (C_1, p_1) =: (C, p)$, on trouve une condition nécessaire et suffisante pour l'existence d'un automorphisme $\tilde{f} \in \operatorname{Aut}(p)$ satisfaisant $f(c_0) = c_1$.

3.3.7 Lemme : Classes d'équivalence de revêtements

Soit Y un espace topologique et (C_0, p_0) , (C_1, p_1) revêtements de Y. On suppose que C_0 , C_1 sont connexes par arcs et localement connexes par arcs. Soient $c_0 \in C_0$, $c_1 \in C_1$ tels que $p_0(c_0) = p_1(c_1)$. Alors on a équivalence entre :

- 1. Les revêtements sont équivalents.
- 2. Les sous-groupes $p_{0*}[\Pi_1(C_0,c_0)]$ et $p_{1*}[\Pi_1(C_1,c_1)]$ sont conjugués dans $\Pi_1(Y,y)$.

Remarque : Choisir $y \in Y$ fixé. Par remarque 3.2.5(i) on peut redire l'affirmation du théorème comme :

Les revêtements p_1, p_2 sont équivalents ssi les deux classes de conjugaison

$$\left\{ p_{k*} \left[\Pi_1(C,c) \right] : c \in p_k^{-1}(y) \right\} , k = 1, 2$$

du fibre de y par rapport à p_1 et p_2 sont égales.

Donc, classes d'équivalence de revêtements (de la connexité ci-dessus) correspondent à classes de conjugaison de sous-groupes du groupe fondamental $\Pi_1(Y, y)$.

Preuve:

- 1 ⇒ 2 : Soit $h: C_0 \to C_1$ un homéomorphisme tel que $p_0 = p_1 \circ h$ et $c'_1 := h(c_0)$, alors $c'_1 \in C_1$ est aussi dans le fibre de y et $h: (C_0, c_0) \to (C_1, c'_1)$. Par théorème 3.3.6 il faut $p_{0*}[\Pi_1(C_0, c_0)] = p_{1*}[\Pi_1(C_0, c'_1)]$. Par remarque 3.2.5(i) $p_{1*}[\Pi_1(C_1, c'_1)]$ est conjugué à $p_{1*}[\Pi_1(C_1, c_1)]$.
- $2 \Rightarrow 1$: Par remarque 3.2.5(i) il existe un $c_1' \in p_1^{-1}(y)$ tel que $p_{1*}[\Pi_1(C_1, c_1')] = p_{0*}[\Pi_1(C_0, c_0)]$. Par théorème 3.3.6 il existe un homéomorphisme $h: (C_0, c_0) \to (C_1, c_1')$ tel que $p_0 = p_1 \circ h$, donc les revêtements sont équivalents.

3.3.8 Théorème : Automorphismes comme permutations des fibres

Soit Y un espace topologique et (C, p) un revêtement de Y. On suppose que C est connexe par arcs et localement connexe par arcs. Soit $y_0 \in Y$ quelconque fixé. Alors l'ensemble

$$\operatorname{Sym}_{p}(y_{0}) := \left\{ g \in \operatorname{Sym}(p^{-1}(y_{0})) : g\left(c_{0} \cdot [\gamma]_{hs}\right) = g(c_{0}) \cdot [\gamma]_{hs} \ \forall c_{0} \in p^{-1}(y_{0}), \ [\gamma]_{hs} \in \Pi_{1}(Y, y_{0}) \right\}$$

est un sous-groupe de $Sym(p^{-1}(y_0))$ et l'application

$$\operatorname{Aut}(p) \to \operatorname{Sym}_p(y_0) \ , \ f \mapsto f|_{p^{-1}(y_0)}$$
 (3.3.8.1)

un isomorphisme de groupes. Elle envoie tout automorphisme de p à une permutation du fibre $p^{-1}(y_0)$ qui commute avec l'action de monodromie.

Interprétation : Les permutations du fibre $p^{-1}(y_0)$ compatibles à l'action de $\Pi_1(Y, y_0)$, sont exactement ceux induis par les automorphismes de p.

Preuve : D'après remarque 3.3.2(ii), la restriction $f|_{p^{-1}(y_0)}$ d'un automorphisme $f \in \text{Aut}(p)$ est vraiment une bijection du fibre $p^{-1}(y_0)$ dans lui même, qui d'après 3.3.4 commute avec l'action de monodromie. Évidement l'application (3.3.8.1) est un homomorphisme de groupes. Par unicité 3.3.5 elle est injective.

D'autre part, soit $g \in \operatorname{Sym}_p(y_0)$ et $c_0 \in p^{-1}(y_0)$ quelconque. Alors, les deux points c_0 , $g(c_0)$ ont même stabilisateur par rapport à la monodromie. D'après 3.2.3(1) ça implique $p_* [\Pi_1(C,c_0)] = p_* [\Pi_1(C,g(c_0))]$ et par 3.3.6

il existe un $f \in \text{Aut}(p)$ tel que $f(c_0) = g(c_0)$. Il reste à montrer que $f|_{p^{-1}(p_0)} = g$. Soit $c_1 \in p^{-1}(y_0)$ quelconque. Par 3.2.3(2) on peut trouver un $[\gamma]_{hs} \in \Pi_1(Y, y_0)$ tel que $c_1 = c_0 \cdot [\gamma]_{hs}$. Donc

$$g(c_1) = g(c_0) \cdot [\gamma]_{hs} = f(c_0) \cdot [\gamma]_{hs} = f(c_1)$$

qui prouve l'affirmation.

Théorème: Structure du groupe des automorphismes 3.3.9

Soit Y un espace topologique et (C, p) un revêtement de Y. On suppose que C est connexe par arcs et localement connexe par arcs. Alors, pour $c_0 \in C$ on a

$$\operatorname{Aut}(p) \cong \mathcal{N}(p_* [\Pi_1(C, c_0)]) / p_* [\Pi_1(C, c_0)]$$
(3.3.9.1)

où $\mathcal{N}(\cdot)$ est le normalisateur d'un sous-group ¹² dans $\Pi_1(Y, p(c_0))$. En particulier, si $\Pi_1(C) = \{0\}$, on trouve $\operatorname{Aut}(p) \cong \Pi_1(Y)$.

Preuve : Note $N := \mathcal{N}\left(p_*\left[\Pi_1(C, c_0)\right]\right)$. Soit $\left[\gamma\right]_{hs} \in N$. Alors

$$p_* \left[\Pi_1(C, c_0 \cdot [\gamma]_{hs}) \right] \overset{3.2.3(1)}{=} \operatorname{St} \left(c_0 \cdot [\gamma]_{hs} \right) \overset{3.2.3(1)}{=} \left[\gamma \right]_{hs} \otimes \operatorname{St}(c_0) \otimes \left[\overline{\gamma} \right]_{hs}$$

$$= \left[\gamma\right]_{hs} \otimes p_* \left[\Pi_1(C, c_0)\right] \otimes \left[\overline{\gamma}\right]_{hs} \overset{\left[\gamma\right]_{hs} \in N}{=} p_* \left[\Pi_1(C, c_0)\right]$$

c'est à dire

$$p_* \left[\Pi_1(C, c_0 \cdot [\gamma]_{hs}) \right] = p_* \left[\Pi_1(C, c_0) \right] . \tag{3.3.9.2}$$

Par théorème 3.3.6 il existe une unique $f \in \operatorname{Aut}(p)$ telle que $f(c_0) = c_0 \cdot [\gamma]_{hs}$. On peut donc définir une application

$$\Phi: N \to \operatorname{Aut}(p) , [\gamma]_{hs} \mapsto \Phi([\gamma]_{hs})$$

où $\Phi([\gamma]_{hs})$ est exactement cet automorphisme de p qui envoie c_0 à $c_0 \cdot [\gamma]_{hs}$. Cette application satisfait : • Φ est un homomorphisme de groupes : Pour $[\beta]_{hs}$, $[\gamma]_{hs} \in N$, d'après 3.3.4 l'automorphisme $\Phi([\beta]_{hs}) \circ \Phi([\gamma]_{hs})$ est l'automorphisme du p qui envoie c_0 à $c_0 \cdot [\beta \otimes \gamma]_{hs}$. Autrement dit :

$$\Phi\left([\beta]_{hs}\otimes[\gamma]_{hs}\right) = \Phi\left([\beta]_{hs}\right) \circ \Phi\left([\gamma]_{hs}\right) .$$

• $\Phi: N \to \operatorname{Aut}(p)$ est surjectif: Si $f \in \operatorname{Aut}(p)$, alors il existe un chemin $\widetilde{\gamma}: [0,1] \to C$ entre c_0 et $f(c_0)$. De plus, $p(\widetilde{\gamma})$ est un lacet basé en y_0 car $f(c_0) \in p^{-1}(y_0)$ et donc $[p(\widetilde{\gamma})]_{hs} \in \Pi_1(Y, y_0)$. Si $\widetilde{\beta} \in \Pi_1(C, c_0)$, alors

$$\left[p(\widetilde{\gamma})\right]_{hs} \otimes \left[p(\widetilde{\beta})\right]_{hs} \otimes \left[p(\widetilde{\gamma})\right]_{hs}^{-1} = \left[p(\underbrace{\widetilde{\gamma} \otimes \widetilde{\beta} \otimes \overline{\widetilde{\gamma}}}_{\text{lacet basé}})\right]_{hs} \in p_* \left[\Pi_1(C, c_0)\right]$$

$$\left[p(\widetilde{\gamma})\right]_{hs}^{-1} \otimes \left[p(\widetilde{\beta})\right]_{hs} \otimes \left[p(\widetilde{\gamma})\right]_{hs} = \left[p(\underbrace{\overline{\widetilde{\gamma}} \otimes \widetilde{\beta} \otimes \widetilde{\gamma}}_{\text{lacet basé en } f(c_0)}\right]_{hs} \stackrel{pf^{-1} = p}{=} \left[p \circ \underbrace{f^{-1}(\overline{\widetilde{\gamma}} \otimes \widetilde{\beta} \otimes \widetilde{\gamma})}_{\text{lacet basé en } c_0}\right]_{hs} \in p_* \left[\Pi_1(C, c_0)\right]$$

et donc $[p(\tilde{\gamma})]_{hs} \in N$. Finalement, on trouve $\Phi([p(\tilde{\gamma})]_{hs}) = f$.

• Par remarque 3.3.5(ii) : $\ker \Phi = \operatorname{St}(c_0) \cap N = p_* [\Pi_1(C, c_0)].$

Par le premier théorème d'isomorphisme, on obtient

$$\operatorname{Aut}(p) \cong \mathcal{N}(p_* [\Pi_1(C, c_0)]) / p_* [\Pi_1(C, c_0)]$$
.

12. Si $H \subseteq G$ est un sous-ensemble du groupe G, alors $\mathcal{N}(H) := \{g \in G : gHg^{-1} = H\} = \{g \in G : gHg^{-1} \subseteq H \land g^{-1}Hg \subseteq H\}$. Se rappeler que $\mathcal{N}(H)$ est un sous-group de G et si $H \leq G$, alors $H \subseteq \mathcal{N}(H)$.

3.4 Revêtements galoisiens

3.4.1 Definition: Revêtement galoisien

Soit Y un espace topologique et (C, p) un revêtement de Y. Alors, p est dit **galoisien** (ou **régulier** ou **normal**) ssi Aut(p) agit transitivement sur tout fibre.

Remarques

(i) Si C est connexe, alors par remarque 3.3.5(ii) Aut(p) agit librement sur tout fibre. Si le revêtement est galoisien, alors Aut(p) est en bijection avec tout fibre.

3.4.2 Théorème : Caractérisation de revêtements galoisiens

Soit Y un espace topologique et (C, p) un revêtement de Y. On suppose que C est connexe par arcs et localement connexe par arcs. Soit $y_0 \in Y$ quelconque. Alors, les suivants sont équivalents :

- 1. Aut(p) agit transitivement sur le fibre $p^{-1}(y_0)$.
- 2. Aut(p) est galoisien, c'est à dire il agit transitivement sur tout fibre.
- 3. Pour tous $c_0, c_1 \in p^{-1}(y_0)$ on a $p_*[\Pi_1(C, c_0)] = p_*[\Pi_1(C, c_1)]$.
- 4. Pour $c_0 \in p^{-1}(y_0)$, le sous-groupe $p_*[\Pi_1(C,c_0)]$ est normal dans $\Pi_1(Y,y_0)$.
- 5. Si $[\gamma]_{hs} \in \Pi_1(Y, y_0)$ et $c_0 \in p^{-1}(y_0)$ sont tels que $c_0 \cdot [\gamma]_{hs} = c_0$, alors $c_1 \cdot [\gamma]_{hs} = c_1 \ \forall c_1 \in p^{-1}(y_0)$. Autrement dit, si un relèvement d'un lacet γ basé en y_0 est fermé, alors tous ses relèvements sont fermés.

Preuve:

- $1 \Rightarrow 2$: Soient $y_1 \in Y$ et $b_0, b_1 \in p^{-1}(y_1)$. Car C est connexe par arcs, Y est également. Soit $\gamma : [0,1] \to Y$ un chemin d'origine y_1 et extrémité y_0 , alors $b_{0,1} \cdot [\gamma]_{hs} \in p^{-1}(y_0)$. Soit $f \in \operatorname{Aut}(p)$ tel que $f(b_0 \cdot [\gamma]_{hs}) = b_1 \cdot [\gamma]_{hs}$, alors $f(b_0 \cdot [\gamma]_{hs}) = f(b_0) \cdot [\gamma]_{hs}$ et donc $f(b_0) = b_1$.
- $2 \Rightarrow 1$: Trivial.
- $1 \Rightarrow 3$: Suit de 3.3.6 car il existe un $f \in Aut(p)$ tel que $f(c_0) = c_1$.
- $3 \Rightarrow 1$: Soient $c_0, c_1 \in p^{-1}(y_0)$. Par théorème 3.3.6 il existe un $f \in \operatorname{Aut}(p)$ tel que $f(c_0) = c_1$.
- $3 \Rightarrow 4$: Soit $[\gamma]_{hs} \in \Pi_1(Y, y_0)$, alors

$$[\gamma]_{hs}^{-1} \otimes p_* \left[\Pi_1(C, c_0) \right] \otimes [\gamma]_{hs} \stackrel{3.2.5}{=} p_* \left[\Pi_1(C, c_0 \cdot [\gamma]_{hs}) \right] \stackrel{(3)}{=} p_* \left[\Pi_1(C, c_0) \right] ,$$

donc $p_* [\Pi_1(C, c_0)]$ est normal.

 $4 \Rightarrow 3$: D'après 3.2.3(2) le groupe $\Pi_1(Y, y_0)$ agit transitivement sur le fibre $p^{-1}(y_0)$. Soit $[\gamma]_{hs} \in \Pi_1(Y, y_0)$ tel que $c_1 = c_0 \cdot [\gamma]_{hs}$. Alors

$$p_* \left[\Pi_1(C,c_1)\right] \stackrel{3.2.5}{=} \left[\gamma\right]_{hs}^{-1} \otimes p_* \left[\Pi_1(C,c_0)\right] \otimes \left[\gamma\right]_{hs} \stackrel{\text{normalité}}{=} p_* \left[\Pi_1(C,c_0)\right] \ .$$

 $1 \Rightarrow 5$: Soit $c_0 \cdot [\gamma]_{hs} = c_0$ pour quelques $c_0 \in p^{-1}(y_0)$, $[\gamma]_{hs} \in \Pi_1(Y, y_0)$. Pour $c_1 \in p^{-1}(y_0)$ choisis $f \in \operatorname{Aut}(p)$ tel que $f(c_0) = c_1$. Alors

$$c_1 \cdot [\gamma]_{hs} = f(c_0) \cdot [\gamma]_{hs} = f(c_0 \cdot [\gamma]_{hs}) = f(c_0) = c_1$$
.

 $5 \Rightarrow 3$: Il suffit à montrer que $p_* [\Pi_1(C, c_0)] \subseteq p_* [\Pi_1(C, c_1)]$ pour tout $c_0, c_1 \in p^{-1}(y_0)$. Soit $[\gamma]_{hs} \in p_* [\Pi_1(C, c_0)]$, c'est à dire $c_0 \cdot [\gamma]_{hs} = c_0$. Par supposition ça implique $c_1 \cdot [\gamma]_{hs} = c_1$ et donc $[\gamma]_{hs} \in p_* [\Pi_1(C, c_1)]$.

Remarque: C'est intéressant de noter l'équivalence entre la transitivité de $\operatorname{Aut}(p)$ sur un concrète fibre et tous les fibres, ou de même, l'équivalence entre la normalité d'un $p_* [\Pi_1(C, c_0)]$ dans $\Pi_1(Y, p(c_0))$ et la normalité de tous sous-groupes de ce type. Cela suit du fait que pour tout $c_0, c_1 \in C$ les groupes fondamentaux $\Pi_1(C, c_0)$, $\Pi_1(C, c_1)$ sont isomorphes (vois 2.3.4) via l'isomorphisme $\Phi_{\widetilde{\gamma}}$ induit par un chemin $\widetilde{\gamma}$ connectant c_0 et c_1 . De même, $p(\widetilde{\gamma})$ induit l'isomorphisme $\Phi_{p(\widetilde{\gamma})}$ entre $\Pi_1(Y, p(c_0))$ et $\Pi_1(Y, p(c_1))$. Car p_* respecte la structure des chemins, c'est-à-dire $p_* \circ \Phi_{\widetilde{\gamma}} = \Phi_{p(\widetilde{\gamma})} \circ p_*$, la normalité $p_* [\Pi_1(C, c_0)] \subseteq \Pi_1(Y, p(c_0))$ implique la normalité $p_* [\Pi_1(C, c_1)] \subseteq \Pi_1(Y, p(c_1))$.

$$\Pi_{1}(C, c_{0}) \xrightarrow{\Phi_{\tilde{\gamma}}} \Pi_{1}(C, c_{1})$$

$$p_{*} \qquad \qquad p_{*}$$

$$\Pi_{1}(C, p(c_{0})) \xrightarrow{\text{isomorphisme}} \Pi_{1}(C, p(c_{1}))$$

FIGURE 21: Sur la caractérisation de revêtements galoisiens : Le diagramme ci-dessus commute. Donc, si $p_* [\Pi_1(C, c_0)] \leq \Pi_1(C, p(c_0))$, alors $p_* [\Pi_1(C, c_1)] \leq \Pi_1(Y, p(c_1))$.

3.4.3 Corollaire : Structure des revêtements galoisiens

Soit Y un espace topologique et (C, p) un revêtement galoisien de Y. On suppose que C est connexe par arcs et localement connexe par arcs. Soit $c_0 \in C$ et $y_0 := p(c_0)$. Alors

$$\operatorname{Aut}(p) \cong \Pi_1(Y, y_0) / p_* [\Pi_1(C, c_0)]$$
.

En particulier, par lemme 3.2.3(3) Aut(p) a le même cardinal comme les fibres $p^{-1}(y_0)$.

Preuve : Par 3.4.2 le sous-groupe $p_*[\Pi_1(C, c_0)]$ est normal dans $\Pi_1(Y, y_0)$. Donc l'affirmation suit de théorème 3.3.9.

3.4.4 Corollaire sur fibres de cardinal 2

Soit Y un espace topologique et (C, p) un revêtement de Y. On suppose que C est connexe par arcs et localement connexe par arcs. Si $y_0 \in Y$ est n'importante quel tel que le fibre $p^{-1}(y_0)$ a cardinal au maximum 2, alors p est galoisien.

Preuve : Soit $c_0 \in p^{-1}(y_0)$ quelconque. Par lemme 3.2.3(3) l'indice de $p_*[\Pi_1(C, c_0)]$ dans $\Pi_1(Y, y_0)$ est égal au cardinal de $p^{-1}(y_0)$, c'est-à-dire au maximum 2. Comme on sait, cela implique $p_*[\Pi_1(C, c_0)] \subseteq \Pi_1(Y, y_0)$, donc par théorème 3.4.2 que p est galoisien.

3.4.5 Lemme: Actions de groupes proprement discontinues

Soit C un espace topologique. Soit G un groupe qui agit sur C via homéomorphismes **proprement discontinument**, c'est à dire

$$\forall c \in C : \exists \text{ voisinage } U \ni c : \forall g \in G \setminus \{1\} : g(U) \cap U = \emptyset . \tag{3.4.5.1}$$

Alors, l'application quotient $\widehat{p}: C \to C/G$ (vois A.0.12) définie par $\widehat{p}(c) := \operatorname{Orb}_G(c) =: [c]$ est un revêtement galoisien dont les fibres sont exactement les orbites de G sur C. Si de plus C est connexe, alors son groupe des automorphismes est exactement $\operatorname{Aut}(\widehat{p}) = G$.

Preuve : Par construction de la topologie quotient, $\widehat{p}: C \to C/G$ est continue. Soit $[c] \in C/G$ et U un voisinage de $c \in C$ tel que $g(U) \cap U = \emptyset \ \forall g \in G \setminus \{1\}$ et pose $V := \widehat{p}(U)$. Alors $V \subseteq C/G$ et un ouvert qui contient [c] car

$$\widehat{p}^{-1}(V) = \widehat{p}^{-1}\left(\widehat{p}(U)\right) = \bigcup_{g \in G} \underbrace{g(U)}_{\text{ouvert}}.$$

Car $g(U) \cap f(U) = \emptyset \ \ \forall \ f \neq g \in G$ on a en fait

$$\widehat{p}^{-1}(V) = \biguplus_{g \in G} g(U)$$
.

Il reste à montrer que les ouverts $\{g(U)\}_{g\in G}$ sont des feuillets du V par rapport à \widehat{p} . Le fait que pour tout $f\neq g\in G$ les f(g(U)),g(U) sont disjoints, implique que pour tout élément $x\in g(U)$ on a $[x]\cap g(U)=\{x\}$. Alors, la restriction $\widehat{p}\big|_{g(U)}:g(U)\to V$ est bijective. Si $\widetilde{U}\subseteq g(U)$ est une ouverte, alors par les mêmes arguments comme ci-dessus son image $\widehat{p}(\widetilde{U})$ est ouvert, c'est-à-dire $(\widehat{p}\big|_{g(U)})^{-1}:V\to g(U)$ est aussi continue. Donc, $\widehat{p}\big|_{g(U)}:g(U)\to V$ est un homéomorphisme et \widehat{p} un revêtement.

Car tout $g \in G$ préserve les orbites on a $G \subseteq \operatorname{Aut}(\widehat{p})$. Comme G agit transitivement sur les orbites, c'est-à-dire les fibres, $\operatorname{Aut}(\widehat{p})$ fait également et donc \widehat{p} est galoisien. D'autre part, soit C connexe et $f \in \operatorname{Aut}(\widehat{p})$, alors pour tout $c \in C$ il faut [f(c)] = [c], c'est-à-dire il existe une $g \in G$ telle que f(c) = g(c). Par l'unicité des automorphismes des revêtements 3.3.5, il faut f = g, c'est-à-dire $\operatorname{Aut}(\widehat{p}) \subseteq G$.

3.4.6 Lemme : Discontinuité propre des automorphismes

Soit Y un espace topologique et (C, p) un revêtement de Y. On suppose que C est connexe et localement connexe. Alors, le groupe $\operatorname{Aut}(p)$ agit proprement discontinûment sur C.

Preuve : Soit $c_0 \in C$. Alors, par lemme 3.3.3 on peut choisir un voisinage V trivialisant de $p(c_0)$, tel que pour tout automorphisme $f \in \operatorname{Aut}(p)$ l'image f(U) d'un feuillet U de V est encore un feuillet de V. Soit U_0 le feuillet de V qui contient c_0 et $f \in \operatorname{Aut}(p) \setminus \{\operatorname{Id}\}$ quelconque. On sait que $f(c_0)$ est dans le même fibre comme c_0 et par 3.3.5 que l'image $f(c_0)$ est inégal à c_0 , donc le feuillet $f(U_0)$ est inégal, c'est à dire disjoint, à U_0 .

3.4.7 Théorème : Représentation de l'espace base

Soit Y un espace vectoriel et (C,p) un revêtement galoisien de Y. On suppose que C est connexe par arcs et localement connexe par arcs. Soit $\widehat{p}: C \to C/\operatorname{Aut}(p)$ comme dans lemme ¹³ 3.4.5. Alors, il existe un homéomorphisme $h: C/\operatorname{Aut}(p) \to Y$ tel que $p = h \circ \widehat{p}$.

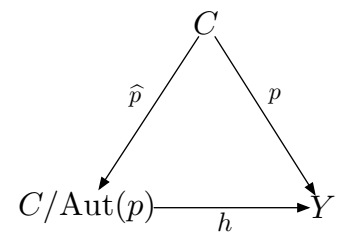


FIGURE 22: Sur la représentation d'espace base Y par l'espace quotient $C/\operatorname{Aut}(p)$. Le diagramme commute.

^{13.} Se rappeler que $\operatorname{Aut}(p)$ agit d'après remarque 3.3.5(ii) librement et d'après 3.4.6 proprement discontinûment sur C.

Interprétation : Par définition d'un revêtement galoisien, les orbites de Aut(p) sont exactement les fibres de p. Donc, le théorème réaffirme l'intuition que l'espace base Y est en principe l'espace totale modulo ses fibres avec revêtement l'application quotient.

3.4.8 Definition: Action du groupe fondamental sur l'espace total

Soit Y un espace topologique, (C,p) un revêtement galoisien de Y et $y_0 \in Y$ fixé. On suppose que C est connexe et choisit un $c_0 \in p^{-1}(y_0)$ fixé. Soit $[\gamma]_{hs} \in \Pi_1(Y,y_0)$ n'importante quel. Alors, par définition d'un revêtement galoisien et 3.3.5, il existe un unique $f_{c_0,[\gamma]_{hs}} \in \operatorname{Aut}(p)$ tel que $f_{c_0,[\gamma]_{hs}}(c_0) = c_0 \cdot [\gamma]_{hs}$. L'association $[\gamma]_{hs} \mapsto f_{c_0,[\gamma]_{hs}}$ donne une application $\Pi_1(Y,y_0) \to \operatorname{Aut}(p)$, qui est par 3.3.4 en fait un homomorphisme, c'est-à-dire

$$f_{c_0,[\gamma_1]_{hs}\otimes[\gamma_2]_{hs}} = f_{c_0,[\gamma_1]_{hs}}\otimes f_{c_0,[\gamma_2]_{hs}}$$
.

En ce façon, $\Pi_1(Y, y_0)$ agit sur C via automorphismes de p. Note que l'exact action dépende du choix de $c_0 \in p^{-1}(y_0)$. Pour $c_1 \in p^{-1}(y_0)$ on trouve

$$f_{c_1,[\gamma]_{hs}} = g \circ f_{c_0,[\gamma]_{hs}} \circ g^{-1}$$

où $g \in \operatorname{Aut}(p)$ est l'unique automorphisme de p qui envoie c_0 sur c_1 .

3.5 Le théorème de van Kampen

3.5.1 Definition: Produit libre de deux groupes

Soient G, H deux groupes. Alors, leur **produit libre** $G \star H$ est le groupe, dans lequel les groupes G et H s'injectent via morphismes $i: G \hookrightarrow G \star H$ et $j: H \hookrightarrow G \star H$ et qui satisfait la **propriété universelle** suivante :

Pour tout groupe K et morphismes des groupes $g:G\to K,\ h:H\to K$ il existe un unique morphisme $f:G\star H\to K$ tel que $g=f\circ i$ et $h=f\circ j$.

L'universalité ci-dessus définit $G \star H$ de manière unique à isomorphisme près. L'existence est montré ci-dessous dans 3.5.2.

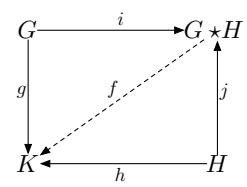


FIGURE 23: Sur la définition du produit libre $G \star H$. L'universalité de $G \star H$ se traduit à l'existence du morphisme $f: G \star H \to K$, tel que le diagramme commute.

3.5.2 Représentation du produit libre

Soient G, H deux groupes et $G \star H$ l'ensemble des **mots** formés par une alternance d'éléments de G et d'éléments de H, c'est-à-dire

$$G\star H:=\{()\}\cup\bigcup_{\substack{n,m\in\mathbb{N}\\n\leq m}}\overset{m}{\underset{i=n}{\times}}S_{i}\quad\text{ où }\quad S_{i}:=\begin{cases}G\setminus\{1\}&:i\in2\mathbb{Z}\\H\setminus\{1\}&:i\in\mathbb{Z}\setminus2\mathbb{Z}\end{cases}.$$

On définit sur $G \star H$ l'opération binaire $\circ: (G \star H) \times (G \star H) \to (G \star H)$ donnée par l'enchaînement et réduction du résultat par les règles de réduction suivantes :

- (i) Remplacer toute paire d'éléments adjacents de même groupe G ou H par leur produit dans leur groupe original.
- (ii) Annuler toutes instances des éléments neutres 1.
- (iii) Répéter les réductions (i) et (ii) jusqu'à il n'y a rien à faire.

Cette opération est associative et admet comme élément neutre le mot vide. De plus, tout mot $(s_1, ..., s_n) \in G \star H$ possède l'inverse $(s_n^{-1}, ..., s_1^{-1}) \in G \star H$. Par conséquence, la paire $(G \star H, \circ)$ possède la structure d'un groupe. Les morphismes $i: G \to G \star H, \ j: H \to G \star H$ définis par i(g) = (g) et j(h) := (h) s'appellent les **plongements** canoniques des G, H dans $G \star H$.

Ce groupe satisfait en fait l'universalité postulée dans $3.5.1: Si\ (K,\circ)$ est un groupe et $g:G\to K,\ h:G\to K$ morphismes de groupes, alors le morphisme

$$f: G \star H \to K$$
 , $f(s_1, ..., s_n) := f(s_1) \circ \cdots \circ f(s_n)$, $f(s) := \begin{cases} g(s) & : s \in G \\ h(s) & : s \in H \end{cases}$

est le (unique) morphisme qui satisfait $g = f \circ i$ et $h = f \circ j$.

Remarques:

- (i) Le produit libre est symétrique, ça veut dire $G \star H \cong H \star G$.
- (ii) Si les deux groupes G, H ne sont pas triviaux, alors $G \star H$ est toujours d'ordre infini et non-abélien.
- (iii) Si le groupe G est trivial, alors le plongement canonique $j: H \hookrightarrow G \star H$ est un isomorphisme et donc $G \star H \cong H$.

Exemple : Si G et H sont les groupes cycliques infinies engendrés par g et h, alors $G \star H$ se compose des produits alternants des puissances de x et puissances de y.

3.5.3 Definition: Pushout de morphismes

Soient $f_x: Z \to X$, $f_y: Z \to Y$ deux morphismes. Alors, leur **pushout** est un objet P avec deux morphismes $g_x: X \to P$, $g_y: Y \to P$ tels que $g_y \circ f_y = g_x \circ f_x$, et qui satisfait la propriété universelle :

Si Q est aussi un objet avec morphismes $h_x: X \to Q, \ h_y: Y \to Q$ tels que $h_x \circ f_x = h_y \circ f_y$, alors il existe un unique morphisme $\Phi: P \to Q$ tel que $h_x = \Phi \circ g_x$ et $h_y = \Phi \circ g_y$.

À cause de la propriété universelle, deux pushouts des morphismes f_x, f_y sont isomorphes.

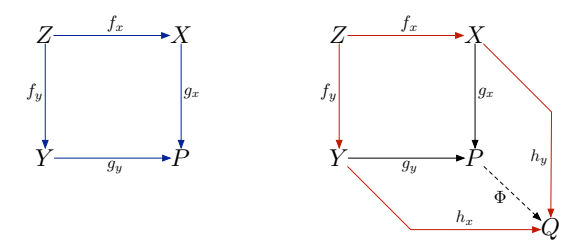


FIGURE 24: Sur la définition du pushout (P, g_x, g_y) des morphismes $f_x: Z \to X, \ f_y: Z \to Y:$ Il consiste d'un object P et morphismes $g_x: X \to P, \ g_y: Y \to P$ tels que le diagramme bleu à gauche commute, et tels que, si le sous-diagramme rouge à droite commute, alors il existe un morphisme unique $\Phi: P \to Q$ tel que le diagramme à droite commute.

3.5.4 Definition: Produit libre amalgamé

Soient F, G_1, G_2 trois groupes et $f_k : F \to G_k$, k = 1, 2 morphismes de groupes. Le **produit libre amalgamé** des G_1, G_2 le long de F est le le pushout des morphismes de groupes f_1, f_2 , c'est à dire le groupe $G_0 \star_F G_1$ avec morphismes $g_k : G_k \to G_1 \star_F G_2$, k = 1, 2 qui satisfont :

- 1. La commutativité du diagramme, c'est-à-dire $g_1 \circ f_1 = g_2 \circ f_2$.
- 2. La **propriété universelle** : Pour tout groupe H et homomorphismes $h_k: G_k \to H$ tels que $h_1 \circ f_1 = h_2 \circ f_2$, il existe un unique morphisme $h: G_1 \star_F G_1 \to H$ tel que $h_k = h \circ g_k, \ k = 1, 2$.

L'universalité ci-dessus définit $G_1 \star_F G_2$ de manière unique à isomorphisme près. L'existence est montré ci-dessous dans 3.5.5.

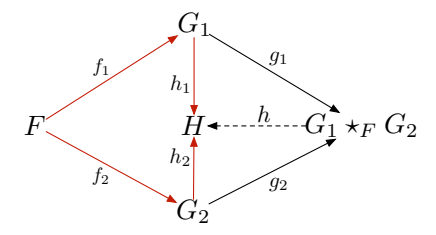


FIGURE 25: Sur l'universalité du produit libre amalgamé des G_1, G_2 le long de F. Pour tous morphismes $h_k: G_k \to H$ tels que le sous-diagramme rouge commute, il existe un unique morphisme $h: G_1 \star_F G_2 \to H$ tel que tout le diagramme commute.

Remarque:

1. Si $g_k(F) = \{0\}$, k = 1, 2, alors le produit libre amalgamé est en fait le produit libre, c'est-à-dire

$$G_1 \star_F G_2 \cong G_1 \star G_2$$
.

2. Si $G_2 = \{0\}$ alors par remarque 3.5.2(iii) $G_1 \star G_2 \cong G_1$. De plus, par définition 3.5.4, l'universalité du produit libre amalgamé se traduit à l'universalité A.0.14 de groupes quotients dans G_1 et on trouve

$$G_1 \star_F G_2 \cong G_1/\langle f_1(F) \rangle_{\text{nor}}$$
,

où $\langle f_1(F)\rangle_{\text{nor}}$ est le plus petit sous-groupe normale dans G_1 contenant l'image $f_1(F)$.

3.5.5 Lemme : Représentation du produit libre amalgamé

Soient F, G_1, G_2 trois groupes et $f_k : F \to G_k$, k = 1, 2 morphismes de groupes. On considère tout élément des G_1, G_2 plongé dans leur produit libre $(G_1 \star G_2, \circ)$ comme décrit dans 3.5.1. Soit $N := \langle \{f_1(a)f_2(a)^{-1} : a \in F\} \rangle_{\text{nor}}$ le plus petit groupe normal dans $G_1 \star G_2$ contenant $\{f_1(a)f_2(a)^{-1} : a \in F\}$. Alors

$$G_1 \star_F G_2 := G_1 \star G_2/N$$

est une représentation du produit libre amalgamée des G_1, G_2 le long de F. Les morphismes $g_k : G_k \hookrightarrow G_1 \star_F G_2$ définis par $g_k(x) := (x) \circ N$, $x \in G_k$ s'appellent les **plongements canoniques** des G_1, G_2 dans leur produit libre amalgamé **le long de** F.

Deux mots $s, t \in G_1 \star G_2$ sont égales dans $G_1 \star_F G_2$, ssi ils diffèrent à droite par un mot dans $\langle \{f_1(a)f_2(a)^{-1} : a \in F\} \rangle_{\text{nor}}$. En particulier, tout $f_1(a)f_2(a)^{-1}$ est considéré comme trivial dans $G_1 \star_F G_2$.

3.5.6 Théorème de Van Kampen

Soient U_1, U_2 sous-espaces d'un espace topologique U, tels que U est l'union des intérieurs des U_1, U_2 . On suppose que $U_1 \cap U_2 \neq \emptyset$ et $U_1, U_2, U_1 \cap U_2$ sont tous connexes par arcs.

6.6 Revêtements universels 3 REVÊTEMENTS

Soient $f_k: U_1 \cap U_2 \hookrightarrow U_k$, k=1,2 les inclusions de l'intersection $U_1 \cap U_2$ dans U_1 et U_2 . Soit $x_0 \in U_1 \cap U_2$ quelconque. Soient $f_{k*}: \Pi_1(U_1 \cap U_2, x_0) \to \Pi_1(U_k, x_0)$, k=1,2 les morphismes de groupes induits par f_1, f_2 . Alors, U est aussi connexe par arcs et son groupe fondamental est donné par le produit libre amalgamé des $\Pi_1(U_1, x_0)$ et $\Pi_1(U_2, x_0)$ le long de $\Pi_1(U_1 \cap U_2, x_0)$:

$$\Pi_1(U_1 \cup U_2, x_0) \cong \Pi_1(U_1, x_0) \star_{\Pi_1(U_1 \cap U_2, x_0)} \Pi_1(U_2, x_0)$$
.

Preuve: Voir [4].

Remarques:

(i) Si le groupe fondamental de l'intersection $U_1 \cap U_2$ est trivial (si par exemple $U_1 \cap U_2$ serait contractile), alors par remarque 3.5.4(1):

$$\Pi_1(U_1 \cup U_2) \cong \Pi_1(U_1) \star \Pi_1(U_2)$$
.

(ii) Si $\Pi_1(U_2) = \{0\}$, par remarque 3.5.4(2) on trouve

$$\Pi_1(U_1 \cup U_2) \cong \Pi_1(U_1) / \underbrace{\langle f_{1*} \left[\Pi_1(U_1 \cap U_2) \right] \rangle_{\text{nor}}}_{\text{sous-groupe normale dans } \Pi_1(U_1) \text{ engendré par } f_{1*} \left[\Pi_1(U_1 \cap U_2) \right]}$$

3.6 Revêtements universels

3.6.1 Definition: Revêtement universel

Un revêtement (C, p) d'un espace topologique est dit **universel** ssi C est connexe par arcs, localement connexe par arcs et $\Pi_1(C) = \{0\}$.

Exemples:

- (i) Le revêtement $p: \mathbb{R} \to S^1, \ p(t) := \exp\left[2\pi i t\right]$ est universel.
- (ii) L'application quotient $\mathbb{R}^2 \to \mathbb{R}^2/\mathbb{Z}^2$ est un revêtement universel du tore $T^2 := \mathbb{R}^2/\mathbb{Z}^2$.

Remarques: Soit $p: C \to Y$ universel. Alors:

- (i) Par 3.4.2 p est galoisien.
- (ii) Par 3.3.9 Aut(p) $\cong \Pi_1(Y)$. L'isomorphisme $\Phi: \Pi_1(Y) \to \text{Aut}(p)$ sous-jacent est de la structure suivante : Choisir $c_0 \in C$. Alors, pour $[\gamma]_{hs} \in \Pi_1(Y, p(c_0))$ poser $\Phi([\gamma]_{hs}) \in \text{Aut}(p)$ comme l'unique automorphisme satisfaisant $\Phi([\gamma]_{hs})(c_0) = c_0 \cdot [\gamma]_{hs}$.

3.6.2 Théorème : Caractérisation des revêtements simplement connexes

Soit Y un espace topologique et (C, p) un revêtement de Y. On suppose que C est connexe par arcs. Soit $c_0 \in C$ quelconque. Alors, il y a équivalence entre :

- 1. C est simplement connexe.
- 2. Pour deux chemins $\widetilde{\gamma}_0, \widetilde{\gamma}_1 : [0,1] \to C$ d'origine c_0 et de même extrémité, les chemins $p(\widetilde{\gamma}_0), p(\widetilde{\gamma}_1)$ dans Y sont strictement homotopes.

Preuve:

- $1 \Rightarrow 2$: Soient $\widetilde{\gamma}_0, \widetilde{\gamma}_1$ chemins dans C de même origine et extrémité. Par lemme 2.3.5, ils sont strictement homotopes. Donc, leur images $p(\widetilde{\gamma}_0), p(\widetilde{\gamma}_1)$ sont également.
- $2 \Rightarrow 1$: Soient $\widetilde{\gamma}_0, \widetilde{\gamma}_1$ chemins dans C de même origine et extrémité. Par 3.2.1(1), l'homotopie stricte des chemins $p(\widetilde{\gamma}_0), p(\widetilde{\gamma}_1)$ implique l'homotopie stricte de leurs revêtements $\widetilde{\gamma}_0, \widetilde{\gamma}_1$. Par lemme 2.3.5, cela implique que C est simplement connexe.

3.6.3 Théorème : Universalité du revêtement universel

Soit Y un espace topologique et (C, p) un revêtement de Y. On suppose que C est connexe par arcs, localement connexe par arcs et qu'il existe un revêtement universel de Y. Alors, ll y a équivalence entre :

- 1. (C, p) est universel, c'est-à-dire C est simplement connexe.
- 2. (C,p) satisfait la propriété **universelle** : Pour tout revêtement (C_0,p_0) de Y il existe un revêtement $\widetilde{p}_0:C\to C_0$ de C_0 par C tel que $p=p_0\circ\widetilde{p}$.

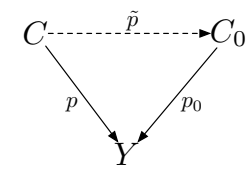


FIGURE 26: Sur l'universalité d'un revêtement universel : Il existe un revêtement $\widetilde{p}:C\to C_0$ tel que le diagramme commute.

Preuve:

 $1 \Rightarrow 2$: Soient $c \in C$, $c_0 \in C_0$ tels que $p(c) = p_0(c_0)$. Car (C, p) est universel, on a

$$p_* [\Pi_1(C,c)] = \{0\} \le p_{0*} [\Pi_1(C_0,c_0)]$$
.

Donc, par théorème 3.3.1 il existe une continue $\widetilde{p}:(C,c)\to(C_0,c_0)$ telle que $p=p_0\circ\widetilde{p}$. Il reste à montrer que (C,\widetilde{p}) est un revêtement de Y. Soit $y\in Y$ quelconque. Car p_0 et p sont revêtements de Y, on peut choisit un voisinage $V\subseteq Y$ de y trivialisant par rapport à p_0 et p soit $(U_0^i)_{i\in I}$ et $(U^j)_{j\in J}$ sont les feuillets de V par rapport à p_0 et p respectivement, on peut supposer qu'ils sont connexes par arcs p_0^{15} . Alors, tout point p_0^{15} dans un feuillet p_0^{15} est envoi par p_0^{15} dans un feuillet p_0^{15} sont connexes, tout p_0^{15} est envoi dans un seul feuillet p_0^{15} . Donc on peut écrit

$$p\big|_{U^j} = p\big|_{U^i_0} \circ \widetilde{p}\big|_{U^j}$$

et donc

$$\widetilde{p}\big|_{U^j} = p\big|_{U^i_0}^{-1} \circ p\big|_{U^j} : U^j \to U^i \; : \text{hom\'eomorphe} \; ,$$

ça veut dire $\tilde{p}: C \to C_0$ est un homéomorphisme locale, donc un revêtement.

 $2 \Rightarrow 1$: On choisit (C_0, p_0) comme revêtement universel et un revêtement $\widetilde{p}: C \to C_0$. Choisit $c \in C$ quelconque, alors par 3.2.1(2) l'homomorphisme $\widetilde{p}_*: \Pi_1(C,c) \to \Pi_1(C_0,\widetilde{p}(c))$ est injectif. Par supposition $\Pi_1(C_0,\widetilde{p}(c))$ est trivial, donc $\Pi_1(C,c)$ est aussi et (C,p) est universel.

Interprétation : Soit (C, p) un revêtement universel de Y et (C_0, p_0) un revêtement de Y quelconque. La preuve de ce théorème à montré que pour trivialisants assez petits dans Y, les feuillets du revêtement universelle (C, p) s'envoient un par un homéomorphiquement sur les feuillets de (C_0, p_0) . Autrement dit, le revêtement universelle de Y est assez grand de couvrir tout autre revêtement.

3.6.4 Lemme : Unicité du revêtement universel

Les revêtements universels d'un espace topologique forment une classe d'équivalence de revêtements.

^{14.} Prends l'intersection des deux trivialisants par rapport à p et p_0 .

^{15.} Sinon, choisir $\tilde{c} \in p^{-1}(y)$ quelconque dans le feuillet U^{j_0} et prends un voisinage $\tilde{U} \subseteq U^{j_0}$ de \tilde{c} connexe par arcs. Alors, car tous les feuillets $(U^i_0)_i, (U^j)_j$ sont homéomorphes à U^{j_0}, \tilde{U} correspond à un voisinage de y trivialisant avec feuillets connexes par arcs

Preuve : Supposer que (C_0, p_0) et (C_1, p_1) sont revêtements universels de Y. Choisir $c_0 \in C_0$ et $c_1 \in C_1$, alors $p_{0*}[\Pi_1(C_0, c_0)] = 0 = p_{1*}[\Pi_1(C_1, c_1)]$, donc par 3.3.7 les revêtements sont équivalents.

D'autre part, si un revêtement est équivalent à un revêtement universel, c'est claire qu'il est aussi un revêtement universel.

3.6.5 Lemme sur revêtements universels et chemins

Soit Y un espace topologique et (C, p) un revêtement universelle de Y. Soit $c_0 \in C$ et

$$\Gamma := \{ [\gamma]_{hs} : \gamma : [0,1] \to Y \text{ chemin d'origine } p(c_0) \}$$
.

Alors, l'application $\Phi: C \to \Gamma$ donnée par $\Phi(c) := [p(\widetilde{\gamma})]_{hs}$ où $\widetilde{\gamma}: [0,1] \to C$ est un chemin reliant c_0 et c, est bien définie et en fait bijective.

Preuve : Par 2.3.5 et le fait que $\Pi_1(C) = 0$, tous chemins dans C reliants c_0 et c sont strictement homotopes, donc $\Phi: C \to \Gamma$ est bien définie. Elle est surjective car tout chemin dans C d'origine C0 se relève par 3.1.7 à un chemin dans C0. Par 3.2.1(1) deux chemins strictement homotopes dans C1 se relève à chemins strictement homotopes dans C2 c'est-à-dire C3 est injectif.

3.6.6 Definition: Relativement simplement connexe

Soit Y un espace topologique. Alors, une sous-partie $U \subseteq Y$ est dit **relativement simplement connexe dans** Y ssi elle est connexe par arcs et l'homomorphisme $i_*: \Pi_1(U) \to \Pi_1(Y)$ induit par l'inclusion $i: U \hookrightarrow Y$ est trivial, c'est-à-dire tout lacet dans U est contractile dans Y.

L'espace Y est dit semi-localement simplement connexe ¹⁶ si tout point $y \in Y$ admet un voisinage V telle que tout lacet dans V est contractile dans Y.

Remarques:

- (i) Tout espace simplement connexe ou localement simplement connexe, est semi-localement simplement connexe. L'inverse n'est pas vrai.
- (ii) Soit Y localement connexe par arcs et semi-localement simplement connexe. Alors, pour tout point $y \in Y$ et voisinage V de y, il existe un voisinage U relativement simplement connexe tel que $x \in U \subseteq V$. En particulier, ses ouverts relativement simplement connexes forment une base de la topologie de Y.
- (iii) De même comme 2.3.5, on peut prouver qu'une partie $U \subseteq Y$ connexe par arcs est relativement simplement connexe dans Y ssi tous chemins $\gamma_0, \gamma_1 : [0,1] \to U$ de même origine et même extrémité, sont strictement homotopes dans Y.

Exemples:

- Le tore $S^1 \times S^1$ est localement simplement connexe et donc semi-localement simplement connexe. Mais il n'est pas simplement connexe.
- Le boucle d'oreille de Hawaii est un espace qui n'est pas semi-localement simplement connexe.

3.6.7 Théorème : Existence des revêtements universelles

Soit Y un espace topologique connexe par arcs et localement connexe par arcs. Alors, il y a équivalence entre :

- 1. Y possède un revêtement universel.
- 2. L'espace Y est semi-localement simplement connexe.

^{16.} Anglais: Semi-locally simply connected.

Preuve:

 $1 \Rightarrow 2$: Soit $V \subseteq Y$ une ouverte trivialisant, $U \subseteq C$ un feuillet de $V, y_0 \in V$ quelconque et $c_0 \in p^{-1}(y_0) \cap U$. Soient $i: U \hookrightarrow C$ l'inclusion de U dans C et $j: V \hookrightarrow Y$ l'inclusion de V dans Y, alors

$$j \circ p|_{U} = p \circ i : (U, c_0) \to (Y, y_0)$$

où $p|_{U}:U\to V$ est un homéomorphisme. Par conséquence

$$j_* \circ (p|_{U})_* = p_* \circ i_* : \Pi_1(U, c_0) \to \Pi_1(Y, y_0)$$
.

Car C est universel, il faut $i_*[\Pi_1(U,c_0)] = \{0\}$ et donc $j_* \circ (p|_U)_*[\Pi_1(U,c_0)] = \{0\}$. Car $p|_U : U \to V$ est un homéomorphisme, $(p|_U)_*$ est un isomorphisme, c'est-à-dire $(p|_U)_*[\Pi_1(U,c_0)] = \Pi_1(V,y_0)$. Donc $j_*[\Pi_1(V,y_0)] = \{0\}$. Autrement dit, tout lacet dans V est contractile dans Y.

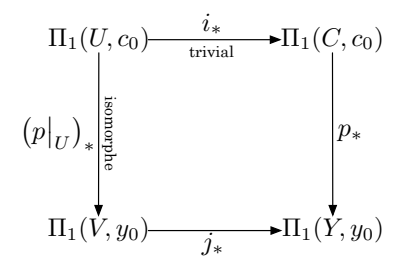


FIGURE 27: Sur la preuve de théorème 3.6.7. Le diagramme ci-dessus commute.

$2 \Rightarrow 1$: Pour $y \in Y$ pose

$$\Gamma_y := \{ [\gamma]_{hs} : \gamma : [0,1] \to Y \text{ chemin d'origine } y \}$$
.

On choisit un point $y_0 \in Y$ fixé. Pour ouverte $U \subseteq Y$ relativement simplement connexe dans Y pose

$$\Gamma_{y,U} := \{ [\gamma]_{hs} \in \Gamma_y, \ \gamma(1) \in U \} .$$

Pour chemin $[\beta]_{hs} \in \Gamma_{y_0,U}$, pose

$$U_{[\beta]_{hs}} := \left\{ [\beta \otimes \gamma]_{hs} : \gamma \in \Gamma_{\beta(1)}, \ \gamma([0,1]) \subseteq U \right\}$$

comme l'ensemble des prolongements de $[\beta]_{hs}$ dans U.

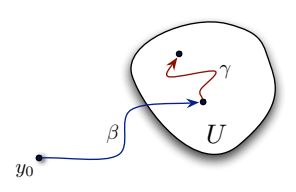


FIGURE 28: Sur la définition de $U_{[\beta]_{hs}}$.

Note que $U_{[\beta]_{hs}}$ est bien définie et satisfait ¹⁷:

- (i) $U_{[\gamma]_{hs}} = U_{[\beta]_{hs}}$ pour tout chemin $[\gamma]_{hs} \in U_{[\beta]_{hs}}$.
- (ii) Si $U_{[\beta_0]_{hs}} \cap U_{[\beta_1]_{hs}} \neq \emptyset$ pour $\beta_0, \beta_1 \in \Gamma_{y_0, U}$, alors $U_{[\beta_0]_{hs}} = U_{[\beta_1]_{hs}}$.

On munit Γ_{y_0} de la plus petite topologie ${\mathscr O}$ contient

$$\mathscr{U} := \{U_{[\beta]_{hs}} : U \subseteq Y \text{ ouverte, rel. simplement connexe, } \beta \in \Gamma_{y_0,U} \}$$
.

Alors, par A.0.13 la sous-base $\mathscr U$ est en fait une base de la topologie $\mathscr O$:

^{17.} Se rappeler les remarques sur la composition des chemins à 2.3.2.

3.6 Revêtements universels 3 REVÊTEMENTS

Car pur tout chemin $[\beta]_{hs} \in \Gamma_{y_0}$ il existe un voisinage U de $\beta(1)$ relativement simplement connexe dans Y, et donc $[\beta]_{hs} \in U_{[\beta]_{hs}}$, on sait que \mathscr{U} est un recouvrement de Γ_{y_0} . Bien sûr $\Gamma_{y_0,Y} \subseteq \mathscr{U}$ et pour

$$U^0_{[\beta_0]_{hs}}, U^1_{[\beta_1]_{hs}} \in \mathscr{U} , \quad [\gamma]_{hs} \in \left(U^0_{[\beta_0]_{hs}} \cap U^1_{[\beta_1]_{hs}}\right) =: V$$

il existe un $U_{[\beta]_{hs}} \in \mathscr{U}$ tel que $[\gamma]_{hs} \in U_{[\beta]_{hs}} \subseteq V$. Pour le voir, considères le voisinage $U^0 \cap U^1$ de $\gamma(1)$. Par remarque 3.6.6(ii) on peut trouver une ouverte U relativement simplement connexe telle que $\gamma(1) \in U \subseteq U^1 \cap U^2$. Alors, $[\gamma]_{hs} \in U_{[\gamma]_{hs}} \subseteq U^0_{[\gamma]_{hs}} \cap U^1_{[\gamma]_{hs}}$. Par remarque (i) on a en fait $U_{[\gamma]_{hs}} \subseteq U^0_{[\beta_0]_{hs}} \cap U^1_{[\beta_1]_{hs}}$.

L'application

$$p: \Gamma_{y_0} \to Y$$
 , $[\beta]_{hs} \mapsto \beta(1)$

est surjective car Y est connexe par arcs. Son image réciproque d'un point $y \in Y$ n'importante quel est exactement $\{[\beta] \in \Gamma_{y_0} : \beta(1) = y\}$. Son image réciproque d'une ouverte relativement simplement connexe $U \subseteq Y$ est donnée par l'union

$$p^{-1}(U) = \bigcup_{\substack{[\beta]_{hs} \in \Gamma_{y_0} \\ \beta(1) \in U}} U_{[\beta]_{hs}}$$

qui est par remarque (ii) une union des ouvertes disjointes (où égales). Par remarque 3.6.6(ii), tous ouverts relativement simplement connexes de Y forment une base de sa topologie, donc p est continue. Elle est aussi ouverte, car pour tout $U_{[\beta]_{hs}} \in \mathscr{U}$ on a $p\left(U_{[\beta]_{hs}}\right) = U$ parce que U est connexe par arcs. Toute

$$p|_{U_{[\beta]_{hs}}}:U_{[\beta]_{hs}}\to U$$

où $[\beta]_{hs} \in \Gamma_{y_0}, \beta(1) \in U$, est surjective car U est connexe par arcs et injective car :

Soient $[\beta \otimes \gamma_k]_{hs} \in U_{[\beta]_{hs}}$, k=1,2 tels que $\beta(\gamma_1(1))=\beta(\gamma_2(1))$. Par remarque 3.6.6(iii) et la connexité relative simple de U, on sait que γ_1 et γ_2 sont strictement homotopes. Donc $[\beta \otimes \gamma_1]_{hs} = [\beta \otimes \gamma_2]_{hs}$.

Car p est ouverte, la restriction $p|_{U_{[\beta]_{hs}}}:U_{[\beta]_{hs}}\to U$ est également, donc un homéomorphisme. Donc $p:\Gamma_{y_0}\to Y$ est un revêtement.

L'espace topologique Γ_{y_0} est connexe par arcs, car tout élément $[\beta]_{hs} \in \Gamma_{y_0}$ est relié à $[y_0]_{hs}$:

Pose

$$\widetilde{\gamma}: [0,1] \to \Gamma_{y_0} \ , \ \widetilde{\gamma} \mapsto \widetilde{\gamma}(t) := [\gamma(t)]_{hs}$$

οù

$$\gamma(t): [0,1] \to Y$$
 , $\gamma(t)(s) := \beta(ts)$

est le chemin partiel de β jusqu'à le temps t. Alors, sauf continuité, $\widetilde{\gamma}$ est un chemin entre $[y_0]_{hs}$ et $[\beta]_{hs}$. Soit $t \in [0,1]$ fixé et $U_{[\alpha]_{hs}} \in \mathscr{U}$ une ouverte contenant $[\gamma(t)]_{hs}$. Par remarque (i) on peut suppose $\alpha = \gamma(t) = (s \mapsto \beta(st))$. Car β est continue, il existe un voisinage $V_t \subseteq [0,1]$ de t et un voisinage $V_s \subseteq [0,1]$ de t tels que t0 (t1 tels que t2 (t3 c'est-à-dire (t3 c'est-à-dire (t4 c'est-à-dire (t5 c'est-à-dire (t6 c'est-à-dire (t6 c'est-à-dire (t7 c'est-à-dire (t8 c'est-à-dire (t9 c'est-à-dire (

Pour montrer la connexité simple de $(\Gamma_{y_0}, \mathcal{O})$, on va utiliser la caractérisation 3.6.2 :

Soit $\beta:[0,1]\to Y$ un chemin dans Y d'origine y_0 et $\gamma:[0,1]\to \Gamma_{y_0}$ son relèvement d'origine $[y_0]_{hs}$. On a vu ci-dessus, que ça c'est exactement le chemin

$$\widetilde{\gamma}: t \mapsto \widetilde{\gamma}(t) := [(s \mapsto \beta(ts))]_{hs}$$

car $p(\tilde{\gamma}(t)) = \beta(t)$. Autrement dit, l'extrémité du revêtement d'un chemin $\beta:[0,1] \to Y$ d'origine $[y_0]_{hs}$ est toujours sa classe d'homotopie stricte $[\beta]_{hs}$. En particulier, revêtements avec la même extrémité, correspond à chemins de la même classe. Donc par 3.6.2 Γ_{y_0} est simplement connexe.

La connexité par arcs locale de Γ_{y_0} suit par 3.1.4 du fait que, $p:\Gamma_{y_0}\to Y$ est un revêtement d'un espace localement connexe par arcs. Donc, (Γ_{y_0},p) est un revêtement universel de Y.

3.7 Fibrations 3 REVÊTEMENTS

3.7 Fibrations

On se rappelle que par définition 3.1.9 une fibration $p:C\to Y$ est une continue qui satisfait la propriété de relèvements d'homotopies par rapport à tout espace topologique.

3.7.1 Équivalence d'homotopie de fibres

Soit Y un espace topologique connexe par arcs et $p: C \to Y$ une fibration de Y. Alors, tous fibres $p^{-1}(y)$ où $y \in Y$, sont homotopiquement équivalents.

Preuve: Vois [6], théorème 6.12.

3.7.2 Théorème : Propriété principale de fibrations

Soit Y un espace topologique connexe par arcs et $p: C \to Y$ une fibration de Y. Soient $c_0 \in C$ et $y_0 := p(c_0)$. Soit $F_0 := p^{-1}(y_0)$ le fibre de y_0 et $i: F_0 \hookrightarrow C$ l'inclusion de F_0 dans C. Alors,

$$\Pi_1(F_0, c_0) \xrightarrow{i_*} \Pi_1(C, c_0) \xrightarrow{p_*} \Pi_1(Y, y_0)$$
 (3.7.2.1)

est un suite exacte courte (voir 4.1.2), c'est-à-dire image $(i_*) = \ker(p_*)$.

Interprétation : Les lacets $\widetilde{\gamma}:[0,1]\to C$ basés en c_0 tels que $p(\widetilde{\gamma})\sim_{hs}y_0$, sont exactement ceux qui sont strictement homotopes à un lacet dans le fibre F_0 .

Preuve: Vois [6], théorème 6.29.

3.7.3 Definition: Fibré localement triviale

Soient C, Y et F espaces topologiques. Une fibré localement triviale de C sur Y de fibre F est une continue surjective $p: C \to Y$ avec une collection d'homéomorphismes $\{\varphi: U \times F \to p^{-1}(U)\}$ pour ouvertes $U \subseteq Y$ tel que :

- 1. Pour toute carte φ sur une ouverte $U \subseteq Y$ on a $\pi_U = p \circ \varphi$, où $\pi_U : U \times F \to U$ est la projection sur U.
- 2. Tout point $y \in Y$ possède un voisinage sur lequel il existe une carte.
- 3. Si φ est une carte sur l'ouverte $U \subseteq Y$ et $V \subseteq U$ est ouvert, alors la restriction $\varphi|_V$ est une carte sur V.

On dit Y la base, C l'espace total et F le fibre. L'ensemble $\{(U,\varphi):\varphi$ carte de $U\}$ est dit trivialisation locale du fibré. Si de plus Y est homéomorphe à $Y\times F$, c'est-à-dire p est essentiellement la projection de $Y\times F$ sur Y, on dit le fibré trivial.

Remarque: Tout fibré localement trivial est une fibration de Y. Voir [7] pour plusieurs informations.

3.8 Exemples

3.8.1 L'espace projectif réel

Considérons l'espace projectif réel $\mathbb{R}P^n := S^n/(x \sim -x)$ munit de la topologie quotient. Alors :

- 1. L'espace projective $\mathbb{R}P^n$ est homéomorphe à B^n/\sim , où B^n est la boule unité dans \mathbb{R}^n et $x\sim -x,\ x\in\partial B^n$ est la relation d'équivalence identifiant les points antipodales sur ∂B^n .
- 2. L'application quotient $p: S^n \to \mathbb{R}P^n$, $x \mapsto \{x, -x\} =: [x]$ est un revêtement galoisien de $\mathbb{R}P^n$ par S^n .
- 3. $\mathbb{R}P^1$ est homéomorphe à S^1 .
- 4. $\Pi_1(\mathbb{R}P^1) \cong \mathbb{Z}$ et $\Pi_1(\mathbb{R}P^n) \cong \mathbb{Z}/2\mathbb{Z}$ pour $n \geq 2$.

Preuve:

1. En identifiant les points antipodals sur S^n on peut se restreindre sur l'hémisphère nord, en identifiant les points antipodals sur l'équateur frontière. Car B^n est homéomorphe au hémisphère nord de S^n par projection, l'affirmation est prouvé.

- 2. Considérons l'action du groupe $G := \mathbb{Z}/2\mathbb{Z}$ sur S^n à gauche donnée par $0 : x \mapsto x$ et $1 : x \mapsto -x$. Alors G est un sous-groupe de homéomorphismes qui agit totalement discontinuent sur S^n et induit exactement $S^n/G = \mathbb{R}P^n$. Par 3.4.5 on sait que l'application quotient $p : S^n \to \mathbb{R}P^n$ est un revêtement galoisien.
- 3. Considérons $S^1\subseteq\mathbb{C}$. L'application $\mathbb{R}\mathrm{P}^1\to S^1,\ [z]\mapsto z^2$ est un homéomorphisme.
- 4. Soit $x \in S^n$ quelconque. Par 3.2.3(3), l'indice de $p_*[\Pi_1(S^n,x)]$ dans $\Pi_1(\mathbb{R}P^n,p(x))$ est égal au cardinal du fibre, c'est-à-dire 2. Pour $n \geq 2$ on sait que S^n est simplement connexe et donc $p_*[\Pi_1(S^n,x)] \cong \{0\}$. En particulier

$$\Pi_1(\mathbb{R}P^n, p(x)) \cong \mathbb{Z}/2\mathbb{Z}$$
 , $n \ge 2$.

D'après (3) S^1 est homéomorphe à $\mathbb{R}P^1$, donc $\Pi_1(\mathbb{R}P^1) \cong \Pi_1(S^1) \cong \mathbb{Z}$.

3.8.2 Les revêtements de S^1

On considère $S^1 \hookrightarrow \mathbb{C}$ et ses classes d'équivalence de revêtements. On connait déjà les revêtements $p_{\infty} : \mathbb{R} \to S^1$ et $p_n : S^1 \to S^1$, $n \in \mathbb{N}$ définies par $p_{\infty}(t) := e^{2\pi i t}$ et $p_n(z) := z^n$. Alors :

- 1. Sous les revêtements connexes par arcs, ces sont les seules classes d'équivalence des revêtements de S^1 .
- 2. Tout revêtement de S^1 est galoisien.
- 3. $p_{\infty}: \mathbb{R} \to S^1$ est le revêtement universel de S^1 .

Preuve:

1. La preuve utilise lemme $3.3.7^{18}$. Soit $s_0 \in S^1$ n'importante quel. On sait que $\Pi_1(S^1, s_0) \cong \mathbb{Z}$, donc il existe pour tout $n \in \mathbb{N} \cup \{\infty\}$ un unique sous-groupe dans $\Pi_1(S^1, s_0)$ d'indice n. Soit (C, p) un revêtement de S^1 connexe par arcs et $c_0 \in p^{-1}(s_0)$. On sait que le sous-groupe $p_*[\Pi_1(C, c_0)] \leq \Pi_1(S^1, s_0)$ est cyclique et d'indice $n \in \mathbb{N}$ ou ∞ .

En premier cas, ce groupe est exactement $p_{n*}[\Pi_1(S^1,s_1)]$ où $s_1 \in p_n^{-1}(s_0)$. Donc, par lemme 3.3.7 les revêtements (C,p) et (S^1,p_n) sont équivalents.

En deuxième cas, le sous groupe $p_*[\Pi_1(C, c_0)]$ est le groupe trivial, donc égal à $p_{\infty*}[\Pi_1(\mathbb{R}, t_0)]$ où $t_0 \in p_{\infty}^{-1}(s_0)$. Donc, par lemme 3.3.7 les revêtements (C, p) et (\mathbb{R}, p_{∞}) sont équivalents.

- 2. Comme le groupe fondamental $\Pi_1(S^1)$ est abélien, tout son sous-groupe est normal. Par caractérisation 3.4.2(4) des revêtements galoisiens, suit l'affirmation.
- 3. Suit de définition 3.6.1, car \mathbb{R} est simplement connexe.

3.8.3 Fonctions de degré 2 sur S^1

Soit $f: S^1 \to S^1$ continue de degré 2. Alors, f possède un point fixe dans S^1 .

Preuve: On considère $S^1 = \mathbb{R}/\mathbb{Z}$. On considère le relèvement \widetilde{f} de f par le revêtement $p: \mathbb{R} \to \mathbb{R}/\mathbb{Z}, \ t \mapsto t + \mathbb{Z}$. Car f est de degré 2 il faut $\widetilde{f}(1) = \widetilde{f}(0) + 2$. En particulier, car \widetilde{f} est continue, son graphe $(x, \widetilde{f}(x))_{x \in (0,1)}$ coupe la droite $(x, x + 1)_{x \in \mathbb{R}}$ dans un $x_0 \in [0, 1)$ (voir figure 29). Cela implique $\widetilde{f}(x_0) = x_0 + 1$, c'est-à-dire $f(x_0) = p(\widetilde{f}(x_0)) = \widetilde{f}(x_0) + \mathbb{Z} = x_0 + \mathbb{Z}$.

^{18.} Note que par 3.1.4 tout revêtement de S^1 est localement connexe par arcs.

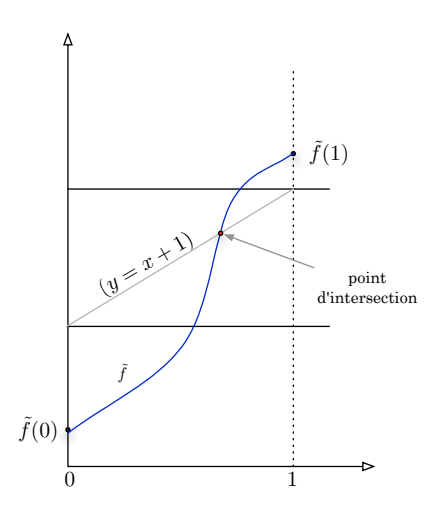


FIGURE 29: Sur la preuve de théorème 3.8.3. Le graphe de \widetilde{f} coupe le graphe de $x\mapsto (x+1)$ dans un $x_0\in [0,1)$.

3.8.4 Le lemniscate de Bernoulli

Considérons le lemniscate $\mathcal{H} := (S^1 - 1) \cup (S^1 + 1) \hookrightarrow \mathbb{C}$, montré dans figure 30.



FIGURE 30: Le lemniscate de Bernoulli.

Alors, un revêtement $p:C\to\mathcal{H}$ est donné dans figure 31. Les permutations du fibre préservant l'action de $\Pi_1(\mathcal{H})$ sont exactement les translations entiers de l'espace étalé, c'est-à-dire pour tout $y\in\mathcal{H}$ on a $\mathrm{Sym}_p(y)\cong\mathbb{Z}$ (vois 3.3.8) et donc $\mathrm{Aut}(p)\cong\mathbb{Z}$. Bien sur $\mathrm{Aut}(p)$ agit transitivement sur les fibres et donc par 3.4.3 on a

$$\operatorname{Aut}(p) \cong \Pi_1(\mathcal{H})/p_* [\Pi_1(C)]$$
.

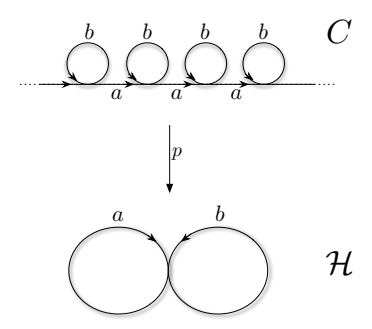


FIGURE 31: Revêtement du lemniscate.

Revêtements alternatifs sont montrés dans figure 32. Car leurs fibres sont de cardinal 2, par 3.4.4 ils sont galoisiens aussi.

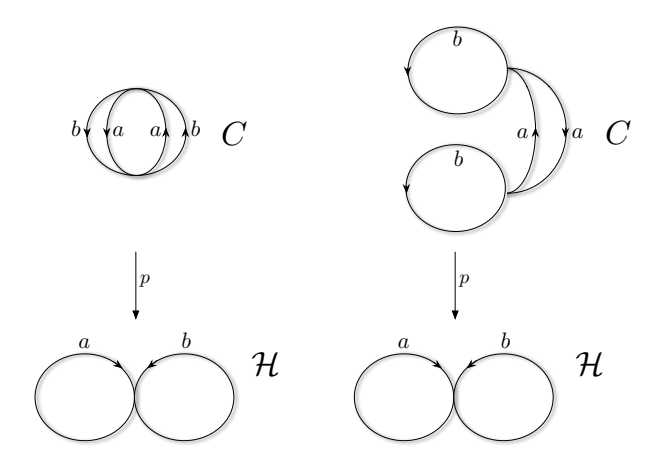


FIGURE 32: Revêtements alternatifs du lemniscate.

Finalement, par le théorème de Van Kampen 3.5.6 le groupe fondamental du lemniscate est donné par

$$\Pi_1(\mathcal{H}) \cong \Pi_1(S^1) \star \Pi_1(S^1) \cong \mathbb{Z} \star \mathbb{Z}$$
.

3.8.5 Exemple: Groupe fondamental du tore avec un trou

Considérons le tore $T := \mathbb{R}^2/\mathbb{Z}^2$ avec l'application quotient $p : \mathbb{R}^2 \to \mathbb{R}^2/\mathbb{Z}^2$ comme revêtement. Soit $x_0 \in p$ $[(0,1)^2]$ n'importante quel et $T_0 := T \setminus \{x_0\}$. Alors $\Pi_1(T_0) \cong \Pi_1(\text{lemniscate})$.

Preuve: Soit $C_0 := p^{-1}(T_0) = \mathbb{R}^2 \setminus p^{-1}(x_0)$, alors par remarque 3.1.1(iii) la restriction $p\big|_{C_0} : C_0 \to T_0$ est un revêtement de T_0 . Soit $T_{0*} := p\left(\partial[0,1]^2\right)$ et $C_{0*} := p^{-1}(T_{0*})$. Alors, C_{0*} est une rétracte de C_0 par déformation, avec une homotopie de rétracte qui envoie points du même fibre sur points du même fibre. Donc, par lemme 3.1.3 T_{0*} est aussi une rétracte par déformation dans T_0 . Par lemme 2.3.8 cela implique

$$\Pi_1(T_0) \cong \Pi_1(T_{0*})$$
.

D'autre part, c'est évident que T_{0*} est homéomorphe au lemniscate de Bernoulli.

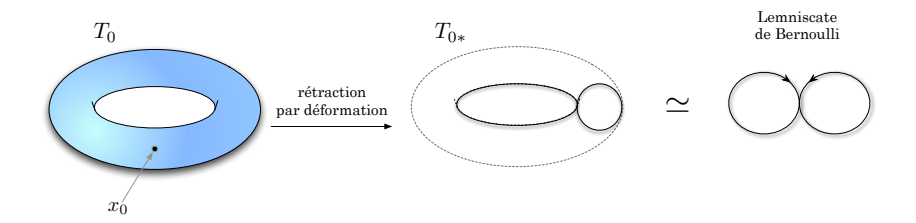


FIGURE 33: Rétraction du tore avec la trou x_0 au lemniscate de Bernoulli.

Par conséquence

$$\Pi_1(T_0) \cong \Pi_1(T_{0*}) \cong \Pi_1(\text{lemniscate}) \stackrel{3.8.4}{\cong} \mathbb{Z} \star \mathbb{Z}$$
.

Si de plus $T_{\text{in}} := p((0,1)^2)$, alors

$$\Pi_1(T_0 \cap T_{\text{in}}) \cong \Pi_1(S^1 \times (0,1)) \cong \Pi_1(S^1) \cong \mathbb{Z}$$
 (3.8.5.1)

Soit $i:(T_0\cap T_{\mathrm{inn}})\hookrightarrow T_0$ l'inclusion de $(T_0\cap T_{\mathrm{in}})$ dans T_0 . Soient a,b les générateurs de $\Pi_1(T_0)=\mathbb{Z}\star\mathbb{Z}$ correspondant aux lacets singles orthogonaux, c'est-à-dire avec relèvements dans $\mathbb{R}\times\{\mathrm{const}\}$ et $\{\mathrm{const}\}\times\mathbb{R}$. Alors l'homomorphisme $i_*:\Pi_1(T_0\cap T_{\mathrm{in}})\to\Pi_1(T_0)$ induit par i envoie le générateur 1 de $\Pi_1(T_0\cap T_{\mathrm{in}})\cong\mathbb{Z}$ (lacet au tour le trou x_0) au élément $aba^{-1}b^{-1}$ (voir figure 34).

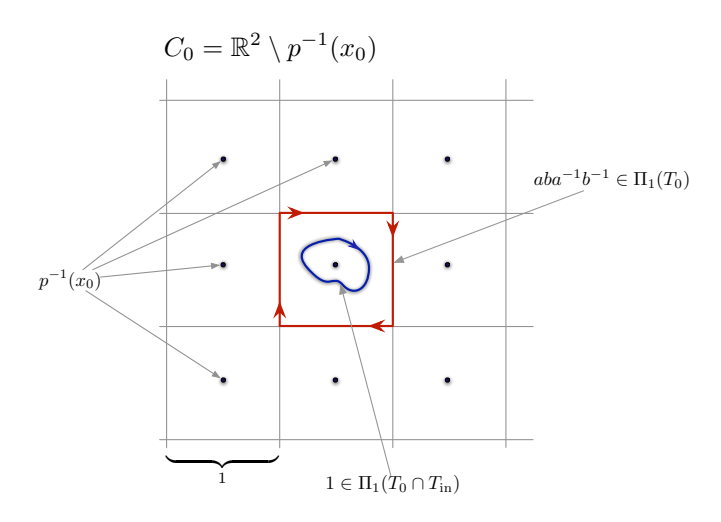


FIGURE 34: Sur le groupe fondamental de tore avec un trou x_0 . Le générateur de $\Pi_1(T_0 \cap T_{\rm in})$ est envoyé par l'inclusion $i: (T_0 \cap T_{\rm in}) \hookrightarrow T_0$ à $aba^{-1}b^{-1}$. Montrés sont en fait les relèvements des lacets par p.

Noter que par van Kampen 3.5.6 remarque (ii), on a

$$\mathbb{Z} \times \mathbb{Z} \stackrel{2.4.6}{=} \Pi_1(T) = \Pi_1(T_0 \cup T_{\text{in}}) \stackrel{3.5.6(ii)}{\cong} \Pi_1(T_0) / \langle i_* [\Pi_1(T_0 \cap T_{\text{in}})] \rangle_{\text{nor}}$$

$$\stackrel{(3.8.5.1)}{=} \Pi_1(T_0) / \langle i_*(\langle 1 \rangle) \rangle_{\text{nor}} = \Pi_1(T_0) / \langle aba^{-1}b^{-1} \rangle_{\text{nor}} .$$

3.8.6 Théorème de la boule chevelue

Il n'existe pas de champ de vecteurs continu sur S^2 non-nul partout.

Preuve: On va montrer l'affirmation en plusieurs étapes.

Proposition : Le groupe orthogonal spécial $SO_3(\mathbb{R})$ est homéomorphe à l'espace projectif $\mathbb{R}P^3$.

Preuve: Par 3.8.1(1) il suffit de montrer l'homéomorphie entre $SO_3(\mathbb{R})$ et $B^3/\sim=\mathbb{R}P^3$ où $x\sim -x$ pour $x\in\partial B^n$. Pour $x\in B^3$ pose $M(x)\in SO_3(\mathbb{R})$ telle que M est la rotation au tour l'axe orientée x par l'angle $\pi\cdot\|x\|$ si $x\neq 0$ et $M(0):=\mathrm{Id}$. Note que si $x\in\partial B^n$ on a M(x)=M(-x), c'est-à-dire l'application $B^3/\sim\to SO_3(\mathbb{R}),\ x\mapsto M(x)$ est bien définie. Elle est continue, ouverte injective et en fait surjective, donc un homéomorphisme.

Par 3.8.1(4) cela implique

$$\Pi_1(SO_3(\mathbb{R})) \cong \Pi_1(\mathbb{R}P^3) \cong \mathbb{Z}/2\mathbb{Z}$$
 (3.8.6.1)

Supposer que $V: S^2 \to TS^2 \hookrightarrow \mathbb{R}^3$ est un champ de vecteurs sur S^2 non-nul partout. Alors, l'espace $S^2 \times SO_2(\mathbb{R})$ est homéomorphe à $SO_3(\mathbb{R})$.

Preuve : Par normalisation on peut supposer que ||V|| = 1. On définit la continue injective $\sigma: S^2 \to SO_3(\mathbb{R})$ comme

$$\sigma: x \mapsto \begin{pmatrix} | & | & | \\ V(x) & x \times V(x) & x \\ | & | & | \end{pmatrix}$$

et la continue surjective $\tau: SO_3(\mathbb{R}) \to S^2$ comme $\tau: M \mapsto \nu$, où

$$\nu := \left(\begin{array}{c} 0\\0\\1 \end{array}\right) \in S^2$$

est le pole nord. Alors, $\sigma(x)$ est pour $x \in S^2$ une matrice de $SO_3(\mathbb{R})$ qui envoie le pole nord ν sur x, c'est-à-dire $\tau \circ \sigma = \mathrm{Id}_{S^2}$. De cela on déduit que l'application

$$f: S^2 \times SO_2(\mathbb{R}) \to SO_3(\mathbb{R})$$
 , $f: (x, A) \mapsto \sigma(x) \begin{pmatrix} A & 0 \\ 0 & 1 \end{pmatrix}$

est continue, bijective avec l'inverse

$$f^{-1}: M \mapsto \left(\tau(M), \left[\sigma\left(\tau(M)\right)\right]^{-1} M\right), M \in SO_3(\mathbb{R})$$

En fait si $M \in SO_3(\mathbb{R})$, alors $\sigma(\tau(M))$ est une matrice de $SO_3(\mathbb{R})$ qui envoie ν sur $M\nu$. Donc $[\sigma(\tau(M))]^{-1}M$ préserve ν , c'est-à-dire est de la forme $\begin{pmatrix} A & 0 \\ 0 & 1 \end{pmatrix}$ avec $A \in SO_2(\mathbb{R})$. Évidement $f\left(\tau(M), [\sigma(\tau(M))]^{-1}M\right) = M$.

Cela implique

$$\Pi_{1}(SO(3)) \cong \Pi_{1}(S^{2} \times SO(2)) \cong \underbrace{\Pi_{1}(S^{2})}_{\{0\}} \times \underbrace{\Pi_{1}(SO(2))}_{\cong \mathbb{Z}} \cong \mathbb{Z} ,$$

$$\underbrace{\Pi_{1}(SO(3))}_{\{0\}} \cong \mathbb{Z} ,$$

$$\underbrace{\Pi_{1}(SO(2))}_{\cong \mathbb{Z}} \cong \mathbb{Z} ,$$

une contradiction à (3.8.6.1).

4 La cohomologie de de Rham

4.1 Complexes de cochaînes

4.1.1 Definition: Complexe de cochaînes

Un complexe de cochaînes $(M_i, f_i)_{i \in \mathbb{Z}}$ est la donnée d'une suite de groupes (modules) ..., M_i, M_{i+1} , .. et morphismes de groupes (modules) $f_i : M_i \to M_{i+1}$, appelés **opérateurs de cobord** ¹⁹, tels que $f_i(M_i) \subseteq \ker(f_{i+1})$, c'est-à-dire $f_{i+1} \circ f_i \equiv 0$ pour tout $i \in \mathbb{Z}$. On note

$$\dots M_i \xrightarrow{f_i} M_{i+1} \xrightarrow{f_{i+1}} M_{i+2} \longrightarrow \dots$$

Les éléments des M_i s'appellent cochaînes 20 . Les éléments du noyau $\ker(f_i)$ s'appellent des cocycles 21 , les éléments de l'image $f_i(M_i)$ s'appellent des cobords 22 . Donc, tout cobord est un cocycle. Les groupes (modules) de cohomologie du complexe $(M_i, f_i)_{i \in \mathbb{Z}}$ sont 23

$$H^i(M) := \ker(f_i) / \operatorname{image}(f_{i-1}) , i \in \mathbb{Z} .$$

Un complexe de cochaînes **borné** 24 , est un complexe de cochaînes dont presque tous les groupes (modules) sont triviaux. On note

$$0 \longrightarrow M_1 \xrightarrow{f_1} M_2 \xrightarrow{f_2} \dots \xrightarrow{f_{n-1}} M_n \longrightarrow 0 . \tag{4.1.1.1}$$

4.1.2 Definition: Suite exacte

Une **suite exacte** est un complexe de cochaînes $(M_i, f_i)_{i \in \mathbb{Z}}$ tel que $f_i(M_i) = \ker(f_{i+1})$. Souvent on considère des suites exactes bornées, notées comme dans (4.1.1.1). En particulier $\ker(f_1) = \{0\}$ et $f_{n-1}(M_{n-1}) = M_n$. On dit une suite

$$M_1 \xrightarrow{f_1} M_2 \xrightarrow{f_2} \dots \xrightarrow{f_{n-1}} M_n$$
.

des groupes M_i et morphismes f_i exacte courte si $\ker(f_{i+1}) = \operatorname{image}(f_i)$ pour i = 1, ..., n-2.

4.1.3 Formule de sommation des dimensions pour suites exactes

Soient $V_1,..,V_n$ K-espaces vectoriels de dimension finie et

$$0 \longrightarrow V_1 \stackrel{f_1}{\longrightarrow} V_2 \stackrel{f_2}{\longrightarrow} \dots \stackrel{f_{n-1}}{\longrightarrow} V_n \longrightarrow 0$$

une suite exacte de morphismes K-linéaires. Alors

$$\sum_{i=1}^{n} (-1)^i \cdot \dim V_i = 0 .$$

Preuve : On sait que dim $V_i = \dim \ker(f_i) + \dim \operatorname{image}(f_i)$ pour $i \in \{1,..,n\}$ où $f_n : V_n \to \{0\}$ soit le morphisme triviale. Donc

$$\sum_{i=1}^{n} (-1)^{i} \cdot \dim V_{i} = -\underbrace{\dim \ker(f_{1})}_{0} - \underbrace{\dim \operatorname{image}(f_{1})}_{0} + \cdots + \underbrace{(-1)^{n} \operatorname{dim} \ker(f_{n})}_{0} + (-1)^{n} \underbrace{\dim \operatorname{image}(f_{n})}_{0} = 0 .$$

Cela complète la preuve.

^{19.} Anglais: Boundary operators.

^{20.} Anglais: Cochain.

^{21.} Anglais: Cocycles.

^{22.} Anglais: Coboundaries

^{23.} On suppose que toute image (f_{i-1}) est normale dans $\ker(f_i)$.

^{24.} Bounded cochain complex.

Remarques

(i) Soit

$$M_1 \longrightarrow M_2 \longrightarrow M_3$$

une suite exacte courte de morphismes d'espaces vectoriels. Si M_1 et M_3 sont de dimension finie, alors M_2 est également.

4.1.4 Lemme des cinq

Soient $A_1 \xrightarrow{\alpha_1} \dots \xrightarrow{\alpha_4} A_5$ et $B_1 \xrightarrow{\beta_1} \dots \xrightarrow{\beta_4} B_5$ suites exactes courtes de groupes et $\Phi_i: A_i \to B_i, i = 1,...,5$ morphismes de groupes tels que le diagramme 35 ci-dessous commute. On suppose que Φ_2 et Φ_4 sont isomorphismes, Φ_1 un épimorphisme et Φ_5 un monomorphisme. Alors, Φ_3 est un isomorphisme.

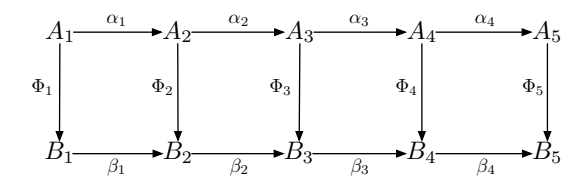


FIGURE 35: Sur le lemme de cinq. Le diagramme commute.

4.1.5 Definition: Application de cochaînes

Une **application de cochaînes** entre deux complexes de cochaînes $(M_i, f_i)_{i \in \mathbb{Z}}$, $(\widetilde{M}_i, \widetilde{f}_i)_{i \in \mathbb{Z}}$ est une suite $(\Phi_i)_{i \in \mathbb{Z}}$ de morphismes $\Phi_i : M_i \to \widetilde{M}_i$ qui est *compatible* avec les opérateurs de cobord, c'est-à-dire $\widetilde{f}_i \circ \Phi_i = \Phi_{i+1} \circ f_i$ pour tout $i \in \mathbb{Z}$. On écrit souvent $(\Phi_i)_i : (M_i, f_i)_i \to (\widetilde{M}_i, \widetilde{f}_i)_i$ ou même $\Phi : (M, f) \to (\widetilde{M}, \widetilde{f})$.

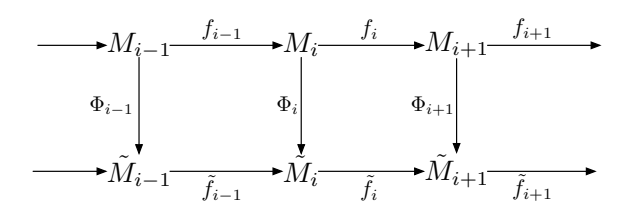


FIGURE 36: Sur la définition d'applications de cochaînes. Le diagramme commute.

Noter que tout Φ_i envoie cobords à cobords et cocycles à cocycles. De plus, application de cochaînes $(\Phi_i)_i$: $(M_i, f_i)_i \to (\widetilde{M}_i, \widetilde{f}_i)_i$ induit naturellement une famille de morphismes $\Phi_i : H^i(M) \to H^i(\widetilde{M})$ donnée par

$$\Phi_i : [x] \mapsto [\Phi_i(x)]$$
 , $[x] \in \ker(f_i) / \operatorname{image}(f_{i-1})$, $i \in \mathbb{Z}$.

Si tout $\Phi_i: M_i \to \widetilde{M}_i$ est un isomorphisme, alors le morphismes induits $H^i(M) \to H^i(\widetilde{M})$ le sont également.

Preuve : On va montrer que $\Phi_i: H^i(M_i) \to H^i(\widetilde{M}_i)$ est bien définie. Note que si $x \in \ker(f_i)$, alors $\widetilde{f}_i\Phi_i x = \Phi_{i+1}f_i x = 0$, c'est-à-dire $\Phi_i(x) \in \ker(f_i)$. De plus, si $y \in \ker(f_i)$ est tel que [x] = [y] dans $\ker(f_i)/\operatorname{image}(f_{i-1})$, alors $x - y = f_{i-1}(z)$ pour un $z \in M_{i-1}$. Donc $\Phi_i x - \Phi_i y = \Phi_i f_{i-1} z = \widetilde{f}_{i-1}\Phi_{i-1}z$, c'est-à-dire $[\Phi_i x] = [\Phi_i y]$ dans $\ker(\widetilde{f}_i)/\operatorname{image}(\widetilde{f}_{i-1})$. Évidement $\Phi_i: H^i(M) \to H^i(\widetilde{M})$ est un morphisme.

Supposons maintenant que tout Φ_i est isomorphe. Soit $x \in \ker(f_i)$ tel que $[\Phi_i x] = 0$, alors il existe un $z \in M_{i-1}$ tel que $\widetilde{f}_{i-1}z = \Phi_i x$. Comme Φ_{i-1} est surjectif, il existe un $w \in M_{i-1}$ tel que $z = \Phi_{i-1} w$, et donc $\Phi_i x = \widetilde{f}_{i-1}\Phi_{i-1}w = \Phi_i f_{i-1}w$. Comme Φ_i est injectif, on en déduit $x = f_{i-1}w \in \operatorname{image}(f_i)$, c'est-à-dire [x] = 0 et

 $\Phi_i: H^i(M) \to H^i(\widetilde{M})$ est injectif. Soit d'autre part $y \in \ker(\widetilde{f_i})$ quelconque. Alors, comme Φ_i est surjectif il existe un $x \in M_i$ tel que $\Phi_i x = y$. Donc $0 = \widetilde{f_i} y = \widetilde{f_i} \Phi_i x = \Phi_{i+1} f_i x$ et comme Φ_{i+1} est injectif, $f_i x = 0$. Donc $x \in \ker(f_i)$ et $\Phi_i: H^i(M) \to H^i(\widetilde{M})$ est surjectif.

Remarque : Souvent on omet les indices des M_i, f_i, Φ_i et écrit $\Phi: M_i \to \widetilde{M}_i$ où même $\Phi: M \to \widetilde{M}$. Dans cette notation on a $\Phi \circ f = \widetilde{f} \circ \Phi$.

4.1.6 Definition: Suite exacte d'applications de cochaînes

Pour tout $n \in \mathbb{Z}$ soit $(M_{n,i}, f_{n,i})_{i \in \mathbb{Z}}$ un complexe de cochaînes et $(\Phi_{n,i})_{i \in \mathbb{Z}}$ une application de cochaînes entre $(M_{n,i}, f_{n,i})_i$ et $(M_{n+1,i}, f_{n+1,i})_i$. Alors, la suite

$$\dots \xrightarrow{\Phi_{n-1}} (M_n, f_n) \xrightarrow{\Phi_n} (M_{n+1}, f_{n+1}) \xrightarrow{\Phi_{n+1}} \dots$$

est dit suite exacte d'applications de cochaînes ssi à chaque niveau $i \in \mathbb{Z}$ la suite

$$\dots \stackrel{\Phi_{n-1,i}}{\longrightarrow} M_{n,i} \stackrel{\Phi_{n,i}}{\longrightarrow} M_{n+1,i} \stackrel{\Phi_{n+1,i}}{\longrightarrow} \dots$$

est exacte.

4.1.7 Théorème : Prolongation de suites exactes d'applications de cochaînes

Soient $(M_{1,i}, f_{1,i})_{i \in \mathbb{Z}}$, $(M_{2,i}, f_{2,i})_{i \in \mathbb{Z}}$, $(M_{3,i}, f_{3,i})_{i \in \mathbb{Z}}$ complexes de cochaînes et

$$0 \longrightarrow M_1 \stackrel{\Phi_1}{\longrightarrow} M_2 \stackrel{\Phi_2}{\longrightarrow} M_3 \longrightarrow 0$$

une suite exacte d'applications de cochaînes. Alors, il existe à chaque niveau $i \in \mathbb{Z}$ un morphisme

$$\delta^i: H^i(M_3) \to H^{i+1}(M_1)$$

tel que la suite

$$\dots \longrightarrow H^{i}(M_{1}) \xrightarrow{\Phi_{1,i}} H^{i}(M_{2}) \xrightarrow{\Phi_{2,i}} H^{i}(M_{3}) \xrightarrow{\delta^{i}} H^{i+1}(M_{1}) \longrightarrow \dots$$

$$(4.1.7.1)$$

est exacte.

Preuve:

• **Définition de** δ^i : On va omettre l'indice i de $\Phi_{1,i}$ et $\Phi_{2,i}$. Soit $\omega \in \ker(f_{3,i})$, alors, comme Φ_2 est surjectif il existe un $\widetilde{\omega} \in M_{2,i}$ tel que $\omega = \Phi_2 \widetilde{\omega}$. Donc $\Phi_2 f_{2,i} \widetilde{\omega} = f_{3,i} \Phi_2 \widetilde{\omega} = f_{3,i} \omega = 0$, donc $f_{2,i} \widetilde{\omega} \in \ker(\Phi_2) = \operatorname{image}(\Phi_1)$. Comme Φ_1 est injectif, il existe un unique $\eta \in M_{1,i+1}$ tel que $\Phi_1 \eta = f_{2,i} \widetilde{\omega}$. Car

$$0 = f_{2,i+1} f_{2,i} \widetilde{\omega} = f_{2,i+1} \Phi_1 \eta = \Phi_1 f_{1,i+1} \eta \quad ,$$

on trouve par injectivité de Φ_1 que $f_{1,i+1}\eta = 0$, c'est-à-dire $\eta \in \ker(f_{1,i+1})$. On pose $\delta^i[\omega] := [\eta]$ où

$$[\omega] \in \ker(f_{3,i})/\operatorname{image}(f_{3,i-1})$$
, $[\eta] \in \ker(f_{1,i+1})/\operatorname{image}(f_{1,i})$.

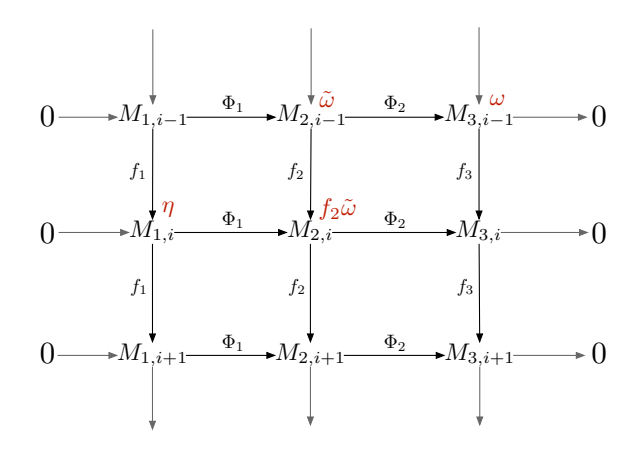


FIGURE 37: Sur la preuve de théorème 4.1.7 : Tout $\omega \in \ker(f_{3,i}) \subseteq M_{3,i}$ se relève à un $\eta \in \ker(f_{1,i+1}) \subseteq M_{1,i+1}$. Posons $\delta^i[\omega] := [\eta]$.

• On va montrer que δ^i est bien définie. Supposons d'abord $\widetilde{\omega}' \in M_{2,i}$ tel que $\omega = \Phi_2 \widetilde{\omega}'$, alors de même façon on trouve qu'il existe un unique $\eta' \in \ker(f_{1,i+1}) \subseteq M_{1,i+1}$ tel que $\Phi_1 \eta' = f_{2,i} \widetilde{\omega}'$. De plus $\widetilde{\omega} - \widetilde{\omega}' \in \ker(\Phi_2)$ et donc $\widetilde{\omega} - \widetilde{\omega}' = \Phi_1 \lambda$ pour un $\lambda \in M_{1,i}$. Donc

$$\Phi_1(\eta - \eta') = f_{2i}(\widetilde{\omega} - \widetilde{\omega}') = f_{2i}\Phi_1\lambda = \Phi_1 f_{1,i}\lambda ,$$

et comme Φ_1 est injectif, $\eta - \eta' = f_{1,i}\lambda \in \text{image}(f_{1,i})$. Donc $[\eta] = [\eta']$ et $\delta^i[\omega]$ ne dépend pas du choix de $\widetilde{\omega} \in \Phi_2^{-1}(\omega)$.

Supposons $\omega' \in \ker(f_{3,i-1})$ tel que $[\omega'] = [\omega]$, c'est-à-dire $\omega - \omega' \in \operatorname{image}(f_{3,i-1})$. Alors il existe un $\lambda \in M_{3,i-1}$ tel que $\omega - \omega' = f_{3,i-1}\lambda$. Choisir $\widetilde{\lambda} \in M_{2,i-1}$ tel que $\lambda = \Phi_2\widetilde{\lambda}$, alors $\Phi_2 f_{2,i-1}\widetilde{\lambda} = f_{3,i-1}\Phi_2\widetilde{\lambda} = f_{3,i-1}\lambda$. Posons $\widetilde{\omega}' := \widetilde{\omega} - f_{2,i-1}\widetilde{\lambda}$, alors

$$\Phi_2 \widetilde{\omega}' = \underbrace{\Phi_2 \widetilde{\omega}}_{\omega} - f_{3,i-1} \lambda = \omega' .$$

De plus

$$f_{2,i}\widetilde{\omega}' = f_{2,i}\widetilde{\omega} - \underbrace{f_{2,i}f_{2,i-1}\widetilde{\lambda}}_{0} = \Phi_1\eta$$
,

donc par définition $\delta^i[\omega'] = [\eta] = \delta^i[\omega]$. On en déduit que δ^i est bien définie.

• Il reste à montrer que (4.1.7.1) est une suite exacte. Si $\omega \in \ker(f_{1,i})$, alors $\Phi_2\Phi_1[\omega] = [\Phi_2\Phi_1\omega] = [0] = 0$. Inversement, soit $\omega \in \ker(f_{2,i})$ tel que $\Phi_2[\omega] = 0$, c'est-à-dire $\Phi_2\omega \in \operatorname{image}(f_{3,i-1})$ et donc $\Phi_2\omega = f_{3,i-1}\eta$ pour un $\eta \in M_{3,i-1}$. Choisir $\widetilde{\eta} \in M_{2,i-1}$ tel que $\Phi_2\widetilde{\eta} = \eta$, alors

$$\Phi_2(\omega - f_{2,i-1}\widetilde{\eta}) = f_{3,i-1}\eta - \Phi_2 f_{2,i-1}\widetilde{\eta} = f_{3,i-1}\eta - f_{3,i-1}\underbrace{\Phi_2\widetilde{\eta}}_{\eta} = 0 ,$$

c'est-à-dire $\omega - f_{2,i-1}\widetilde{\eta} \in \ker(\Phi_2) = \operatorname{image}(\Phi_1)$. Alors il existe un $\vartheta \in M_{1,i}$ tel que $\omega - f_{2,i-1}\widetilde{\eta} = \Phi_1\vartheta$, d'où on déduit

$$\Phi_1 [\vartheta] = [\omega - f_{2,i-1} \widetilde{\eta}] = [\omega] \quad ,$$

donc $\ker \Phi_2 = \operatorname{image} \Phi_1 \operatorname{dans} H^i(M_2)$.

De façon similaire on montre que ker $\delta^i = \operatorname{image} \Phi_2$ dans $H^i(M_3)$ et ker $\Phi_1 = \operatorname{image} \delta^i$ dans $H^{i+1}(M_1)$.

4.1.8 Produit directe de complexes de cochaînes

Soit I un ensemble d'indices quelconque. Pour chaque $i \in I$ soit $(M_i, f_i) := (M_{i,k}, f_{i,k})_{k \in \mathbb{Z}}$ un complexe de cochaînes. Alors, les groupes (modules) produits $M_k := \underset{i \in I}{\times} M_{i,k}$ et les morphismes $f_k := (f_{i,k})_{i \in I}$ forment un complexe de cochaînes, noté $\underset{i \in I}{\times} (M_i, f_i)$. Pour l'instant note $(M, f) := \underset{i \in I}{\times} (M_i, f_i)$. Tout groupe (module) de

cohomologie $H^k(M) := \ker(f_k) / \operatorname{image}(f_{k-1})$ est isomorphe au produit directe

$$\underset{i \in I}{\times} H^k(M_i) := \underset{i \in I}{\times} \ker(f_{i,k}) / \operatorname{image}(f_{i,k-1})$$

des groupes (modules) de cohomologie des $(M_{i,k},f_{i,k})_k,\ i\in I$ via l'isomorphisme

$$\Pi_M: \underset{i \in I}{\times} H^k(M_i) \to H^k(M)$$
 , $\Pi_M: ([\omega_i])_{i \in I} \mapsto [(\omega_i)_{i \in I}]$.

Soit $(G,g) := (G_k, g_k)_{k \in \mathbb{Z}}$ aussi un complexe de cochaînes. Si pour tout $i \in I$, Φ_i est une application de cochaînes entre (G,g) et (M_i,f_i) , alors

$$(\Phi_i)_{i \in I} : (G, g) \to (M, f) , \underbrace{x}_{\in G_k} \mapsto \underbrace{(\Phi_i(x))_{i \in I}}_{\in M_k}$$

est aussi une application de cochaînes.

Inversement, pour tout $i \in I$ soit $(G_i, g_i) := (G_{i,k}, g_{i,k})_k$ un complexe de cochaînes et Φ_i une application de cochaînes entre (M_i, f_i) et (G_i, g_i) . Soit G le complexe de cochaînes produit des (G_i, g_i) . Alors, l'application

$$\Phi := (\Phi_i)_{i \in I} : M \to G \quad , \quad \underbrace{(\omega_i)_{i \in I}}_{\in \underset{i \in I}{\times} M_{i,k}} \mapsto \underbrace{(\Phi_i(\omega_i))_{i \in I}}_{\in \underset{i \in I}{\times} G_{i,k}}$$

est une application de cochaînes entre M et G. Soit $\overline{\Phi}_i$ le morphisme induit par Φ_i entre $H^{(\cdot)}(M_i)$ et $H^{(\cdot)}(G_i)$. Soit $\overline{(\Phi_i)_i}$ le morphisme induit par $(\Phi_i)_i$ entre $H^{(\cdot)}(M)$ et $H^{(\cdot)}(G)$. Alors le diagramme 38 ci-dessous commute.

$$H^{(\cdot)} \left(\underset{i \in I}{\times} M_i \right) \xrightarrow{\overline{(\Phi_i)_{i \in I}}} H^{(\cdot)} \left(\underset{i \in I}{\times} G_i \right)$$

$$\Pi_M^{-1} \downarrow \qquad \qquad \Pi_G$$

$$\times H^{(\cdot)}(M_i) \xrightarrow{\overline{(\Phi_i)_{i \in I}}} H^{(\cdot)}(G_i)$$

$$i \in I$$

FIGURE 38: Sur des morphismes de cohomologies induits par applications de cochaînes entre produits de complexes de cochaînes. Le diagramme commute.

Exemples

(i) Soient $(M, f) := (M_k, f_k)_k$, $(\widetilde{M}, \widetilde{f}) := (\widetilde{M}_k, \widetilde{f}_k)_k$ et $(G, g) := (G_k, g_k)_k$ complexes de cochaînes. Soient $\Phi : (M, f) \to (G, g)$ et $\widetilde{\Phi} : (\widetilde{M}, \widetilde{f}) \to (G, g)$ applications de cochaînes. Alors, les morphismes

$$\Psi_k := (\Phi + \widetilde{\Phi}) : M_k \times \widetilde{M}_k \to G_k \quad , \quad \Psi_k : (\omega_k, \widetilde{\omega}_k) \mapsto (\Phi(\omega) + \widetilde{\Phi}(\widetilde{\omega})) \quad , \quad k \in \mathbb{Z}$$

forment une application de cochaînes entre le produit $(M, f) \times (\widetilde{M}, \widetilde{f})$ et (G, f). Cela suit directement de la nature des morphismes.

(ii) Soit

$$\ldots \longrightarrow G_1 \xrightarrow{f_1} G_2 \xrightarrow{f_2} G_3 \longrightarrow \ldots$$

un complexe de cochaînes (suite exacte). Soit $\Phi: G_2 \to \overline{G}_2$ un isomorphisme. Alors

$$\ldots \longrightarrow G_1 \stackrel{\Phi \circ f_1}{\longrightarrow} \overline{G}_2 \stackrel{f_2 \circ \Phi^{-1}}{\longrightarrow} G_3 \longrightarrow \ldots$$

est aussi un complexe de cochaînes (suite exacte).

4.2 Formes différentielles sur variétés

4.2.1 Definition: k-forme

Soit M une \mathcal{C}^{∞} -variété de dimension $n \in \mathbb{N}$. Soit $\mathcal{X}(M)$ l'espace linéaire des champs de vecteurs sur M et $\mathcal{F}(M)$ l'espace linéaire des fonctions réelles lisses sur M. Alors, une k-forme (ou k-forme différentielle) est une application $\omega : \underbrace{\mathcal{X} \times \cdots \times \mathcal{X}}_{>k} \to \mathcal{F}$ antisymétrique, \mathcal{F} -plurilinéaire. On note $\Omega^k(M)$ l'espace \mathbb{R} -linéaire des

k-formes sur M et $\Omega(M) := \bigcup_{k \in \mathbb{N}_0} \Omega^k(M)$.

Remarques : Soient $(x^i)_{i=1}^n$ les coordonnées locales sur M.

(i) Toute $\omega \in \Omega^k(M)$ peut être écrit comme combinaison \mathcal{F} -linéaire des produits extérieurs des 1-formes dx^i :

$$\omega = \frac{1}{k!} \sum_{i_1, \dots, i_k = 1}^n \omega(\partial_{i_1}, \dots, \partial_{i_k}) \cdot dx^{i_1} \wedge \dots \wedge dx^{i_k} = \sum_{1 \le i_1 < \dots < i_k \le n} \omega(\partial_{i_1}, \dots, \partial_{i_k}) \cdot dx^{i_1} \wedge \dots \wedge dx^{i_k} .$$

En particulier, toute n-forme est de la forme

$$\omega = f \cdot dx^1 \wedge \cdots \wedge dx^n$$
 , $f \in \mathcal{F}$.

- (ii) Soient $\omega \in \Omega^k(M)$ et $X_1, ..., X_n \in \mathcal{X}$ champs de vecteurs n'importante quels. Alors, pour tout $x \in M$, la valeur $\omega(X_1, ..., X_k)(x)$ ne dépende que des valeurs des champs $X_1, ..., X_k$ dans le point x. En particulier, on peut regarder toute k-forme $\omega \in \Omega^k(M)$ comme application $\omega : M \to \Lambda^k T^*M$ sur M, qui envoie tout point $x \in M$ à une k-forme linéaire sur l'espace tangentiel T_xM .
- (iii) Pour $k > \dim(M)$ l'espace $\Omega^k(M)$ est trivial.

4.2.2 Definition: Dérivée extérieure

Soit M une \mathcal{C}^{∞} -variété de dimension $n \in \mathbb{N}$. Alors, la dérivée extérieure $d: \Omega^k(M) \to \Omega^{k+1}(M)$ est définie comme l'unique application \mathbb{R} -linéaire satisfaisant :

- 1. Si $f \in \mathcal{F}(M)$, alors $df \in \Omega^1(M)$ est la différentielle de f, c'est-à-dire df(X) := Xf pour $X \in \mathcal{X}(M)$.
- 2. Pour $f \in \mathcal{F}(M)$ on a toujours d(df) = 0.
- 3. Pour toute k-forme $\omega^k \in \Omega^k(M)$ et l-forme $\omega^l \in \Omega^l(M)$ on a

$$d(\omega^k \wedge \omega^l) = (d\omega^k) \wedge \omega^l + (-1)^k \cdot \omega^k \wedge d\omega^l .$$

Remarques : Soient $(x^i)_{i=1}^n$ cordonnées locales sur M.

- (i) C'est un fait que pour tout k-forme $\omega \in \Omega^k(M)$ on a $d(d\omega) = 0$ (lemme de Poincaré).
- (ii) Si $\omega \in \Omega^k(M)$ possède la représentation

$$\omega = \sum_{(i_1,\dots,i_k)\in I} \omega_{i_1,\dots,i_n} dx^{i_1} \wedge \dots \wedge dx^{i_k}$$

alors sa dérivée extérieure est donnée par

$$d\omega = \sum_{(i_1,\dots,i_k)\in I} d\omega_{i_1,\dots,i_k} \wedge dx^{i_1} \wedge \dots \wedge dx^{i_k} .$$

(iii) Pour $\omega \in \Omega^k(M)$ et champs de vecteurs $X_0,...,X_k \in \mathcal{X}$ on a la représentation invariante

$$d\omega(X_{0},..,X_{n}k) = \sum_{i=1}^{k} (-1)^{i} X_{k} \left[\omega\left(X_{0},..,X_{i-1},X_{i+1},..,X_{k}\right)\right]$$

+
$$\sum_{0 \le i < j \le k} (-1)^{i+j} \omega ([X_i, X_j], X_0, ..., X_{i-1}, X_{i+1}, ..., X_{j-1}, X_{j+1}, ..., X_k)$$
,

où $[\cdot,\cdot]$ est le crochet de Lie. En particulier, pour $\omega\in\Omega^1(M)$ on a

$$d\omega(X,Y) = X\omega(Y) - Y\omega(X) - \omega([X,Y])$$

si $X, Y \in \mathcal{X}(M)$.

4.2.3 Definition: k-forme pullback

Soient M,N deux \mathcal{C}^{∞} -variétés. Alors, toute $f:M\to N$ lisse induit une application $f^*:\Omega^k(N)\to\Omega^k(M)$ via

$$(f^*\omega)|_x(v_1,..,v_k) := \omega|_{f(x)} (df_x(v_1),..,df_x(v_k)) , v_1,..,v_k \in T_xM, x \in M, \omega \in \Omega^k(N) ,$$

où $df:TM\to TN$ et la différentielle de f. On dit la k-forme $f^*\omega$ pullback(ou tiré en arrière) de $\omega\in\Omega^k(N)$ via f.

Remarques:

- (i) Si $f: M \to N$ et un difféomorphisme, alors $f^*: \Omega^k(N) \to \Omega^k(M)$ est un isomorphisme des espaces vectoriels avec inverse $(f^*)^{-1} = (f^{-1})^*$.
- (ii) Pour formes différentielles α, β sur N on a $f^*(\alpha \wedge \beta) = (f^*\alpha) \wedge (f^*\beta)$.
- (iii) Pour \mathcal{C}^{∞} -variétés M, N, lisse $f: M \to N$ et k-forme $\omega \in \Omega^k(N)$ on a $d(f^*\omega) = f^*(d\omega)$.
- (iv) Soit N une \mathcal{C}^{∞} -variété et $M\subseteq N$ une sous-variété de M avec l'inclusion $i:M\hookrightarrow N$. Alors, la restriction d'une k-forme $\omega\in\Omega^k(N)$ sur M est définie comme $\omega\big|_M:=i^*\omega$. En particulier par (iii) :

$$d\left(\omega\big|_{M}\right) = (d\omega)\big|_{M}$$
.

4.2.4 Definition: Variété orientable

Une variété lisse M de dimension n est dit **orientable** s'il existe une n-forme $\omega \in \Omega^n(M)$ non-nule partout[8]. Une telle forme est dit **forme d'orientation**. Deux formes d'orientation $\omega, \sigma \in \Omega^n(M)$ sont **équivalents** s'il existe une $f \in \Omega^0(M)$ positive partout telle que $\omega = f \cdot \sigma$. Une **orientation** de M est une classe d'équivalence de formes d'orientation sur M.

Remarques

- (i) C'est un fait, qu'il existe sur toute orientable M exactement deux orientations [8].
- (ii) On peut montrer que, toute variété lisse simplement connexe est orientable.

4.3 La cohomologie de de Rham

4.3.1 Definition: La cohomologie de de Rham

Soit M une \mathbb{C}^{∞} -variété de dimension $n \in \mathbb{N}$. Soit $d^k : \Omega^k(M) \xrightarrow{d} \Omega^{k+1}(M)$ la dérivée extérieure sur $\Omega^k(M)$. Alors, elle induit le **complexe de de Rham**

$$0 \longrightarrow \Omega^0(M) \xrightarrow{d^0} \Omega^1(M) \xrightarrow{d^1} \dots \xrightarrow{d^{n-1}} \Omega^n(M) \xrightarrow{d^n} 0$$
 (4.3.1.1)

et la cohomologie de de Rham notée

$$H^k_{\mathrm{dR}}(M) := \ker(d^k)/\operatorname{image}(d^{k-1}) \ , \ 0 \le k \le n \ .$$

On note ainsi

$$H_{\mathrm{dR}}(M) := \biguplus_{i=1}^{\infty} H_{\mathrm{dR}}^k(M)$$
 .

Une k-forme $\omega \in \Omega^k(M)$ est dit **fermée** ssi $d\omega = 0$. Elle est dit **exacte** ssi il existe une (k-1)-forme $\alpha \in \Omega^{k-1}(M)$ telle que $\omega = d\alpha$.

Remarques:

- (i) Pour k > n on a toujours $\Omega^k(M) = \{0\}$ et $H^k_{dR}(M) = \{0\}$.
- (ii) Par conséquence, toute n-forme est fermée et donc $H^n_{dR}(M) = \Omega^n(M)/d(\Omega^{n-1}(M))$.
- (iii) Par remarque 4.2.2(i) toute forme exacte est fermée et donc (4.3.1.1) un complexe de cochaînes.
- (iv) La cohomologie de de Rham sur M est triviale, c'est-à-dire $H^k_{dR}(M) = \{0\} \ \forall i$, ssi toute forme fermée est exacte.
- (v) Deux formes fermées $\omega, \vartheta \in \Omega^k(M)$ sont dit **cohomologées** ssi leur différence $(\alpha \beta)$ est exacte. Cette relation est une relation d'équivalence sur $\Omega^k(M)$, dont les classes d'équivalence, dites **classes de cohomologie**, forment exactement la cohomologie $H^k_{dR}(M)$.
- (vi) Les 0-formes fermés sont exactement les fonctions localement constantes, c'est-à-dire constantes sur toute partie connexe de M. Évidement, la seule 0-forme exacte est la nulle. Donc $H^0_{\mathrm{dR}}(M) \cong \mathbb{R}^n$ si M possède n parties connexes.

4.3.2 Definition: La cohomologie à support compact

Soit M une \mathcal{C}^{∞} -variété. On note

$$\Omega_c^k(M) := \{ \omega \in \Omega^k(M) : \operatorname{supp}(\omega) \text{ compact} \}$$

l'espace \mathbb{R} -linéaire des k-formes linéaires sur M de support compact. De même comme dans le cas de la cohomologie de de Rham, la dérivée extérieure d fait des $\Omega_c^k(M)$ un complexe de cochaînes

$$0 \longrightarrow \Omega_c^0(M) \stackrel{d}{\longrightarrow} \Omega_c^1(M) \longrightarrow \ldots \longrightarrow \Omega_c^n(M) \stackrel{d}{\longrightarrow} 0$$

et induit la cohomologie $H_c^k(M), k \in \mathbb{N}_0$.

4.3.3 Lemme de Poincaré

Soit $M \subseteq \mathbb{R}^n$ une \mathcal{C}^{∞} -variété lisse-contractile dans \mathbb{R}^n et $k \in \mathbb{N}$. Alors on a $H^k_{dR}(M) = \{0\}$ pour tout $k \in \mathbb{N}$. Autrement dit, tout forme différentielle fermée est exacte.

Preuve: Vois [5].

4.3.4 Definition: Groupe abélianisé

Pour un groupe G, on note [G,G] le sous-groupe normal de G engendré par les commutateurs de G, appelé **groupe dérivé**. On dit le groupe quotient $G^{ab} := G/[G,G]$ le groupe **abélianisé** de G.

Remarques

- (i) G^{ab} est le plus grand quotient abélien de G en le sens suivant : Pour tout $N \subseteq G$ le quotient G/N est abélien ssi $[G,G] \subseteq N$.
- (ii) Si G est abélien, alors $G \cong G^{ab}$.
- (iii) Le groupe abélianisé de $\mathbb{Z}\star\mathbb{Z}$ est $\mathbb{Z}\times\mathbb{Z}.$
- (iv) L'espace \mathbb{R} -linéaire $\operatorname{Hom}(G^{\operatorname{ab}},\mathbb{R})$ des homomorphismes de G^{ab} dans $(\mathbb{R},+)$ est \mathbb{R} -isomorphe à $\operatorname{Hom}(G,\mathbb{R})$ via le morphisme

$$(a: \overline{g} \mapsto a(\overline{g})) \mapsto (g \mapsto a(\overline{g}))$$
.

4.3.5 Théorème : La cohomologie de de Rham et le groupe fondamentale

Soit M une variété lisse connexe, de dimension $n \in \mathbb{N}$. Alors

$$H^1_{\mathrm{dR}}(M) \cong_{\mathbb{R}} \mathrm{Hom}(\Pi_1(M), \mathbb{R})$$
.

Preuve : Sans élaborations, noter que par le théorème universel de coefficients[15], le groupe de cohomologie $H^k(M,\mathbb{R})$ de l'espace topologique M est isomorphe à $\operatorname{Hom}(H_k(M,\mathbb{Z}),\mathbb{R})$, où $H_k(M,\mathbb{Z})$ est le k-ième groupe d'homologie singulière de M à coefficients entiers. Par le théorème de Hurewicz, si M est connexe par arcs, le groupe abélianisé $\Pi_1(M)^{\mathrm{ab}}$ du groupe fondamental de M, est isomorphe à $H_1(M,\mathbb{Z})$. Par le théorème de de Rham[16, 17], $H^k_{\mathrm{dR}}(M)$ est isomorphe à $H^k(M,\mathbb{R})$, donc

$$H^1_{\mathrm{dR}}(M) \cong_{\mathbb{R}} \mathrm{Hom}(\Pi_1(M)^{\mathrm{ab}}, \mathbb{R})$$
.

D'après remarque 4.3.4(iv) la preuve est finie.

4.3.6 Corollaire sur variétés simplement connexes

Soit M une \mathcal{C}^{∞} -variété simplement connexe. Alors $H^1_{dR}(M) = \{0\}$.

Preuve : Par 2.3.5 M possède un groupe fondamental trivial. Par 4.3.5 cela complète la preuve.

4.4 Invariance de la cohomologie de de Rham

4.4.1 Definition: Variétés homotopiquement équivalentes

On dit deux C^{∞} -variétés M, N homotopiquement équivalentes ssi il existe deux fonctions lisses $f: M \to N$ et $g: N \to M$ telles que $g \circ f \sim_h \operatorname{Id}_M$ et $f \circ g \sim_h \operatorname{Id}_N$ via homotopies lisses. Quelquefois les applications f, g sont appelées équivalences d'homotopie entre M et N.

Remarques:

(i) L'équivalence d'homotopie est une relation d'équivalence entre les \mathcal{C}^{∞} -variétés.

4.4.2 Théorème : Invariance topologique de la cohomologie de de Rham

Soient M, N deux variétés lisses, homéomorphes 25 ou même seulement homotopiquement équivalentes. Alors, leurs cohomologies de de Rham sont égales. Autrement dit, la cohomologie de de Rham est une invariante de topologie et d'homotopie.

Remarques

- (i) Sans élaborations, soit noté qu'on peut montrer l'isomorphie entre $H^k_{dR}(M)$ et l'espace $Hom[H_k(M,\mathbb{Z}),\mathbb{R}]$, où $H_k(M,\mathbb{Z})$ est le k-ième groupe d'homologie singulière de M à coefficients entiers. Comme $H_k(M,\mathbb{Z})$ est une invariante topologique, $H^k_{dR}(M)$ est également. Comme $H_k(M,\mathbb{Z})$ est une invariante d'homotopie, $H^k_{dR}(M)$ est également.
- (ii) Si M,N sont variétés lisses, homotopiquement équivalentes comme espaces topologiques, alors tous ses groupes de cohomologie de Rham $H^k_{\mathrm{dR}}(M)$ (où $k \in \mathbb{N}$) sont égaux.
- (iii) Si M est une variété lisse, contractile, alors tous ses groupes de cohomologie de de Rham $H^k_{\mathrm{dR}}(M)$ (où $k \in \mathbb{N}$) sont triviales. Noter comme on retrouve lemme 4.3.3 de Poincaré.

^{25.} Noter : Pas impérativement difféomorphes!

4.4.3 Lemme : Applications de cohomologies de de Rham

Soient M, N C^{∞} -variétés et $f: M \to N$ lisse. Alors l'application pullback $f^*: \Omega^k(N) \to \Omega^k(M)$ induit une application de complexes de cochaines $f: \left(\Omega^k(N), d\right)_{i \in \mathbb{N}_0} \to \left(\Omega^i(M), d\right)_{i \in \mathbb{N}_0}$ et donc une famille de morphismes \mathbb{R} -linéaires $f^*: H^i_{\mathrm{dR}}(N) \to H^i_{\mathrm{dR}}(M)$.

Preuve : Par remarque 4.2.3(iii) l'application pullback f^* commute avec la dérivée extérieure d. Par 4.1.5 suit l'affirmation.

1.4.4 Lemme de Poincaré sur homotopies et la cohomologie de de Rham

Soient $M, N \in \mathbb{C}^{\infty}$ variétés de même dimension et $h_0, h_1 : M \to N$ lisses. Par 4.4.3 les pullbacks h_0^*, h_1^* induisent pour tout $k \in \mathbb{N}_0$ des morphismes \mathbb{R} -linéaires $f_0^*, f_1^* : H_{\mathrm{dR}}^k(N) \to H_{\mathrm{dR}}^k(M)$. Si les h_0, h_1 sont homotopes par une homotopie lisse $M \times [0, 1] \to N$, alors $h_0^* = h_1^*$ sur la cohomologie $H_{\mathrm{dR}}^{(\cdot)}(N)$.

Preuve: Voir [12], pp. 277.

Remarque: Une version du lemme de Poincaré 4.4.4 est que, l'homomorphisme

$$\pi^*: H^k_{\mathrm{dR}}(M) \to H^k_{\mathrm{dR}}(M \times [0,1])$$

induit par la projection $\pi: M \times [0,1] \to M$ et un isomorphisme avec l'inverse

$$i_0^*: H^k_{\mathrm{dR}}(M \times [0,1]) \to H^k_{\mathrm{dR}}(M)$$
,

induit par l'inclusion $i_0: M \to M \times [0,1], x \mapsto (x,0).$

4.4.5 Corollaire: Invariance homotopique de la cohomologie de de Rham

Soient M, N deux variétés lisses, homotopiquement équivalentes comme espaces topologiques. Alors, leurs co-homologies $H^k_{dR}(M)$, $H^k_{dR}(N)$ de de Rham sont isomorphes.

Preuve : On va prouver l'affirmation seulement pour le cas que M,N sont de même dimension et homotopiquement équivalentes comme variétés lisses. Le cas général est déjà vu dans remarque 4.4.2(ii). Soient $f:M\to N$ et $g:N\to M$ équivalences d'homotopie, c'est-à-dire $f\circ g\sim_h \mathrm{Id}_N$ et $g\circ f\sim_h \mathrm{Id}_M$ via homotopies lisses. Par 4.1.5 et remarque 4.2.3(ii), $\mathrm{Id}_N^*:H^k_{\mathrm{dR}}(N)\to H^k_{\mathrm{dR}}(N)$ est un isomorphisme. Par Poincaré 4.4.4, le morphisme $(f\circ g)^*:H^k_{\mathrm{dR}}(N)\to H^k_{\mathrm{dR}}(N)$ est aussi un isomorphisme. De même, on trouve que $(g\circ f)^*:H^k_{\mathrm{dR}}(M)\to H^k_{\mathrm{dR}}(M)$ est un isomorphisme. Comme $(f\circ g)^*=f^*\circ g^*$ et $(g\circ f)^*=g^*\circ f^*$, on en déduit que f^* et g^* sont inverses et donc $f^*:H^k_{\mathrm{dR}}(N)\to H^k_{\mathrm{dR}}(M)$ un isomorphisme.

4.5 Le théorème de Mayer-Vietoris

4.5.1 Théorème de Mayer-Vietoris

Soit M une C^{∞} -variété et $U_1, U_2 \subseteq M$ sous-parties tels que M est l'union de leurs intérieurs. Soient $i_l : U_1 \cap U_2 \hookrightarrow U_l$ et $j_l : U_l \hookrightarrow M$, l = 1, 2 les inclusions des espaces entre eux. Soient $i_l^* : \Omega(U_l) \to \Omega(U_1 \cap U_2)$ et $j_l^* : \Omega(M) \to \Omega(U_l)$ leurs morphismes pullbacks. Alors, la suite

$$\dots \longrightarrow H^k_{\mathrm{dR}}(M) \stackrel{(j_1^*,j_2^*)}{\longrightarrow} H^k_{\mathrm{dR}}(U_1) \times H^k_{\mathrm{dR}}(U_2) \stackrel{j_1^*-j_2^*}{\longrightarrow} H^k_{\mathrm{dR}}(U_1 \cap U_2) \stackrel{\delta}{\longrightarrow} H^{k+1}_{\mathrm{dR}}(M) \longrightarrow \dots$$

est exacte, pour un morphisme \mathbb{R} -linéaire $\delta: H^k_{\mathrm{dR}}(U_1 \cap U_2) \to H^{k+1}_{\mathrm{dR}}(M)$ approprié.

Preuve : Notons que par 4.4.3 les i_l^*, j_l^* forment des applications de cochaînes entre les complexes de de Rham des espaces $U_1, U_2, U_1 \cap U_2$ et M. Par 4.1.8 et exemple 4.1.8(i) on sait que

$$\Omega^{(\cdot)}(M) \stackrel{(j_1^*, j_2^*)}{\longrightarrow} \Omega^{(\cdot)}(U_1) \times \Omega^{(\cdot)}(U_2)$$

et

$$\Omega^{(\cdot)}(U_1) \times \Omega^{(\cdot)}(U_2) \stackrel{i_1^* - i_2^*}{\longrightarrow} \Omega^{(\cdot)}(U_1 \cap U_2)$$

sont aussi des applications de cochaînes. Par 4.1.8 tout $H^k(U_1) \times H^k(U_2)$ est isomorphe à $H^k\left[\Omega^{(\cdot)}(U_1) \times \Omega^{(\cdot)}(U_2)\right]$ via un isomorphisme qui est compatible avec les morphismes de la cohomologie induits par les j_l^*, i_l^* . Donc, par exemple 4.1.8(ii) et théorème 4.1.7 il suffit de montrer que la suite d'applications de cochaînes

$$0 \longrightarrow \Omega^{(\cdot)}(M) \overset{(j_1^*,j_2^*)}{\longrightarrow} \Omega^{(\cdot)}(U_1) \times \Omega^{(\cdot)}(U_2) \overset{i_1^*-i_2^*}{\longrightarrow} \Omega^{(\cdot)}(U_1 \cap U_2) \longrightarrow 0$$

est exacte. Se rappeler que pour $\omega \in \Omega(M)$, $j_l^*\omega$ est rien autre que la restriction de ω sur le fibre tangent de U_l (similaire pour i_l). L'injectivité de (j_1^*, j_2^*) est claire comme M est l'union des intérieurs des U_1, U_2 . C'est aussi facile à voir que

$$image(j_1^*, j_2^*) = ker(i_1^* - i_2^*)$$
.

Il reste à montrer la surjectivité de $(i_1^* - i_2^*)$. Supposons $\omega \in \Omega^k(U_1 \cap U_2)$. Prolongeons ω sur $U_1 \cup U_2$. Alors

$$(i_1^* - i_2^*) : (\omega/2, -\omega/2) \mapsto \omega$$
,

ce qui complète la preuve.

4.5.2 Théorème de Mayer-Vietoris sur formes de support compact

Soit M une C^{∞} -variété et $U_1, U_2 \subseteq M$ tels que M est union de leurs intérieurs. Soient $i_l: U_1 \cap U_2 \hookrightarrow U_l$ et $j_l: U_l \hookrightarrow M, \ l=1,2$ les inclusions des espaces entre eux. Alors la suite

$$\ldots \longrightarrow H_c^k(M) \stackrel{(j_1^*, j_2^*)}{\longrightarrow} H_c^k(U_1) \times H_c^k(U_2) \stackrel{j_1^* - j_2^*}{\longrightarrow} H_c^k(U_1 \cap U_2) \stackrel{\delta}{\longrightarrow} H_c^{k+1}(M) \longrightarrow \ldots$$

est exacte, pour un morphisme \mathbb{R} -linéaire $\delta: H_c^k(U_1 \cap U_2) \to H_c^{k+1}(M)$ approprié.

Preuve : Similaire au théorème de Mayer-Vietoris originale 4.5.1.

4.5.3 Definition: Bon recouvrement

Un recouvrement ouvert $(U_i)_{i\in I}$ d'une variété lisse de dimension n est dit **bon** ²⁶ ssi toute intersection finie des U_i est vide ou difféomorphe à $\mathbb{R}^n[18]$.

4.5.4 Théorème : Recouvrement bon de variétés

Soit M une variété lisse. Alors, il existe un bon recouvrement de M.

Preuve: Voir [18], page 42.

4.5.5 Théorème : Dimension finie de la cohomologie de de Rham

Si M est une variété lisse compacte, alors tout espace de cohomologie $H^k_{\mathrm{dR}}(M)$ est de dimension finie.

26. Anglais: Good cover

Preuve: ²⁷ Comme M est compacte, par 4.5.4 on peut choisir un bon recouvrement d'ouverts $(U_i)_{i=1}^m$ de M. Noter que toute intersection finie non-vide des U_i est contractile. On montre l'affirmation via récurrence sur la cardinalité m du recouvrement. En cas m=1 la variété est lisse contractile, donc par remarque 4.4.2(iii) tous cohomologies $H^k_{dR}(M)$ sont de dimension finie. Supposons que l'affirmation est vraie pour toute cardinalité du recouvrement plus petite que m. Soit $U:=\bigcup_{i=1}^{m-1} U_i$, alors $M=U\cup U_m$. Par Mayer-Vietoris 4.5.1 on a la suite exacte

$$\dots \longrightarrow H^{k-1}_{\mathrm{dR}}(U \cap U_m) \longrightarrow H^k_{\mathrm{dR}}(M) \longrightarrow H^k_{\mathrm{dR}}(U) \times H^k_{\mathrm{dR}}(U_m) \longrightarrow \dots$$

Noter que par l'hypothèse de récurrence $H^k_{\mathrm{dR}}(U)$ et $H^k_{\mathrm{dR}}(U_m)$ sont de dimension finie. Comme

$$U \cap U_m = \bigcup_{i=1}^{m-1} U_i \cap U_m$$

est l'union d'un recouvrement contractile, lisse de cardinalité m-1, aussi par récurrence dim $H^{k-1}_{\mathrm{dR}}(U\cap U_m)<\infty$. Donc, par remarque 4.1.3(i) $H^k_{\mathrm{dR}}(M)$ est aussi de dimension finie.

4.6 Cas spéciaux de cohomologies de de Rham

4.6.1 Lemme : Intégration de formes exactes

Soit M une variété lisse de dimension $n \in \mathbb{N}$, orientable. Soit $\eta \in \Omega_c^{n-1}(M)$ une n-1-forme de support compact. Alors, l'intégral $\int_M d\eta$ est trivial.

Preuve: Voir [8], pp. 90.

Conséquences

- (i) La 1-forme $d\varphi$ (φ coordonnée <u>locale</u> canonique) sur S^1 n'est pas exacte car $\int_{S^1} d\varphi = 2\pi$, même si elle est fermée et localement exacte.
- (ii) La n-forme $d\varphi_1 \wedge ... \wedge d\varphi_n$ sur le tore $T^n := \underset{i=1}{\overset{n}{\times}} S^1$ n'est pas exacte car $\int\limits_{T^n} d\varphi_1 \wedge ... \wedge d\varphi_n = (2\pi)^n$, même si elle est fermée

4.6.2 Lemme : Cohomologies de compositions de variétés

Soit M une variété lisse de composants connexes $M_1, ..., M_n$. Alors, sa cohomologie de de Rham est donnée par

$$H_{\mathrm{dR}}^k(M) = \underset{i=1}{\overset{n}{\times}} H_{\mathrm{dR}}^k(M_i) .$$

4.6.3 Théorème : L'espace $H^n_{dR}(M)$ pour variétés non-compactes

Soit M une variété lisse non-compacte, connexe de dimension n (orientable ou pas). Alors

$$H^n_{\mathrm{dR}}(M) = 0 .$$

Preuve : Voir [12], pp. 272.

^{27.} Pour une preuve alternative voir [8], pp. 80.

4.6.4 Théorème : L'espace $H_c^n(M)$

Soit M une variété lisse, connexe de dimension n. Alors sa n-ième cohomologie de de Rham de support compact est donnée par

$$H_c^n(M) \cong \begin{cases} \mathbb{R} &: M \text{ orientable} \\ 0 &: \text{sinon} \end{cases}$$
 (4.6.4.1)

Idée de preuve : On montre que si M est orientée, l'application

$$H_c^n(M) \to \mathbb{R} \ , \ [\omega] \mapsto \int_M \omega$$

est bien définie et un isomorphisme des espaces vectoriels et si M n'est pas orientable, toute n-forme est exacte. Voir [8, 11, 12, 18] pour plus d'informations, en particulier [12] pp. 269 et pp. 272.

Remarques:

- (i) Si en particulier M est compacte, alors le théorème se traduit en : Il existe modulo les formes exactes et modulo multiplication par un facteur scalaire, exactement une n-forme non-exacte.
- (ii) Le théorème dit en particulier, que si M est compacte, orientable, connexe, alors toute $\omega \in \Omega^n(M)$ est exacte ssi $\int_M \omega$ est nul.
- (iii) Théorèmes 4.6.3 et 4.6.4 conduisent au résumé : Si M est une variété lisse, connexe de dimension n, alors

$$H^n_{\mathrm{dR}}(M) = \begin{cases} \mathbb{R} &: M \text{ compact \& orientable} \\ 0 &: \mathrm{sinon} \end{cases}.$$

4.6.5 Théorème : Dualité de Poincaré

Soit M une variété lisse de dimension $n \in \mathbb{N}$, orientable. Pour $k \in \{0, ..., n\}$ on considère la forme bilinéaire

$$H_{\mathrm{dR}}^k(M) \times H_c^{n-k}(M) \to \mathbb{R} \ , \ ([\omega], [\eta]) \mapsto \int_M \omega \wedge \eta \ ,$$

Alors, l'homomorphisme induit

$$H^k_{\mathrm{dR}}(M) \to H^{n-k}_c(M)^*$$

est en fait un isomorphisme. Par conséquence, on a l'isomorphie

$$H^k_{\mathrm{dR}}(M) \cong_{\mathbb{R}} H^{n-k}_c(M)^*$$

$$(4.6.5.1)$$

Pour plus d'informations voir [18], pp. 44 et pp. 46.

Remarques

- (i) Supposer que la cohomologie $H_c(M)$ est de dimension finie ²⁸. Alors, le théorème donne une correspondance entre la cohomologie de de Rham $H_{dR}(M)$ et $H_c(M)$.
- (ii) Le théorème montre qu'en général, les espaces $H_c^k(M)$ ne doivent pas être nécessairement de dimension plus petite que $H_{\mathrm{dR}}^k(M)$, même si $\dim \Omega_c^k(M) \leq \dim \Omega^k(M)$. Par exemple, $H_c^n(\mathbb{R}^n) \cong_{\mathbb{R}} H_{\mathrm{dR}}^0(\mathbb{R}^n) \cong_{\mathbb{R}} H_{\mathrm{dR}}^0(\mathbb{R}^n) = 0$ par contractilité (voir remarque 4.4.2(iii)), ou bien par non-compacité de \mathbb{R}^n (voir 4.6.3).

^{28.} Noter que le dual d'un espace vectoriel est de dimension finie ssi l'espace lui même est de dimension finie. Dans ce cas, l'espace et son dual sont isomorphes.

En effet, l'application $H_c^n(\mathbb{R}^n) \to \mathbb{R}$ donnée par

$$[\omega] \mapsto \int_{\mathbb{R}^n} \omega \ , \ [\omega] \in H_c^n(\mathbb{R}^n)$$

est par 4.6.1 bien définie et un isomorphisme des espaces vectoriels. D'autre part, toute $\omega := f dx^1 \wedge ... \wedge dx^n \in \Omega^n(\mathbb{R}^n)$ est exacte, car $\omega = d\eta$ avec

$$\eta(x^1, ..., x^n) := \left[\int_0^{x^1} f(y, x^2, ..., x^n) \, dy \right] \cdot dx^2 \wedge ... \wedge dx^n$$

4.6.6 Corollaire de la dualité de Poincaré

Soit M une variété lisse de dimension $n \in \mathbb{N}$, compacte, orientable, connexe. Alors :

- a) $H_{\mathrm{dR}}^k(M) \cong_{\mathbb{R}} H_{\mathrm{dR}}^{n-k}(M)$ pour tout $k \in \{0, ..., n\}$.
- b) En particulier, $H^n_{\mathrm{dR}}(M)\cong_{\mathbb{R}}\mathbb{R}$. L'isomorphisme sous-jacent est donné par

$$[\omega] \mapsto \int_{M} \omega$$
.

4.6.7 Corollaire sur variétés contractiles

Soit M une variété lisse de dimension n, contractile. Alors tout groupe de cohomologie $H_c^k(M)$ avec $k \in \{0, ..., n-1\}$ est trivial.

Preuve : Comme M est contractile, par 2.2.9 elle est simplement connexe. Par remarque 4.2.4(ii) elle est donc orientable. Par Poincaré 4.6.5 on a donc $H_c^k(M)^* \cong_{\mathbb{R}} H_{\mathrm{dR}}^{n-k}(M)$ pour $k \in \{0,..,n\}$. Comme M est contractile, par remarque 4.4.2(iii) tout $H_{\mathrm{dR}}^{n-k}(M)$, avec $k \in \{0,..,n-1\}$, est trivial.

4.6.8 Théorème de Künneth : Produit de variétés

Soient M, N variétés lisses, compactes. Alors, leur produit $M \times N$ possède la cohomologie de de Rham

$$H_{\mathrm{dR}}^k(M \times N) \cong \underset{p+q=k}{\times} H_{\mathrm{dR}}^p(M) \otimes H_{\mathrm{dR}}^q(N)$$
 , $k \in \mathbb{N}_0$

où \otimes est le produit tensoriel des espaces.

4.6.9 Definition: Degré d'une application

Soient M,N deux variétés lisses de dimension n, compactes, orientables, connexes. Soit $f:M\to N$ une application lisse, induisant l'homomorphisme

$$f^*: H^n_{\mathrm{dR}}(N) \to H^n_{\mathrm{dR}}(M)$$
 .

Par corollaire 4.6.6 on sait que $H^n_{\mathrm{dR}}(M)$ et $H^n_{\mathrm{dR}}(N)$ sont isomorphes à \mathbb{R} . Il existe donc un unique $\lambda \in \mathbb{R}$ tel que

$$f^*[\omega] = \lambda[\omega] \quad \forall [\omega] \in H^n_{\mathrm{dR}}(N)$$
.

On appelle $\lambda =: dg(f)$ le **degré** de f.

4.6.10 Théorème sur le degré des applications

Soient M, N deux variétés lisses de dimension n, compactes, orientables, connexes. Alors, le degré de toute application lisse $f: M \to N$ est dans \mathbb{Z} .

Idée de preuve : Se rappeler que par corollaire 4.6.6 l'espace $H^n_{\mathrm{dR}}(M)$ est isomorphe à $\mathbb R$ via l'isomorphisme

$$[\omega] \mapsto \int_{M} \omega$$
 , $[\omega] \in H^{n}_{\mathrm{dR}}(M)$

(de même pour $H^n_{\mathrm{dR}}(N)$). Donc,

$$\int_{M} f^* \omega = \operatorname{dg}(f) \cdot \int_{N} \omega$$

pour toute $\omega \in \Omega^n(N)$. Par le théorème de Sard et la compacité de M, f possède une valeur régulière $y \in N$, satisfaisant :

- $f^{-1}(y) = \{x_1, ..., x_n\}$ avec $x_1, ..., x_n \in M$.
- Il existe voisinages $U_1,...,U_n\subseteq M$ disjoints des points $x_1,...,x_n$ et un voisinage $V\subseteq N$ de y telle que toute restriction $f|_{U_i}:U_i\to V$ est un difféomorphisme et

$$f^{-1}(V) = \bigcup_{i=1}^{n} U_i .$$

On prend une *n*-forme $\omega \in \Omega^n(N)$ de support $\operatorname{supp}(\omega) \subseteq V$, telle que $\int\limits_V \omega \neq 0$. Alors $\int\limits_{U_i} (f^*\omega)\big|_{U_i} = \varepsilon_i \int\limits_N \omega$, où les facteurs $\varepsilon_i \in \{\pm 1\}$ ne dépendent que de l'orientation des cartes. Donc

$$\int\limits_{M} f^*\omega = \sum_{i=1}^n \int\limits_{U_i} (f^*\omega)\big|_{U_i} = \sum_{i=1}^n \varepsilon_i \cdot \int\limits_{V} \omega = \underbrace{\sum_{i=1}^n \varepsilon_i}_{\operatorname{dg}(f) \in \mathbb{Z}} \cdot \underbrace{\int\limits_{\neq 0} \omega}_{\neq 0} \ ,$$

ce qui complète la preuve.

4.7 La caractéristique d'Euler

4.7.1 Definition: Nombre de Betti et la caractéristique d'Euler

Soit M une variété lisse de dimension n dont la cohomologie de de Rham est de dimension finie. Alors, on appelle $b_k(M) := \dim_{\mathbb{R}} H^k_{d\mathbb{R}}(M)$ le k-ième nombre de Betti de M. On note

$$\chi(M) := \sum_{k=0}^{n} (-1)^k \cdot \dim H_{\mathrm{dR}}^k(M)$$

et appelle $\chi(M)$ la caractéristique d'Euler de M.

Remarques:

- (i) Si M est compacte, alors par 4.5.5 toute $H_{\mathrm{dR}}^k(M)$ est de dimension finie et $\chi(M)$ est donc bien définie.
- (ii) Par 4.4.5 la caractéristique d'Euler est une invariante de l'équivalence d'homotopie.

Exemples:

- (i) Par 4.8.1, pour $n \in \mathbb{N}$ on a $\chi(S^n) = 1 + (-1)^n$. En particulier $\chi(S^2) = 2$.
- (ii) Tout surface d'un polyèdre convexe dans \mathbb{R}^3 , étant homéomorphe à S^2 , possède la caractéristique d'Euler 2.

4.7.2 La caractéristique d'Euler pour variétés composés

Soient U, V sous-parties ouverts de la variété M lisse. Si U, V et $U \cap V$ ont une cohomologie de de Rham de dimension finie, alors le même est vrai pour $U \cup V$ et on a

$$\chi(U \cup V) = \chi(U) + \chi(V) - \chi(U \cap V) .$$

Preuve : Voir [8], lemme 12.15.

4.7.3 Théorème sur CW-complexes

Soit M un CW-complex fini. Alors son caractéristique d'Euler est donné par

$$\chi(M) = \sum_{k=0}^{\infty} (-1)^k \cdot n_k ,$$

où n_k est le nombre des cellules de dimension k.

4.7.4 Théorème de Poincaré-Hopf

Soit M une variété lisse compacte. Alors, il existe sur M un champs de vecteurs non-nul partout ssi $\chi(M) = 0$.

Preuve: Voir [8].

Remarques:

- (i) Dans le cas spécial $M = S^2$ on retrouve le résultat de théorème 3.8.6.
- (ii) Plus généralement, on peut montrer que S^n admet un champs de vecteurs non-nul partout ssi n est impaire. Voir [8], théorème 7.3 pour une preuve.

4.8 Exemples

4.8.1 Exemple : Les groupes de cohomologie de S^n

Pour tout $n \in \mathbb{N}$ et $k \in \mathbb{N}_0$ l'espace $H_{dR}^k(S^n)$ est donné par

$$H_{\mathrm{dR}}^k(S^n) \cong_{\mathbb{R}} \begin{cases} \mathbb{R} & : k \in \{0, n\} \\ \{0\} & : \text{ailleurs} \end{cases}$$
 (4.8.1.1)

De plus $H^0(S^0) \cong_{\mathbb{R}} \mathbb{R} \times \mathbb{R}$.

Preuve par récurrence : Nous nous rappelons que par remarque 4.3.1(vi) pour tout \mathcal{C}^{∞} -variété M on a $H^0_{dR}(M) \cong_{\mathbb{R}} \mathbb{R}^k$, où k est son nombre des composants connexes. Donc en particulier $H^0(S^0) \cong_{\mathbb{R}} \mathbb{R}^2$ et $H^0_{dR}(S^n) \cong_{\mathbb{R}} \mathbb{R}$. De plus, pour k > n on a toujours $\Omega^k(S^n) = \{0\}$ et donc $H^k(S^n) = \{0\}$. Comme tout S^n , $n \geq 2$ est simplement connexe, par corollaire 4.3.6 on sait que $H^1_{dR}(S^n) = \{0\}$ pour tout $n \geq 2$. Finalement, par théorème 4.3.5 on a

$$H^1_{\mathrm{dR}}(S^1) \cong_{\mathbb{R}} \mathrm{Hom} \left[\Pi_1(S^1), \mathbb{R} \right] \cong_{\mathbb{R}} \mathrm{Hom} \left[\mathbb{Z}, \mathbb{R} \right] \cong_{\mathbb{R}} \mathbb{R}$$
.

Supposons maintenant que (4.8.1.1) est vrai pour tous dimensions plus petites que n. On recouvre S^n par deux parties U_1, U_2 plus simples : On considère $S^n \hookrightarrow \mathbb{R}^{n+1}$ et pose

$$U_1 := \left\{ \mathbf{x} \in S^n : x_1 \le \frac{1}{2} \right\} , \ U_2 := \left\{ \mathbf{x} \in S^n : x_1 \ge -\frac{1}{2} \right\} .$$

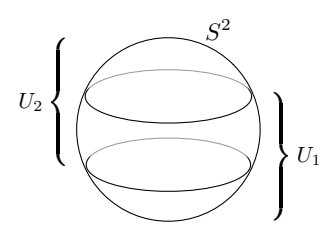


FIGURE 39: Sur le recouvrement de S^n par deux parties contractiles. Ici, comme exemple le cas n=2.

Noter que par 4.5.5 les cohomologies de de Rham des S^n, U_1, U_2 et $U_1 \cap U_2$ sont de dimension finie. Par Mayer-Vietoris 4.5.1 on sait que la suite

$$0 \longrightarrow H^0_{\mathrm{dR}}(S^n) \longrightarrow H^0_{\mathrm{dR}}(U_1) \times H^0_{\mathrm{dR}}(U_2) \longrightarrow H^0_{\mathrm{dR}}(U_1 \cap U_2) \longrightarrow H^1_{\mathrm{dR}}(S^n) \longrightarrow \dots \longrightarrow H^n_{\mathrm{dR}}(U_1 \cap U_2) \longrightarrow 0$$

$$(4.8.1.2)$$

est exacte (avec morphismes appropriés). Se rappeler que U_1, U_2 sont contractiles via homotopies lisses et que la variété $U_1 \cap U_2$ est homotopiquement équivalente à S^{n-1} . Donc la suite exacte (4.8.1.2) prend la forme

$$0 \longrightarrow \underbrace{H_{\mathrm{dR}}^{0}(S^{n})}_{\mathbb{R}} \longrightarrow \underbrace{H_{\mathrm{dR}}^{0}(U_{1})}_{\mathbb{R}} \times \underbrace{H_{\mathrm{dR}}^{0}(U_{2})}_{\mathbb{R}} \longrightarrow \underbrace{H_{\mathrm{dR}}^{0}(U_{1} \cap U_{2})}_{\mathbb{R}} \longrightarrow$$

$$\dots \longrightarrow H_{\mathrm{dR}}^{k}(S^{n}) \longrightarrow \underbrace{H_{\mathrm{dR}}^{k}(U_{1})}_{0} \times \underbrace{H_{\mathrm{dR}}^{k}(U_{2})}_{0} \longrightarrow \underbrace{H_{\mathrm{dR}}^{k}(U_{1} \cap U_{2})}_{\mathrm{par récurrence}} \longrightarrow$$

$$\dots \longrightarrow H_{\mathrm{dR}}^{n-1}(S^{n}) \longrightarrow \underbrace{H_{\mathrm{dR}}^{n-1}(U_{1})}_{0} \times \underbrace{H_{\mathrm{dR}}^{n-1}(U_{2})}_{0} \longrightarrow \underbrace{H_{\mathrm{dR}}^{n-1}(U_{1} \cap U_{2})}_{\mathrm{par récurrence}} \longrightarrow$$

$$\longrightarrow H_{\mathrm{dR}}^{n}(S^{n}) \longrightarrow \underbrace{H_{\mathrm{dR}}^{n}(U_{1})}_{0} \times \underbrace{H_{\mathrm{dR}}^{n}(U_{2})}_{0} \longrightarrow \underbrace{H_{\mathrm{dR}}^{n}(U_{1} \cap U_{2})}_{\mathrm{par récurrence}} \longrightarrow 0$$

En particulier $0 \longrightarrow \mathbb{R} \longrightarrow H^n_{\mathrm{dR}}(S^n) \longrightarrow 0$ est exacte, donc par lemme 4.1.3 il faut

$$\dim \mathbb{R} - \dim H_{\mathrm{dR}}^n(S^n) = 0 ,$$

c'est-à-dire $H^n_{dR}(S^n) \cong_{\mathbb{R}} \mathbb{R}$. Donc le cas n=2 est aussi montré et nous supposons $n \geq 3$. Alors pour $1 \leq k \leq n-2$ la suite

$$0 \longrightarrow H^{k+1}_{\mathrm{dR}}(S^n) \longrightarrow 0$$

est exacte et donc $H^{k+1}_{{\rm dR}}(S^n)=0.$ Ce la complète la preuve.

4.8.2 Exemple : La cohomologie de $S^2 \times S^2$

La cohomologie de de Rham de $S^2 \times S^2$ est donnée par

$$H_{\mathrm{dR}}^{k}(S^{2} \times S^{2}) \cong \begin{cases} \mathbb{R} & : k = 0 \\ 0 & : k = 1 \\ \mathbb{R}^{2} & : k = 2 \\ 0 & : k = 3 \\ \mathbb{R} & : k = 4 \end{cases}$$

Preuve : Décomposer une des sphères S^2 comme dans 4.8.1 en $S^2 = U_1 \cup U_2$ et appliquer Mayer-Vietoris 4.5.1 à $(U_1 \times S^2) \cup (U_2 \times S^2)$. Par ailleurs, on pourrait utiliser le théorème de Künneth 4.6.8 et les résultats de 4.8.1.

4.8.3 Exemple : La cohomologie du tore T^2

La cohomologie de de Rham du tore $T^2 := \mathbb{R}^2/\mathbb{Z}^2$ est donnée par

$$H_{\mathrm{dR}}^{k}(T^{2}) = \begin{cases} \mathbb{R} & : k = 0 \\ \mathbb{R}^{2} & : k = 1 \\ \mathbb{R} & : k = 2 \\ 0 & : k \ge 3 \end{cases}.$$

Preuve : On sait déjà que $\Pi_1(T^2) \cong \mathbb{Z}^2$, et donc par théorème 4.3.5 on a

$$H^1_{\mathrm{dR}}(T^2) \overset{4.3.5}{\cong_{\mathbb{R}}} \mathrm{Hom}\left[\Pi_1(T^2), \mathbb{R}\right] \cong_{\mathbb{R}} \mathrm{Hom}\left[\mathbb{Z}^2, \mathbb{R}\right] \cong_{\mathbb{R}} \mathbb{R}^2$$
.

On décompose T^2 en $T_{\rm in}, T_0$, définies par $T_{\rm in} := B_{\varepsilon}(x_0)$ et $T_0 := T^2 \setminus \{x_0\}$, où $x_0 \in T^2$ est fixé et $0 < \varepsilon < 1$.

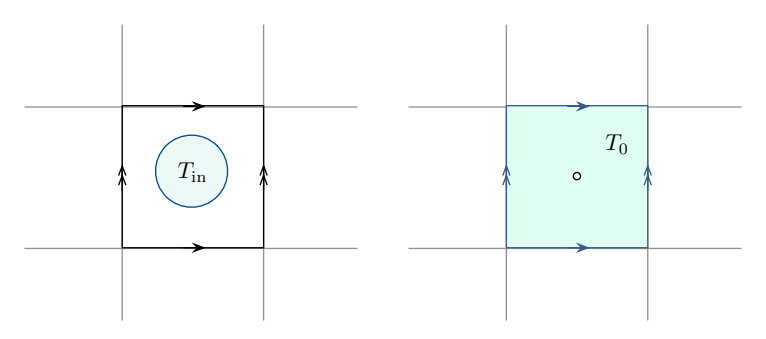


FIGURE 40: Sur la décomposition du tore $T^2 = \mathbb{R}^2/\mathbb{Z}^2$ en les parties (non-disjoints) $T_{\rm in}$ et T_0 . Montrés sont leurs relèvements dans \mathbb{R}^2 .

Noter que $T_0 \cap T_{\text{in}}$ est rétractable par déformation à S^1 via une homotopie de la rétracte lisse, donc par 4.8.1 $H^1_{dR}(T_0 \cap T_{\text{in}}) \cong_{\mathbb{R}} \mathbb{R}$. Par Mayer-Vietoris 4.5.1 on a la suite exacte

$$0 \longrightarrow \underbrace{H^0_{\mathrm{dR}}(T^2)}_{\mathbb{R}} \longrightarrow \underbrace{H^0_{\mathrm{dR}}(T_0)}_{\mathbb{R}} \times \underbrace{H^0_{\mathrm{dR}}(T_{\mathrm{in}})}_{\mathbb{R}} \longrightarrow \underbrace{H^0_{\mathrm{dR}}(T_0 \cap T_{\mathrm{in}})}_{\mathbb{R}}$$

$$\longrightarrow \underbrace{H^1_{\mathrm{dR}}(T^2)}_{\mathbb{R}^2} \longrightarrow H^1_{\mathrm{dR}}(T_0) \times \underbrace{H^1_{\mathrm{dR}}(T_{\mathrm{in}})}_{0} \longrightarrow \underbrace{H^1_{\mathrm{dR}}(T_0 \cap T_{\mathrm{in}})}_{\mathbb{R}}$$

$$\xrightarrow{(\clubsuit)} H^2_{\mathrm{dR}}(T^2) \longrightarrow 0$$
.

La 2-forme fermée $d\varphi_1 \wedge d\varphi_2$ sur T^2 n'est pas exacte, donc $\dim H^2_{\mathrm{dR}}(T^2) \geq 1$. D'autre part, comme la suite est exacte on sait que le morphisme de bord (\clubsuit) est surjectif, donc $\dim H^2_{\mathrm{dR}}(T^2) \leq 1$. Bilan, $H^2_{\mathrm{dR}}(T^2) \cong_{\mathbb{R}} \mathbb{R}$.

Remarque : On peut en fait montrer que la cohomologie de de Rham du tore $T^n := \underset{i=1}{\overset{n}{\times}} S^1$ est donnée par

$$H^k_{\mathrm{dR}}(T^n) \cong_{\mathbb{R}} \mathbb{R}^{\binom{n}{k}} .$$

4.8.4 Exemple : La cohomologie de $\mathbb{R}P^2$ et $\mathbb{R}P^3$

Les cohomologies de de Rham de $\mathbb{R} P^2$ et $\mathbb{R} P^3$ sont données par

$$H^k_{\mathrm{dR}}(\mathbb{R}\mathrm{P}^2) = \begin{cases} \mathbb{R} & : k = 0 \\ 0 & : k \ge 1 \end{cases}, \quad H^k_{\mathrm{dR}}(\mathbb{R}\mathrm{P}^3) = \begin{cases} \mathbb{R} & : k \in \{0,3\} \\ 0 & : \mathrm{ailleurs} \end{cases}$$

Preuve : On se rappelle que par 3.8.1, $\mathbb{R}P^n$ est homéomorphe à $B_n/(x \sim -x, x \in \partial B_n)$ et $\mathbb{R}P^1$ homéomorphe à S^1 . On décompose $\mathbb{R}P^n$ en façon similaire comme dans 4.8.3, en les parties $U_0 := \mathbb{R}P^n \setminus \{0\}$ et $U_{\text{in}} := B_{\varepsilon}(0)$ avec $0 < \varepsilon < 1$.

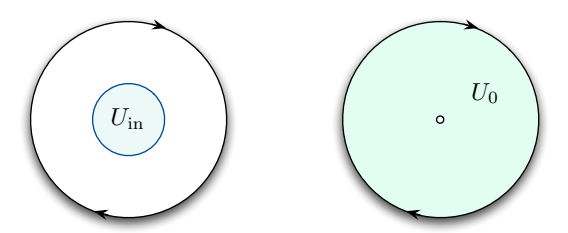


FIGURE 41: Sur la décomposition de $\mathbb{R}P^2$ en les parties (non-disjoints) U_{in} et U_0 .

Comme U_{in} est contractile via une contraction lisse, on sait qu'il possède par 4.4.5 la cohomologie triviale (sauf que $H^0_{dR}(U_{\text{in}}) \cong_{\mathbb{R}} \mathbb{R}$). De plus, $U_0 \cap U_{\text{in}}$ est rétractable par déformation à S^{n-1} via une homotopie de la rétracte lisse, donc

$$H_{\mathrm{dR}}^k(U_0 \cap U_{\mathrm{in}}) = H_{\mathrm{dR}}^k(S^{n-1}) \ \forall k \in \mathbb{N} \ .$$

Cas n=2

 $\overline{\text{Comme } U_0}$ est rétractable par déformation au bord ($\cong \mathbb{R}P^1$) via une homotopie de la rétracte lisse, on sait que

$$H^1_{\mathrm{dR}}(U_0) \cong_{\mathbb{R}} H^1_{\mathrm{dR}}(\mathbb{R}\mathrm{P}^1) \cong_{\mathbb{R}} H^1_{\mathrm{dR}}(S^1) \stackrel{4.8.1}{\cong_{\mathbb{R}}} \mathbb{R}$$
.

Par Mayer-Vietoris 4.5.1 on a la suite exacte

$$0 \longrightarrow \underbrace{H^0_{\mathrm{dR}}(\mathbb{R}\mathrm{P}^2)}_{\mathbb{R}} \longrightarrow \underbrace{H^0_{\mathrm{dR}}(U_0)}_{\mathbb{R}} \times \underbrace{H^0_{\mathrm{dR}}(U_{\mathrm{in}})}_{\mathbb{R}} \stackrel{\clubsuit}{\longrightarrow} \underbrace{H^0_{\mathrm{dR}}(U_0 \cap U_{\mathrm{in}})}_{\mathbb{R}}$$

$$\stackrel{\spadesuit}{\longrightarrow} H^1_{\mathrm{dR}}(\mathbb{R}\mathrm{P}^2) \longrightarrow \underbrace{H^1_{\mathrm{dR}}(U_0)}_{\mathbb{R}} \times \underbrace{H^1_{\mathrm{dR}}(U_{\mathrm{in}})}_{0} \longrightarrow \underbrace{H^1_{\mathrm{dR}}(U_0 \cap U_{\mathrm{in}})}_{\mathrm{par 4.8.1}}$$

$$\longrightarrow H^2_{\mathrm{dR}}(\mathbb{R}\mathrm{P}^2) \longrightarrow 0 .$$

Par 4.3.5 on sait que

$$H^1_{\mathrm{dR}}(\mathbb{R}\mathrm{P}^2) \stackrel{4.3.5}{=} \mathrm{Hom} \left[\Pi_1(\mathbb{R}\mathrm{P}^2), \mathbb{R} \right] \stackrel{3.8.1}{=} \mathrm{Hom} \left[\mathbb{Z}/2\mathbb{Z}, \mathbb{R} \right] = \{0\} \quad .$$

Comme (\clubsuit) est surjectif, (\spadesuit) est trivial et donc par la formule de sommation des dimensions 4.1.3 on conclut $H^2_{dR}(\mathbb{R}P^2) = \{0\}.$

Cas n=3

 $\overline{\text{Comme } U_0}$ est rétractable par déformation au bord ($\cong \mathbb{R}P^2$) via une homotopie de la rétracte lisse, on sait que

$$H^1_{\mathrm{dR}}(U_0) \cong_{\mathbb{R}} H^1_{\mathrm{dR}}(\mathbb{R}\mathrm{P}^2) \cong_{\mathbb{R}} \{0\}$$

$$H^2_{\mathrm{dR}}(U_0) \cong_{\mathbb{R}} H^2_{\mathrm{dR}}(\mathbb{R}\mathrm{P}^2) \cong_{\mathbb{R}} \{0\}$$
.

De façon similaire que dans le cas n=2, on a la suite exacte

$$0 \longrightarrow H^1_{\mathrm{dR}}(\mathbb{R}\mathrm{P}^3) \longrightarrow \underbrace{H^1_{\mathrm{dR}}(U_0)}_{0} \times \underbrace{H^1_{\mathrm{dR}}(U_{\mathrm{in}})}_{0} \longrightarrow \underbrace{H^1_{\mathrm{dR}}(U_0 \cap U_{\mathrm{in}})}_{\mathrm{par } 4.8.1}$$
$$\longrightarrow H^2_{\mathrm{dR}}(\mathbb{R}\mathrm{P}^3) \longrightarrow \underbrace{H^2_{\mathrm{dR}}(U_0)}_{0} \times \underbrace{H^2_{\mathrm{dR}}(U_{\mathrm{in}})}_{0} \longrightarrow \underbrace{H^2_{\mathrm{dR}}(U_0 \cap U_{\mathrm{in}})}_{\mathrm{par } 4.8.1}$$
$$\longrightarrow H^3(\mathbb{R}\mathrm{P}^3) \longrightarrow 0$$

On applique la formule de sommation des dimensions 4.1.3 pour les sous-suites exactes et conclut $H^1_{\mathrm{dR}}(\mathbb{R}\mathrm{P}^3) = 0$, $H^2_{\mathrm{dR}}(\mathbb{R}\mathrm{P}^3) = 0$ et $H^3_{\mathrm{dR}}(\mathbb{R}\mathrm{P}^3) \cong_{\mathbb{R}} \mathbb{R}$.

Remarques:

- (i) Comme toute $\mathbb{R}P^n$ est compacte et connexe, par 4.8.4 et théorème 4.6.4 on conclut que $\mathbb{R}P^2$ n'est pas orientable et $\mathbb{R}P^3$ est orientable.
- (ii) En fait, on peut montrer[8] que $\mathbb{R}P^n$ est orientable ssi n est impaire et qu'il possède la cohomologie

$$H_{\mathrm{dR}}^{k}(\mathbb{R}P^{n}) = \begin{cases} \mathbb{R} & : k = 0\\ 0 & : 1 \le k < n\\ 0 & : k = n \in 2\mathbb{Z} \\ \mathbb{R} & : k = n \notin 2\mathbb{Z} \\ 0 & : k > n \end{cases}$$

Donc, par remarque 4.2.4(ii) $\mathbb{R}P^n$ n'est pas simplement connexe pour $n \in 2\mathbb{Z}$.

4.8.5 Definition: L'espace projective complexe

Pour $n \in \mathbb{N}$ on définit l'espace $\mathbb{C}P^n$ comme le quotient de la surface de la boule unité dans \mathbb{C}^{n+1} sous l'action de U(1), c'est-à-dire en identifiant deux points $x, y \in \partial B_1(0) \subseteq \mathbb{C}^{n+1}$ ssi $x = u \cdot y$ pour un $u \in \mathbb{C}$, |u| = 1. Pour n = 0 on définit $\mathbb{C}P^0$ comme un seul point. On appelle $\mathbb{C}P^n$ l'espace projectif complexe de dimension 2n.

Remarques

- (i) L'espace $\mathbb{C}P^n$ est une variété lisse de dimension 2n (dimension complexe n).
- (ii) L'espace $\mathbb{C}P^n$ est homéomorphe au quotient de $\mathbb{C}^{n+1}\setminus\{0\}$ sous l'action multiplicative de $\mathbb{C}\setminus\{0\}=\mathrm{GL}_1(\mathbb{C})$. Autrement dit, tout point $z\in\mathbb{C}P^n$ peut être décrit par (n+1)-uplets complexes comme

$$(z_1,..,z_{n+1}) \in \mathbb{C}^{n+1} \setminus \{0\}$$

où on identifie les uplets se différant par un facteur $\lambda \in \mathbb{C} \setminus \{0\}$.

- (iii) On interprète $\mathbb{C}P^n$ comme l'espace des \mathbb{C} -droites dans \mathbb{C}^{n+1} passant par l'origine. Sauf l'origine, ces sont exactement les orbites de l'action de $\mathbb{C}\setminus\{0\}$ sur $\mathbb{C}^{n+1}\setminus\{0\}$.
- (iv) L'espace $\mathbb{C}P^n$ peut être regardé comme l'union disjointe des espaces \mathbb{C}^n et $\mathbb{C}P^{n-1}$, avec \mathbb{C}^n comme intérieur et $\mathbb{C}P^{n-1}$ comme bord de $\mathbb{C}P^n$. Donc, par récurrence

$$\mathbb{C}\mathrm{P}^n \simeq \mathbb{C}^n \cup \mathbb{C}^{n-1} \cup \ldots \cup \mathbb{C}^1 \cup \{\text{point}\}$$
.

En utilisant les coordonnées dans remarque (iii), on trouve que \mathbb{C}^n correspond aux points de coordonnées $(z_1,..,z_n,1)\in\mathbb{C}^{n+1}\setminus\{0\}$ et $\mathbb{C}P^{n-1}$ aux points de coordonnées $(z_1,..,z_n,0)\in\mathbb{C}^{n+1}\setminus\{0\}$.

(v) En particulier, $\mathbb{C}P^1 \simeq S^2$ (sphère de Riemann).

4.8.6 Exemple : La cohomologie de $\mathbb{C}P^2$

La cohomologie de de Rham de l'espace projectif complexe $\mathbb{C}P^2$ est donnée par

$$H_{\mathrm{dR}}^k(\mathbb{C}\mathrm{P}^2) = \begin{cases} \mathbb{R} & : k \in \{0, 2, 4\} \\ 0 & : k \in \{1, 3\} \end{cases}.$$

Preuve : On décompose $\mathbb{C}P^2$ en les parties $U_{\text{int}} := \text{int}(\mathbb{C}P^2) \simeq \mathbb{C}^2$ et $U_o := \mathbb{C}P^2 \setminus \{(0,0,1)\}$. Noter que U_o se rétracte par déformation à $\mathbb{C}P^1$ via l'homotopie de rétraction

$$U_0 \times [0,1] \to \mathbb{C}P^1$$
 , $((z_1, z_2, z_3), t) \mapsto (z_1, z_2, 1-t)$.

Comme $\mathbb{C}P^1 \simeq S^2$, par 4.4.5 on sait que U_o possède exactement la cohomologie de S^2 , donnée dans 4.8.1. De même façon, comme $U_o \cap U_{\text{int}} \simeq \mathbb{C}^2 \setminus \{\text{point}\}$ se rétracte par déformation à S^3 , on sait que $U_o \cap U_{\text{int}}$ possède la même cohomologie comme S^3 , aussi donnée dans 4.8.1. D'autre part, comme U_{int} est contractile, par remarque 4.4.2(iii) tous ses groupes de cohomologie de Rham $H^k_{\text{dR}}(U_{\text{int}}), \ k \in \mathbb{N}$, sont triviaux.

Par remarque 4.3.1(vi) on sait déjà que $H^0_{dR}(\mathbb{C}P^2) = \mathbb{R}$. Par Mayer-Vietoris 4.5.1 on a la suite exacte

$$0 \longrightarrow H^1_{\mathrm{dR}}(\mathbb{C}\mathrm{P}^2) \longrightarrow \underbrace{H^1_{\mathrm{dR}}(U_o)}_{0} \times \underbrace{H^1_{\mathrm{dR}}(U_{\mathrm{int}})}_{0} \longrightarrow \underbrace{H^1_{\mathrm{dR}}(U_o \cap U_{\mathrm{int}})}_{0}$$

$$\longrightarrow H^2_{\mathrm{dR}}(\mathbb{C}\mathrm{P}^2) \longrightarrow \underbrace{H^2_{\mathrm{dR}}(U_o)}_{\mathbb{R}} \times \underbrace{H^2_{\mathrm{dR}}(U_{\mathrm{int}})}_{0} \longrightarrow \underbrace{H^2_{\mathrm{dR}}(U_o \cap U_{\mathrm{int}})}_{0}$$

$$\longrightarrow H^3_{\mathrm{dR}}(\mathbb{C}\mathrm{P}^2) \longrightarrow \underbrace{H^3_{\mathrm{dR}}(U_o)}_{0} \times \underbrace{H^3_{\mathrm{dR}}(U_{\mathrm{int}})}_{0} \longrightarrow \underbrace{H^3_{\mathrm{dR}}(U_o \cap U_{\mathrm{int}})}_{\mathbb{R}}$$

$$\longrightarrow H^4_{\mathrm{dR}}(\mathbb{C}\mathrm{P}^2) \longrightarrow 0 .$$

On applique la formule de sommation des dimensions 4.1.3 pour les sous-suites exactes et conclut

$$\dim H^1_{\mathrm{dR}}(\mathbb{C}\mathrm{P}^2) = 0 = \dim H^3_{\mathrm{dR}}(\mathbb{C}\mathrm{P}^2) ,$$

ainsi que

$$\dim H^2_{\mathrm{dR}}(\mathbb{C}\mathrm{P}^2) = \mathbb{R} = H^4_{\mathrm{dR}}(\mathbb{C}\mathrm{P}^2) .$$

4.8.7 Corollaire : Homéomorphie de la boule S^4

Les variétés S^4 , $S^2 \times S^2$ et $\mathbb{C}\mathrm{P}^2$ ne sont pas homéomorphes, même s'ils sont de même dimension et toutes simplement connexes.

Preuve : Par 4.8.1, 4.8.2 et 4.8.6 les variétés S^4 , $S^2 \times S^2$ et \mathbb{CP}^2 ont des cohomologies de de Rham différentes. Par 4.4.2, la cohomologie de de Rham est une invariante de topologie, d'où suit l'affirmation.

A Annexe

A.0.8 Lemme de Lebesgue sur espaces compactes

Soit X un espace métrique compact et $(U_i)_{i\in I}$ un recouvrement. Alors il existe un $\varepsilon > 0$, appelé **nombre de** Lebesgue tel que

$$\forall x \in X : \exists i \in I : B_{\varepsilon}(x) \subseteq U_i \tag{A.0.8.1}$$

Preuve par l'absurde : Suppose que (A.0.8.1) est faux pour tout $\varepsilon > 0$. Alors, il existe $(\varepsilon_n)_{n \in \mathbb{N}} \in (0, \infty)$ et $(x_n)_{n \in \mathbb{N}} \in X$ tels que $\varepsilon_n \downarrow 0$ et $\forall n \in \mathbb{N}, i \in I : B_{\varepsilon_n}(x_n) \nsubseteq U_i$. Car X est compacte, on peut suppose que $x_n \xrightarrow{n \to \infty} x$ pour quelque $x \in X$.

Il existe un $\varepsilon > 0$ et $j \in I$ tel que $B_{\varepsilon}(x) \subseteq U_j$. D'autre, il existe un $n \in \mathbb{N}$ tel que $\varepsilon_n < \varepsilon/2$ et $x_n \in B_{\frac{\varepsilon}{2}}(x)$. Par conséquence il faut

$$B_{\varepsilon_n}(x_n) \subseteq B_{\varepsilon}(x) \subseteq U_j$$
,

qui est une contradiction!

A.0.9 Lemme: Fonctions sur S^1

Soit $f: S^1 \to \mathbb{R}$ continue. Alors, il existe un $s \in S^1$ tel que f(s) = f(-s). Évidemment, cette affirmation est faux si $f: S^1 \to \mathbb{C}$ car $S^1 \hookrightarrow \mathbb{C}$.

Preuve : Suppose le contraire. Alors, la fonction $\varphi: S^1 \to \mathbb{R}$ donnée par

$$\varphi(s) := \frac{f(s) - f(-s)}{|f(s) - f(-s)|}$$

est continuée avec image $\{\pm 1\}$. Ca donne une contradiction car S^1 est connexe!

A.0.10 Lemme sur la continuité de fonctions

Soient X, Y espaces topologiques, $(U_i)_{i \in I}$ un recouvert ouvert de X et $f: X \to Y$ telle que la restriction $f|_{U_i}: U_i \to Y$ est continue pour tout $i \in I$. Alors, $f: X \to Y$ est continue.

Preuve : Soit $V \subseteq Y$ ouvert, alors

$$f^{-1}(V) = \bigcup_{i \in I} f^{-1}(U_i) \cap f^{-1}(V) = \bigcup_{i \in I} \underbrace{f \big|_{U_i}^{-1}(V)}_{\text{ouvert dans } U_i}$$

est ouvert.

A.0.11 Lemme sur recouvrements des espaces produits

Soient $X_1,...,X_n$ espaces topologiques et $X:=\underset{i=1}{\overset{n}{\times}}X_i$ leur espace produit. Soit $(U_i)_{i\in I}$ un recouvrement ouvert de X. Alors, il existe un recouvrement $(\widetilde{U}_j)_{j\in J}$ de X tel que :

- Tout U_j est contient dans une certain U_i .
- Tout \widetilde{U}_j est du type $\widetilde{U}_j = \underset{i=1}{\overset{n}{\times}} V_{ji}$ pour certains ouverts $V_{ij} \subseteq X_i$.

Preuve: L'ensemble

$$\mathcal{U} := \left\{ \underset{i=1}{\overset{n}{\times}} V_i \mid V_i \subseteq X_i \text{ ouvert} \right\}$$

est une base de la topologie de X. Donc, pour tout $x \in U_i \subseteq X$ choisit un $\widetilde{U}_{x,i} \in \mathcal{U}$ tel que $x \in \widetilde{U}_{x,i} \subseteq U_i$. Alors l'ensemble des $\widetilde{U}_{x,i}$ est un recouvrement de X qui satisfait les propriétés ci-dessus.

A.0.12 Definition: Topologie quotient

Soit \sim une relation d'équivalence sur l'espace topologique Ω et Ω/\sim l'ensemble des classes d'équivalence par rapport à \sim . Alors, l'application $p:\Omega\to\Omega/\sim$ définie par $p:\omega\mapsto[\omega]$ est surjective. On dit un sous-ensemble $U\subseteq\Omega/\sim$ ouvert, ssi $p^{-1}(U)$ est ouvert dans Ω .

Si G est un groupe qui agit sur Ω , alors il munit Ω d'une relation d'équivalence \sim_G , dont les classes d'équivalence sont les orbites de G dans Ω . On note $\Omega/G := \Omega/\sim_G$.

A.0.13 Lemme : Caractérisation de bases des topologies

Soit $\mathscr O$ une topologie sur T et $\mathscr U\subseteq\mathscr O$ une sous-base de $\mathscr O$. Alors, $\mathscr U$ est une base de $\mathscr O$ ssi

- 1. \mathscr{U} est un recouvrement de T.
- 2. Pour tout $U_1, U_2 \in \mathcal{U}$, $x \in U_1 \cap U_2$ il existe un $U_3 \in \mathcal{U}$ tel que $x \in U_3 \subseteq U_1 \cap U_2$.

A.0.14 Lemme : Caractérisation de groupes quotients

Soit (G, \circ) un groupe et $N \subseteq G$ un sous-groupe normale dans G. Alors, il existe un groupe P et morphisme $\Pi: G \to P$ tel que :

- 1. $\Pi(N) = \{0\}$
- 2. Le paire (P,Π) satisfait la **propriété universelle** : Si H est un groupe et $f:G\to H$ un homomorphisme tel que $f(N)=\{0\}$, alors il existe un unique homomorphisme $\overline{f}:P\to H$ tel que $f=\overline{f}\circ\Pi$.

Toute autre paire (P', Π') de groupe P' avec homomorphisme $\Pi': G \to P'$ satisfaisant les propriétés (1) et (2), est isomorphe à P via un unique isomorphisme. La classe de groupes et homomorphismes isomorphes à (P, Π) est exactement le groupe quotient G/N avec la projection $\Pi: G \to G/N$ donnée par $\Pi: g \mapsto g \circ N$.

B Symboles & Abréviations

```
ssi: Si et seulement si.
\mathbb{R}_+: = [0, \infty).
\mathbb{C}_+: \mathbb{R}_+ + i\mathbb{R}_+.
\mathbb{K}: Corps \mathbb{R} ou \mathbb{C}.
\mathbb{K}^{\times}: Inversibles dans \mathbb{K}, c'est-à-dire \mathbb{K}^{\times} = \mathbb{K} \setminus \{0\}.
\mathbb{P}: Les nombres premiers.
B_r(x): La boule fermée de rayon r au tour du point x.
B_r^o(x): La boule ouverte de rayon r au tour du point x.
B^n: La boule unité fermée dans \mathbb{R}^n.
arg: Argument des nombres complexes.
\mathcal{C}(X,Y): Fonctions continues entre les espaces topologiques X,Y.
\mathcal{C}_c(X,E): Fonctions continues sur l'espace topologique X dans l'espace vectoriel E avec support compact.
\mathcal{C}_b(X,E): Fonctions continues, bornées sur l'espace topologique X dans l'espace normé E.
\mathscr{P}(\Omega): L'ensemble des parties de l'ensemble \Omega.
\mathcal{B}(X): \sigma-algèbre Borelienne sur l'espace topologique X.
e_{ij}: Base standard dans \mathbb{K}^{n\times n}.
\operatorname{End}_{\mathbb{K}}(V): Anneau des K-endomorphismes sur un K-espace vectoriel V.
ker(f): Noyau du homomorphisme f.
E': Espace dual topologique d'un espace normé E.
\sim_h: Relation d'équivalence d'homotopie. Voir 2.2.1.
\sim_{hs}: Relation d'équivalence d'homotopie stricte entre chemins. Voir 2.2.3.
Aut(p): Groupe des homéomorphismes qui préservent le revêtement p. Voir 3.3.2.
c_0 \cdot [\gamma]_{hs}: Action du groupe fondamental \Pi_1(Y, y_0) sur le fibre p^{-1}(y_0). Voir ??.
\operatorname{Sym}_{p}(y_{0}): Les permutations du fibre p^{-1}(y_{0}) qui commute avec la monodromie de \Pi_{1}(Y, y_{0}). Voir 3.3.8.
\operatorname{St}_{\Pi_1}(c_0): Stabilisateur du c_0 par rapport à l'action de monodromie de \Pi_1(Y, p(c_0)). Voir 3.2.3(1).
\operatorname{Orb}_G(\omega): Orbite d'un élément \omega \in \Omega par rapport à l'action d'un groupe G sur \Omega.
G \star H: Produit libre des groupes G, H. Voir 3.5.1.
[f]_h: Classe d'homotopie de la fonction f: X \to Y. Voir remarque 2.2.1(i).
[\gamma]_{hs}: Classe d'homotopie stricte du chemin \gamma. Voir 2.2.3.
[x_0]_{hs}: Classe d'homotopie stricte des lacets strictement contractiles à x_0. Voir 2.2.4.
\mathcal{X}(M): Espace \mathbb{R}-linéaire des champs de vecteurs sur la variété M. Voir 4.2.1.
\mathcal{F}(M): Espace \mathbb{R}-linéaire des fonctions réelles lisses sur la variété M. Voir 4.2.1.
\Omega^k(M): Espace \mathbb{R}-linéaire des k-formes sur la variété M. Voir 4.2.1.
f^*\omega: Forme pullback de la k-forme \omega par la fonction f. Voir 4.2.3.
ad_q: Automorphisme intérieur associé au élément q d'un groupe.
H_{\mathrm{dR}}^k(M): La cohomologie de de Rham pour la \mathcal{C}^{\infty}-variété M. Voir 4.3.1.
\chi(M): Caractéristique d'Euler de la \mathcal{C}^{\infty}-variété M. Voir 4.7.1.
\mathbb{R}P^n: Espace projectif réel de dimension n. Voir 3.8.1.
\mathbb{C}P^n: Espace projectif complexe de dimension 2n. Voir 4.8.5.
dg(f): Degré d'une application f: M \to N entre deux variétés M, N de même dimension. Voir 4.6.9.
```

RÉFÉRENCES RÉFÉRENCES

Références

[1] M. Audin, Topologie, revêtements et groupe fondamental Cours de Magistère 2e année http://www-irma.u-strasbg.fr/~maudin/publications.html (03.10.2010)

- [2] E. H. Spanier, Algebraic Topology Springer, 1994
- [3] D. E. Wilkins, Course 421: Algebraic Topology, Covering Maps and Discontinuous Group Actions School of Mathematics, Trinity College, Ireland, 2008 http://www.maths.tcd.ie/~dwilkins/Courses/421/421S4 0809.pdf (08.10.2010)
- [4] R. Brown, Groupoids and Van Kampen's theorem
 Proc. London Math. Soc., No. 3, pp. 385-401, 1967
 http://en.wikipedia.org/wiki/Seifert-van Kampen theorem (17.10.2010)
- [5] D. Litt, The Poincaré Lemma and de Rham Cohomology Harward University http://www.thehcmr.org/issue1_2/poincare_lemma.pdf (25.10.2010)
- [6] J. F. Davis, P. Kirk, Lecture Notes in Algebraic Topology AMS, 2001
- [7] N. Steenrod, *The Topology of Fiber Bundles* Princeton Mathematical Series No. 14, Princeton University Press, 1951
- [8] H. Madsen, J. Tornehave, From calculus to cohomology : de Rham cohomology and characteristic classes Cambridge University Press, 1997
- [9] W. Fulton, Algebraic Topology: A First Course Springer, 1997
- [10] S. Gallot, D. Hulin, J. Lafontaine, Riemannian Geometry Springer, 2004
- [11] J. Lafontaine, Introduction aux variétés différentielles Presses Universitaires de Grenoble, 1997
- [12] M. Spivak, A Comprehensive Introduction to Differential Geometry Publish or Perish, 1999
- [13] J. P. May, A Concice Course in Algebraic Topology Chicago Lectures in Mathematics, 2007
- [14] R. Hain, Lectures of the Hodge-de Rham Theory of the Fundamental Group of $\mathbb{P}^1 \{0, 1, \infty\}$ http://math.arizona.edu/ \sim swc/notes/files/05HainNotes.pdf (27.11.2010)
- [15] A. Hatcher, Algebraic Topology Cambridge University Press, 2002
- [16] G. de Rham, Sur l'analysis situs des variétés à n dimensions
 J. Math. Pures Appl. Sér. 9, 10, 1931, pp. 115-200
- [17] M . Price, A Proof of the De Rham Theorem using Induction on open Sets http://www.cs.bath.ac.uk/MPrice/downloads/DeRham.pdf (27.11.2010)
- [18] R. Bott, L. W. Tu, Differential forms in algebraic topology Springer, 1982

\mathbf{Index}

k -forme, $\underline{56}$	feuille
exacte, <u>57</u>	de revêtement, <u>19</u>
fermée, $\overline{57}$	fibré localement trivial, <u>45</u>
équivalence	fibré trivial, 45
d'homotopie, $\underline{9}$, $\underline{59}$	fibration, $\underline{23}$, $\underline{24}$
de revêtements, $\underline{20}$	fibre, 23, 45
<u>ao</u> 1010000000, <u>ao</u>	fonction
action	nul-homotope, $\underline{5}$
de monodromie, <u>27</u>	forme d'orientation, 57
du groupe fondamental, <u>27</u>	formes d'orientation
proprement discontinue, $\frac{35}{35}$	équivalents, <u>57</u>
application de cochaînes, $\underline{52}$	equivalents, <u>51</u>
automorphism	groupe
d'un revêtement, <u>29</u>	fondamental, <u>11</u>
d differentiality, <u>20</u>	groupe abélianisé, <u>58</u>
base, 45	groupe dérivé, <u>58</u>
de revêtement, <u>19</u>	
	groupes de cohomologie, $\underline{51}$
caractéristique d'Euler, <u>65</u>	homotopes
chemin, $\underline{5}$	fonctions homotopes, $\underline{5}$
fermé, $\underline{5}$	homotopie, $\underline{5}$
inverse, $\underline{10}$	d'une rétracte, 9
chemins	des chemins stricte, 7
strictement homotopes, $\underline{7}$	relative, $\underline{5}$
class	, <u> </u>
d'homotopie, $\underline{6}$	lacet, $\underline{5}$
classes	Lemniscate de Bernoulli, <u>47</u>
d'homotopie stricte, $\underline{7}$	localement connexe
cobord, <u>51</u>	par arcs, $\underline{5}$
cochaîne, <u>51</u>	, –
cocycle, <u>51</u>	modules de cohomologie, <u>51</u>
cohomologie	monodromie, <u>27</u>
de de Rham, <u>57</u>	
complexe	nombre de Betti, $\underline{65}$
de d Rham, <u>57</u>	nombre de Lebesgue, 72
composition	nul-homotopie, $\underline{5}$
des chemins, $\underline{10}$	
connexe	opérateur de cobord, $\underline{51}$
par arcs, $\underline{5}$	orientation d'une variété, 57
contraction, $\underline{8}$	-
contraction, <u>o</u>	plongement canonique
degré, <u>64</u>	du produit libre, 38, 39
d'un chemin, <u>15</u>	point
, <u> </u>	base, $\underline{5}$
espace	points reliés, $\underline{5}$
connexe, $\underline{5}$	produit libre, 37
contractile, $\underline{8}$	produit libre amalgamé, 39
lisse contractile, $\underline{8}$	propriété universelle, <u>73</u>
simplement connexe, $\underline{8}$	pullback
espace étalé	d'une k -forme, 57
de revêtement, <u>19</u>	pushout, 38
espace projectif	
complexe, 70	rétracte, $\underline{9}$
réel, 45	par déformation, $\underline{9}$
espace total, 45	rétraction, $\underline{9}$
de revêtement, <u>19</u>	par déformation, $\underline{9}$
<u> </u>	

INDEX INDEX

```
recouvrement
      bon, <u>61</u>
relèvement, \underline{20}, \underline{23}
      de chemin, 21
revêtement, \underline{19}
      galoisien, \underline{34}
      normal, \underline{34}
      régulier, 34
      trivial, \underline{19}
      universel, \underline{40}
suite exacte, 51
      d'applications de cochaînes, \underline{53}
suite exacte courte, \underline{51}
topologie
      quotient, 73
trivialisation locale, \underline{45}
universalité, 37, 39
      de revêtements, \underline{41}
variété orientable, \underline{57}
voisinage
      trivialisant, \underline{19}
```